

Центральноукраїнський національний технічний університет
Механіко-технологічний факультет
Кафедра кібербезпеки та програмного забезпечення

”Допущено до захисту”
Завідувач кафедри кібербезпеки
та програмного забезпечення
д.т.н., професор
_____ Олексій СМІРНОВ
“ ____ ” _____ 2021 р.

ВИПУСКНА КВАЛІФІКАЦІЙНА РОБОТА
за другим (магістерським) рівнем вищої освіти
на тему
“Дослідження та програмна реалізація шифрованого трафіку
через аналоговий тракт”

Виконав здобувач вищої освіти
II курсу, групи _____
ОПП «Комп’ютерна інженерія»
спеціальності 123 «Комп’ютерна інженерія»
_____ Майданик О.О.
« ____ » _____ 2021 р.

Керівник проекту
кандидат технічних наук, доцент
_____ Минайленко Р.М
« ____ » _____ 2021 р.
Рецензент _____

м. Кропивницький

Центральноукраїнський національний технічний університет
Факультет Механіко-технологічний
Кафедра Кібербезпеки та програмного забезпечення
Освітній ступінь магістр
Галузь знань 12 "Інформаційні технології"
Спеціальність 123 "Комп'ютерна інженерія"
Освітньо-професійна (освітньо-наукова) програма "Комп'ютерна інженерія"

ЗАТВЕРДЖУЮ
Завідувач кафедри
д.т.н., проф.
_____ Олексій СМІРНОВ
"____" _____ 20__ року

ЗАВДАННЯ НА ВИПУСКНУ КВАЛІФІКАЦІЙНУ РОБОТУ ЗА ДРУГИМ (МАГІСТЕРСЬКИМ) РІВНЕМ ВИЩОЇ ОСВІТИ ЗДОБУВАЧА ВИЩОЇ ОСВІТИ

Майданику Олександр Олександровичу

(прізвище, ім'я, по батькові)

1. Тема роботи Дослідження та програмна реалізація шифрованого трафіку через аналоговий тракт

2. Керівник роботи Минайленко Роман Миколайович кандидат техн. наук, доцент
(прізвище, ім'я, по батькові, науковий ступінь, вчене звання)

затверджені наказом вищого навчального закладу №42-13 від 02.08.2021 року

3. Строк подання роботи до захисту 22.12.2021 р.

4. Мета та завдання випускної кваліфікаційної роботи: Метою розробки є програмна реалізація шифрованого трафіку через аналоговий тракт

4. Зміст розрахунково-пояснювальної записки (перелік питань, які потрібно розробити)

1. Призначення та область використання. 7. Економічна ефективність

2. Перегляд аналогічних існуючих систем. розробленої програми.

3. Опис і обґрунтування проектних рішень. 8. Заходи з охорони праці та техніки

4. Етапи програмування системи. безпеки.

5. Впровадження системи в промислову експлуатацію. 9. Висновки.

експлуатацію.

6. Наукова новизна

5. Перелік графічного матеріалу (з точним зазначенням обов'язкових креслень)

Наукова новизна 1 аркуш

Структурна схема системи 1 аркуш

Функціональна схема системи 1 аркуш

Блок-схема алгоритму роботи додатку 2 аркуша

Діаграма процесів 1 аркуш

Показники економічної ефективності 1 аркуш

6. Консультанти по роботі, із зазначенням розділів роботи

Розділ	Прізвище, ініціали та посада консультанта	Підпис, дата	
		завдання видав	завдання прийняв
Економічний	Савеленко Г.В., к.т.н., доцент	25.10.2021	12.11.2021
Охорона праці	Оришака О.В., к.т.н., доцент	04.11.2021	20.11.2021

КАЛЕНДАРНИЙ ПЛАН

№ з/п	Назва етапів випускної кваліфікаційної роботи за другим (магістерським) рівнем вищої освіти	Строк виконання етапів випускної кваліфікаційної роботи за другим (магістерським) рівнем вищої освіти	Примітка
1.	Аналіз існуючих систем	10.10.2021 р.	
2.	Постановка задачі, оформлення ТЗ	15.10.2021 р.	
3.	Розробка моделі компонента	20.10.2021 р.	
4.	Розробка структур даних	25.10.2021 р.	
5.	Розробка алгоритмів зв'язку та відображення	30.10.2021 р.	
6.	Програмування алгоритмів	10.11.2021 р.	
7.	Розрахунок економічної ефективності	13.11.2021 р.	
8.	Розрахунки з охорони праці та техніки безпеки	15.11.2021 р.	
9.	Оформлення ПЗ	17.11.2021 р.	
10.	Попередній захист роботи	28.11.2021 р.	

Дата видачі завдання

«__» _____ 20 р.

Підпис керівника

(прізвище та ініціали)

Завдання прийнято до виконання

«__» _____ 20 р.

Підпис здобувача

(прізвище та ініціали)

АНОТАЦІЯ

Майданик О.О. Дослідження та програмна реалізація шифрованого трафіку через аналоговий тракт. 123 Комп'ютерна інженерія. Центральноукраїнський національний технічний університет. Кропивницький. 2021.

В даній магістерській роботі розроблено програмне забезпечення, яке призначено для системи шифрованого трафіку через аналоговий тракт.

Метою розробки є дослідження та програмна реалізація системи шифрованого трафіку через аналоговий тракт.

Об'єктом дослідження є процес реалізації шифрованого трафіку через аналоговий тракт.

Предметом дослідження є методи реалізації шифрованого трафіку через аналоговий тракт.

Методи дослідження базуються на методах захисту інформації, методах математичної статистики, методах розробки програмного забезпечення.

Результат роботи – програмна реалізація системи шифрованого трафіку через аналоговий тракт.

В процесі роботи над програмною моделлю виконано аналіз існуючих апаратних та програмних засобів. В повній мірі описані всі компоненти розробленого програмного забезпечення.

Розроблено зручний інтерфейс користувача. Наведені інструкції по роботі з програмними засобами.

Програма може використовуватися на мікроконтролерах сімейства STM32.

Програму розроблено в середовищі STM32CubeIDE 1.1.0.

Ключові слова: комп'ютерна інженерія, шифрований канал передачі даних, математичний більярд.

ABSTRACT

Maidanyk O.O. Research and software implementation of encrypted traffic through the analog path. 123 Computer Engineering. Central Ukrainian National Technical University. Kropivnitsky 2021

In this master's thesis, software designed for the system of encrypted traffic through the analog path.

The purpose of the development is the research and program implementation of the system of encrypted traffic through the analog path.

The object of the study is the process of encrypted traffic through the analog path.

The subject of the study is the methods of encrypted traffic through the analog path.

Methods of research are based on methods of encrypted traffic through the analog path.

The result of the work is the software implementation of the system of encrypted traffic through the analog path.

In the process of working on a software model an analysis of existing hardware and software was performed. All components of the software developed are fully described.

User-friendly user interface is developed. These are instructions for working with software.

The program can be used on microcontrollers of the STM32 family.

The program was developed in the STM32CubeIDE 1.1.0 environment.

Keywords: computer engineering, encrypted data channel, mathematical billiards.

ЗМІСТ

ПЕРЕЛІК УМОВНИХ ПОЗНАЧЕНЬ, СИМВОЛІВ, ОДИНИЦЬ І ТЕРМІНІВ	3
ВСТУП.....	4
1 ПРИЗНАЧЕННЯ ТА ОБЛАСТЬ ВИКОРИСТАННЯ.....	6
1.1 Призначення системи.....	7
1.2 Область застосування.....	7
2 ПЕРЕГЛЯД АНАЛОГІЧНИХ ІСНУЮЧИХ СИСТЕМ	9
2.1 Огляд існуючих систем, технологій, архітектур та програмних рішень за профілем теми магістерської роботи	9
2.2 Обґрунтування вибору засобів для побудови системи та мови програмування.....	21
2.3 Розгорнута постановка завдання	31
3 ОПИС І ОБҐРУНТУВАННЯ ПРОЕКТНИХ РІШЕНЬ	33
3.1 Опис функціонування системи.....	33
3.2 Розробка структурної схеми	35
3.3 Розробка функціональної схеми.....	35
3.4 Розробка діаграми процесів	37
4 РЕАЛІЗАЦІЯ РОБОТИ. РОЗРАХУНКИ І ЕКСПЕРИМЕНТАЛЬНІ ДАНІ, ЩО ПІДТВЕРДЖУЮТЬ ВІРНІСТЬ ПРОЕКТНИХ ТА ПРОГРАМНИХ РІШЕНЬ	39
4.1 Розробка блок-схем та опис алгоритмів функціонування системи	42
4.2 Захист розробленого програмного забезпечення	55
5 ВПРОВАДЖЕННЯ СИСТЕМИ В ПРОМИСЛОВУ ЕКСПЛУАТАЦІЮ.....	63
6 НАУКОВА НОВИЗНА	67
7 ЕКОНОМІЧНА ЕФЕКТИВНІСТЬ РОЗРОБЛЕНОЇ ПРОГРАМИ.....	68
7.1 Техніко економічне обґрунтування теми магістерської роботи.	68
7.2 Розрахунок трудомісткості розробки програмної продукції	70

						ВКРМ-123.21.0012.00.00.ПЗ		
<i>Вим</i>	<i>Арк.</i>	<i>№ докум.</i>	<i>Підп.</i>	<i>Дата</i>	Дослідження та програмна реалізація шифрованого трафіку через аналоговий тракт	<i>Лім.</i>	<i>Аркуш</i>	<i>Аркушів</i>
<i>Розроб.</i>	<i>Майданик О.О.</i>					<i>М</i>	1	102
<i>Перев.</i>	<i>Минайленко Р.М</i>					<i>ЦНТУ КІ-20М</i>		
<i>Н.контр.</i>	<i>Гермак В.С.</i>							
<i>Затв.</i>	<i>Смірнов О.А.</i>							

розглядати як випадкові значення які можна використовувати для побудови нового ГПВЧ. ХБС вважають першим класом хаотичним більярдом які також називають дисперсними.

У нашому випадку при опуклих сторонах поверхні рух кульки (математичної точки) викликає розбіжність траєкторії і таким чином зміщення початкової координати руху створює нову траєкторію або генерує новий хаотичний ряд.

Ідея застосування хаотичного більярду Сіная (ХБС) полягає в тому, що такі більярди мають ентерпійну характеристику траєкторії руху кульок неможливо відтворити навіть знаючи декілька попередніх координат. ХБС став популярним останні десять років. Такі більярди можуть складатися (мати геометричний вигляд різного виду):

- Опуклі криві.
- Увігнуті або лінійні.
- Прямокутний з внутрішнім колом.

Сінай показав в [3], що всі більярди із зовні опуклими межами є завжди сильно хаотичними. Такий більярд завжди хаотичний і траєкторії руху кульки всередині більярду завжди хаотичні. Сінай довів, що всі ХБС є ергодичними, такими що, переміщуються.

1.2 Область застосування

На основі ХБС [4] можна побудувати мобільні системи з шифрованою передачею даних які пов'язані з системами керування і управління технологічними даними наприклад: роботизовані мобільні системи, технологічні процеси різного напрямку, розумний дім. Такі системи захищеного каналу передачі даних повинні забезпечувати надійний захист та надійність від атак на елементи передачі даних. Система повинна забезпечувати [5] надійний

										Арк.
										7
Вим.	Арк.	№ докум.	Підпис	Дата	ВКРМ-123.21.0012.00.00.ПЗ					

Функції хешування (згортки) [11] - це односторонні функції, алгоритм яких перетворює з вихідного масиву даних на бітовий рядок заданої довжини. Вихідні дані часто називають ключем (повідомлення), а вихідні бітовим рядком «хеш-кодом», «хеш-сумою» або «зведенням повідомлень». Алгоритм перетворення який використовується повинен забезпечувати захист від можливостей відновлення вихідних даних за відомим хеш-кодом та від збігів хеш-кодів різних повідомлень. Тобто різні повідомлення після перетворень ні в якому разі не повинні бути однаковими. На рисунку 2.2 зображено роботу хеш функцій.

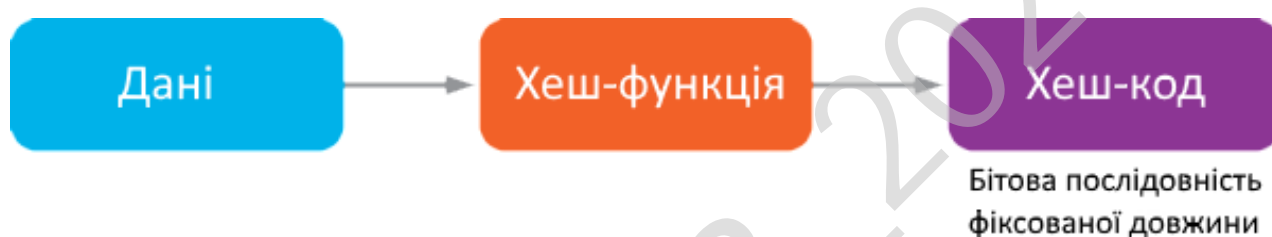


Рисунок 2.2 – Робота хеш функцій

Код аутентифікації повідомлень MAC (Message Authentication Code) [12]. Цей програмний механізм використовують для генерації хеш-коду як і звичайні хеш-функції. Але MAC для кодування використовує не тільки вихідне повідомлення, а ще й секретний ключ, який відомий тільки відправникові та одержувачеві. Таким чином одержувач даних може перевірити цілісність інформації для ідентифікації відправника. Без секретного ключа відправником сформується невірний хеш-код, що дає змогу одержувачу знайти невідповідність. На рисунку 2.3 зображено механізм роботи MAC алгоритмів.

Цифровий підпис. Механізм цифрових підписів дозволяє виконати аутентифікацію повідомлень. Тобто довести їх достовірність за допомогою цифрового підпису.

Генерація випадкових чисел. Кодування даних має сенс, тільки у випадку коли ключ шифрування розгадати неможливо. Тому ключ шифрування повинен бути випадковим. Для такого шифрування застосовують генератори псевдо випадкових чисел. ГПВЧ може використовувати різні методи формування вихідної послідовності псевдовипадкових чисел, такі як природні джерела випадкових сигналів (наприклад, шум напруги на напівпровідниковому діоді) або класичні програмні. На рисунку 2.5 зображено приклад роботи генератора псевдовипадкових чисел.

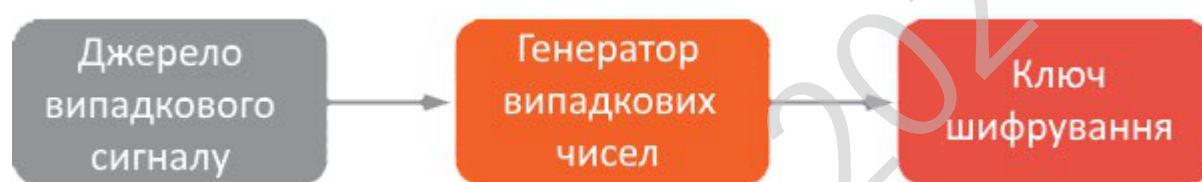


Рисунок 2.5 - Приклад роботи генератора псевдовипадкових чисел

В даній роботі буде розглянуто пристрої з безпроводним каналом зв'язку. Та можливі реалізації шифрування на мікроконтролерах. Тому слід розглянути платформу від одної з провідних компаній по виробництву напівпровідників та мікроконтролерів – STMicroelectronics. Дана компанія надає рішення в сфері 32-х бітних мікроконтролерів, в старших серіях яких є блоки апаратного шифрування. Компанія [14] STMicroelectronics створила - програмно-апаратну платформу відкритого середовища розробки STM32 ODE (STM32 Open Development Environment). STM32 ODE - середовище яке об'єднує в собі інструменти для роботи з апаратною частиною та набір програмних бібліотек. Набір бібліотек реалізований у вигляді єдиного комплексу STM32 Cube IDE. Середовищем розробки STM32 Cube IDE підтримується вся лінійка 32-х розрядних мікроконтролерів STM32 [15] та плати для розробників (Evaluation boards), стартові набори налагоджувальних плат (Discovery boards), базові плати (Nucleo

boards) і плати розширення для Nucleo. На рисунку 3.6 зображено плату Nucleo.

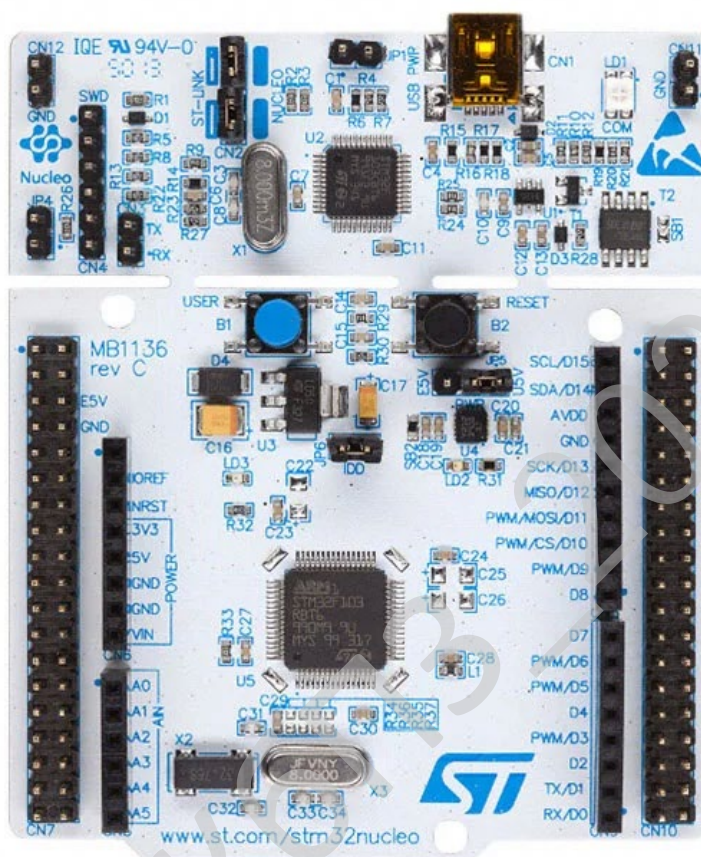


Рисунок 2.6 – Зображення налагоджувальної плати Nucleo

STM32 Cube IDE - програмна частина платформи STM32 ODE яка об'єднує програмне забезпечення кількох рівнів:

- Рівень драйверів які залежних від апаратної частини (бібліотеки периферії);
- Рівень незалежних апаратної від апаратної частини драйверів для мікроконтролерів (hardware abstraction layer) і драйвери для плат розширення (board support package, BSP);
- Програмне забезпечення проміжного рівня Middleware (USB, Bluetooth стеки протоколів та додаткові бібліотеки, наприклад, бібліотека шифрування);

швидко налагодити роботу з бібліотекою шифрування, яка виконує свої функції на проміжному рівні.

Бібліотека шифрування STM32 crypto library - це набір скомпільованих файлів для всіх підтримуваних сімейств STM32 мікроконтролерів і інтегрованих середовищ розробки. Реалізації скомпільованих рішень будується за принципом модульності. Структура модульності дозволяє використовувати компілятору тільки ті модулі, які потрібні користувачеві, наприклад, AES CCM, AES CTR, HASH SHA, а інші, для економії ресурсів та пам'яті, не включати в проект. Такий підхід формування проекту дозволяє, при необхідності, додавати програмні модулі в будь-який час роботи над керуючою програмою МК.

Тому як бібліотеки шифрування представлені у вигляді скомпільованих файлів бібліотек, то користувачі можуть лише включати їх в свої проекти, але не вносити зміни в них неможна. Через це кожна бібліотека поставлена в декількох варіантах для кожного з середовищ розробки (Keil ARM®, GCC, IAR) та з різними можливостями, оптимізація за обсягом пам'яті і оптимізація по швидкості.

STM32 crypto library як бібліотека шифрування знаходиться на проміжному рівні (Middlewares) та доступна як набір скомпільованих файлів об'єднаних в дві групи:

- Група апаратно незалежних версій блоків шифрування (Firmware implementation) - не використовують блоки шифрування які спеціально виконані апаратно на самому чіпі МК , тому здатні працювати з усіма мікроконтролерами STM32 від наймолодшої серії STM32F0 до найпродуктивніших STM32F7;

- Група бібліотек апаратно залежних прискорювачів (Hardware acceleration)

- бібліотеки для МК STM32 з окремими периферійними вбудованими в чіп блоками шифрування. Інтегрованих модулі криптографії значно прискорюють роботу керуючих програм МК.

При встановленні X-cube-cryptolib з сайту ST Microelectronics [17] програміст отримує архів STM32 Cube Expansion-Crypto-V3.1.0. При розархівуванні створюється складна мережа вкладених директорій з файлами.

						ВКРМ-123.21.0012.00.00.ПЗ	Арк.
Вим.	Арк.	№ док.ум.	Підпис	Дата			15

Файли бібліотеки шифрування для апаратно залежних блоків, знаходяться в папці AccHw_Crypto, а ті, що незалежні від апаратної частини - в директорії Fw_Crypto. Розташування файлів в цих папках однакова для кожної із серій STM32 (STM32F0, STM32F1, STM32F2) створена своя директорія. При цьому скомпільовані бібліотеки поставляються для кожної версії у кількох варіантах, що відрізняються сімейством МК який використовується, компілятором і оптимізатором.

Як висновок компанія STMicroelectronics пропонує розробникам пристроїв на основі МК STM32 безкоштовний програмний пакет X-cube-cryptolib для створення захищених додатків. Для роботи доступні скомпільовані файли бібліотек шифрування даних для різноманітних сімейств МК і середовищ розробки. Також користувачам доступні апаратно незалежні програмні модулі та апаратно залежні від вбудованих блоків прискорювачів варіанти реалізації. Бібліотеку шифрування можна використати з стандартним набором периферії мікроконтролера та вести обмін даними через будь-який канал зв'язку.

Серед безлічі видів каналів зв'язку найбільш часто виділяють дротові канали зв'язку (наприклад кабельні, повітряні, світловодні) та радіозв'язок (супутникові, тропосферні, та інші). В свою чергу прийнято класифікувати такі канали на основі характеристик вхідного і вихідного сигналів, а також за змінами характеристик сигналів від таких явищ в каналі як затримки і загасання сигналів.

За типом середовища поширення канали зв'язку діляться на акустичні, оптичні (інфрачервоні), дротові, радіоканали.

Класифікують канали зв'язку на:

- Безперервні (аналогові) у яких на вході і виході каналу - безперервні в часі сигнали.
- Дискретні (цифрові) мають дискретні сигнали на вході і виході каналу зв'язку.
- Безперервно-дискретні аналогово-цифрові на вході - безперервні (аналогові) сигнали, а на виході - дискретні (цифрові) сигнали.
- Дискретно-безперервні цифро-аналогові мають на вході каналу -

									Арк.
									16
Вим.	Арк.	№ докум.	Підпис	Дата	ВКРМ-123.21.0012.00.00.ПЗ				

дискретні (цифрові) сигнали, а на виході - безперервні (аналогові) сигнали.

Існують канали [18] лінійні і нелінійні, просторово-часові та тимчасові. Часто використовується класифікація каналів зв'язку за діапазоном частот (шириною каналу).

Майбутня система повинна передбачати безперервно дискретний та цифровий канал зв'язку. Тому дана система шифрування може використовуватися в складі окремих пристроїв зв'язку, таких як – рації.

Зараз існує багато пристроїв передачі шифрованої інформації в частоті звукової на основі алгоритму - Advanced Encryption Standard (AES) [19]. Дані пристрої досить схожі до головної ідеї індивідуального завдання. Тому слід розглянути сам алгоритм та приклад пристроїв на основі нього.

Advanced Encryption Standard (AES), відомий під назвою Rijndael - це симетричний алгоритм блочного шифрування (розмір блока 128 біт, ключ 128,192,256 біт). стандарт шифрування AES прийнятий американський урядом США для широкого використання. А ктивний аналіз алгоритму підтвердив доцільність як і його попередник, DES [20]. Державний інститут стандартів і технологій (англ. National Institute of Standards and Technology, NIST) США після п'ятилітньої підготовки 26 жовтня 2001 року опублікував попередню специфікацію алгоритму AES. 26 травня 2002 року оголошено стандартом шифрування - AES. Станом на 2009 рік алгоритм симетричного шифрування AES став одним із найпоширеніших.

В середині 90-х років постала велика потреба у новому стандарті шифрування. Використовуваний в ті часи стандарт DES з довжиною ключа кодування 56 біт, дозволяв застосувати тільки метод грубої сили для дешифрування даних. Вже наприкінці 90-х часто відбулись успішні злами даних. Більшою мірою архітектура DES орієнтована на реалізацію апаратно, а реалізація програмно не давала необхідної швидкодії на платформах із обмеженими ресурсами. Модифікація DES 3-DES була ще повільнішою хоч і мала достатню довжину ключа.

					ВКРМ-123.21.0012.00.00.ПЗ	Арк.
Вим.	Арк.	№ докум.	Підпис	Дата		17

AES і запропонований алгоритм Рейменом і Дейцменом, [21] не одне і те ж. Алгоритмом Рейндола підтримується розмір блока та ключа в широкому діапазоні. Натомість алгоритм AES має фіксовану довжину у 128 біт, а розміри ключа можуть бути зі значеннями в 128, 192 та 256 біт. В той час як алгоритм Рейндол підтримує у діапазоні від 128 до 256 біт розмірність блоку та ключа із кроком 32 біт. AES оперує із масивом 4×4 байт через його фіксований розмір блоку, що називається станом (додаткові колонки мають версії алгоритму із більшим розміром блоку).

На основі алгоритму AES існують готові модулі зв'язку, які випускає фірма KENWOOD який називають The Secure Cryptographic Module (SCM) або ж Захищений криптографічний модуль - це апаратний криптографічний модуль, який надає підтвержені функції криптографічної безпеки. Апаратний криптографічний модуль зображено на рисунку 2.8.



Рисунок 2.8 - Апаратний криптографічний модуль

Динний модуль має контакти л керуючими сигналами та послідовні шини SPI та UART.

					ВКРМ-123.21.0012.00.00.ПЗ	Арк.
Вим.	Арк.	№ докум.	Підпис	Дата		18

- Політика фізичної безпеки: всі компоненти модуля мають виробничий клас.

- СКМ пригнічує криптографічні операції в станах помилок і пригнічує вихід даних під час самотестів, нульованість та стани помилок.

- Інформація про стан не містить CSP або конфіденційних даних, які при неправильному використанні можуть призвести до компромісу модуля.

- Клавіші вводяться уповноваженими операторами в простому тексті, використовуючи сумісний завантажувач змінних ключів (розсилка вручну, електронний запис) або в зашифрованому вигляді за допомогою автоматизованих методів OTAR.

- Для затвердженого режиму роботи оператор повинен використовувати AES для безпечного зв'язку. DES не слід використовувати у затвердженому режимі роботи.

SCM поєднується з певним радіоприймачем: після виявлення недійсного радіоідентифікатора SCM обнулиться.

- Поведінка обнулення ключових подій SCM події залежить від прапора атрибута Infinite: коли прапор є.

- Набір, подія підробки обнулює всі клавіші AES та AES-OTAR; якщо його не встановлено, подія підробок нульових ключі, що зберігаються в оперативній пам'яті.

Виходячи з цього пристрою впливає великий мінус у вигляді високої ціни, через те що використовується спеціалізований мікроконтролер який призначений для обробки сигналів. Даний вид контролерів значно відрізняється за ціною від звичайних контролерів для вирішення широкого кола задач. [23]

											Арк.
											20
Вим.	Арк.	№ докум.	Підпис	Дата	ВКРМ-123.21.0012.00.00.ПЗ						

2.2 Обґрунтування вибору засобів для побудови системи та мови програмування

Для реалізації коду програми, який повинен виконуватися на мікроконтролері було обрано середовище розробки від компанії [25] STMicroelectronics - STM32CubeIDE.

Середовище розробки STM32CubeIDE раніше називалося Atollic TrueSTUDIO та не мало в собі модуля для генерації проекту з частиною коду ініціалізації. Отже після придбання середовища розробки компанією STM воно було оновлене, та в його склад тепер входить модуль генерації проекту, який раніше був окремою програмою під назвою CubeMX.

STM32CubeIDE це вдосконалена платформа розробки C/C++ [26] з периферійною конфігурацією, генерацією коду, складанням коду та налагодженням для мікроконтролерів та мікропроцесорів STM32. Він заснований на рамках ECLIPSE™/CDT та ланцюжку інструментів GCC для розробки та GDB для налагодження. Це дозволяє інтегрувати сотні існуючих плагінів, які доповнюють функції ECLIPSE™ IDE.

STM32CubeIDE інтегрує всі функції STM32CubeMX, щоб запропонувати досвід роботи все в одному та заощадити час установки та розробки. Після вибору порожнього MCM або MPU STM32 або попередньо налаштованого мікроконтролера або мікропроцесора з вибору плати створюється проект і створюється код ініціалізації. У будь-який час під час розробки користувач може повернутися до ініціалізації та конфігурації периферійних пристроїв або середнього програмного забезпечення та відновити код ініціалізації, не впливаючи на код користувача.

STM32CubeIDE включає аналізатори збірки та стеку, які надають користувачеві корисну інформацію про стан проекту та вимоги до пам'яті.

STM32CubeIDE також включає в себе стандартні та вдосконалені функції налагодження, включаючи представлення основних процесорів, пам'яті та

										Арк.
										22
Вим.	Арк.	№ докум.	Підпис	Дата						

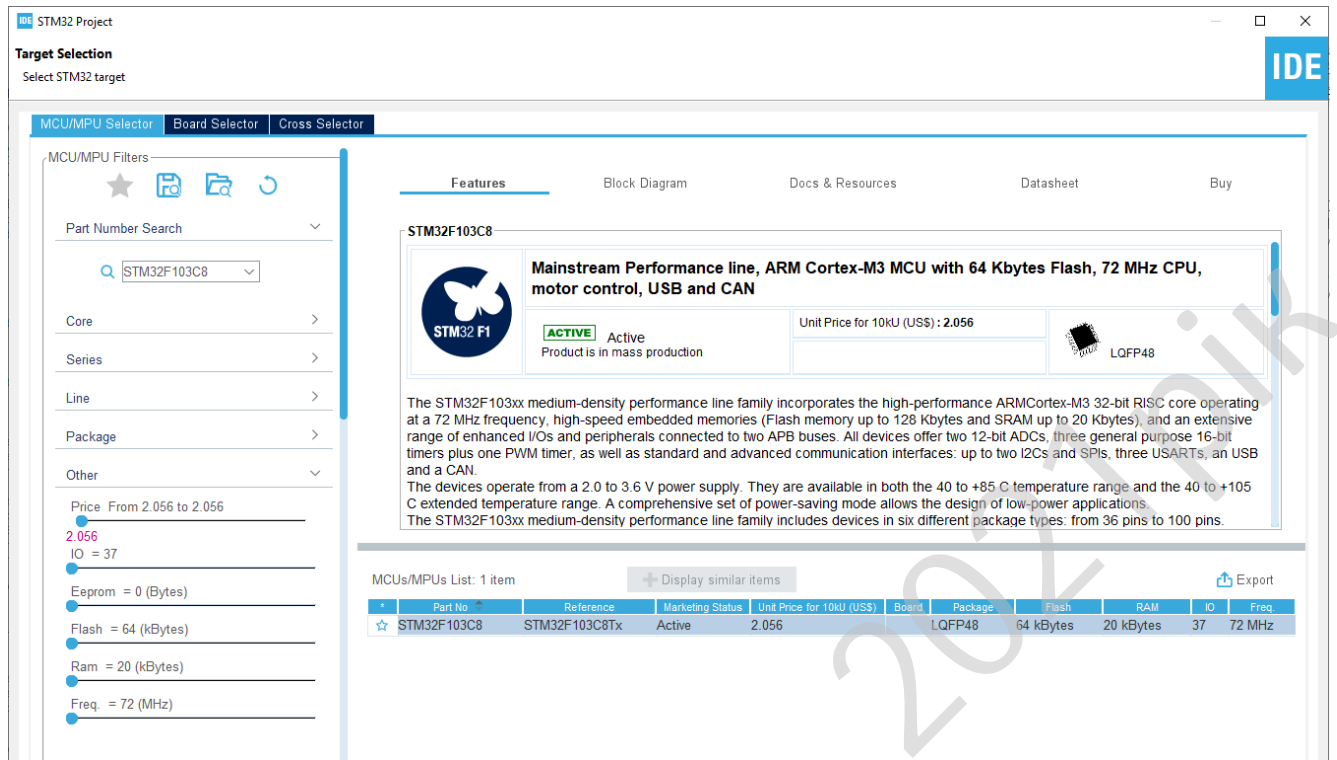


Рисунок 2.12 – Вікно вибору мікроконтролера

В наступному вікні слід вказати ім'я проекту та місце розташування на ПК. На рисунку 2.13 зображено діалогове вікно в якому потрібно вказати назву проекту.

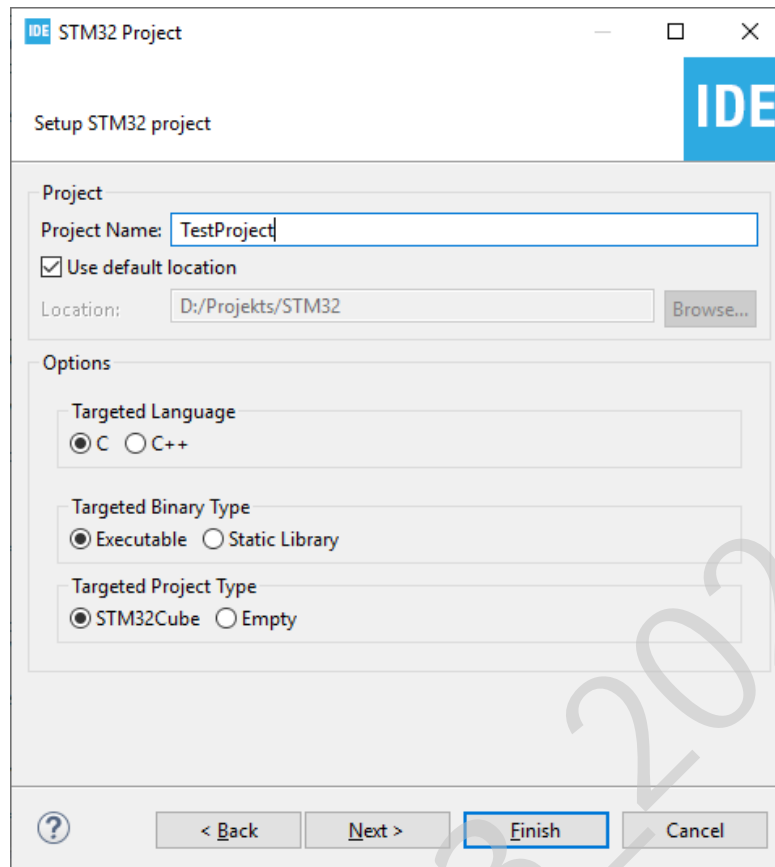


Рисунок 2.13 – Діалогове вікно створення проекту

Наступним вікном буде конфігуратор периферії мікроконтролера. В даному вікні можливо перед налаштувати джерело тактування процесора та периферії. Також вибрати необхідну частоту джерела тактування та бо спеціальній блок схемі розподілити переддільники частоти для периферійних пристроїв мікроконтролера. Дане вікно також включає в себе зображення самої мікросхеми по периметру якої зображені контакти. Самі контактах підписані та являють собою кнопки з випаданим списком в якому можна вибрати конкретну функцію яку буде виконувати дана ножка мікросхеми. На рисунку 2.14 зображено вікно конфігуратора.

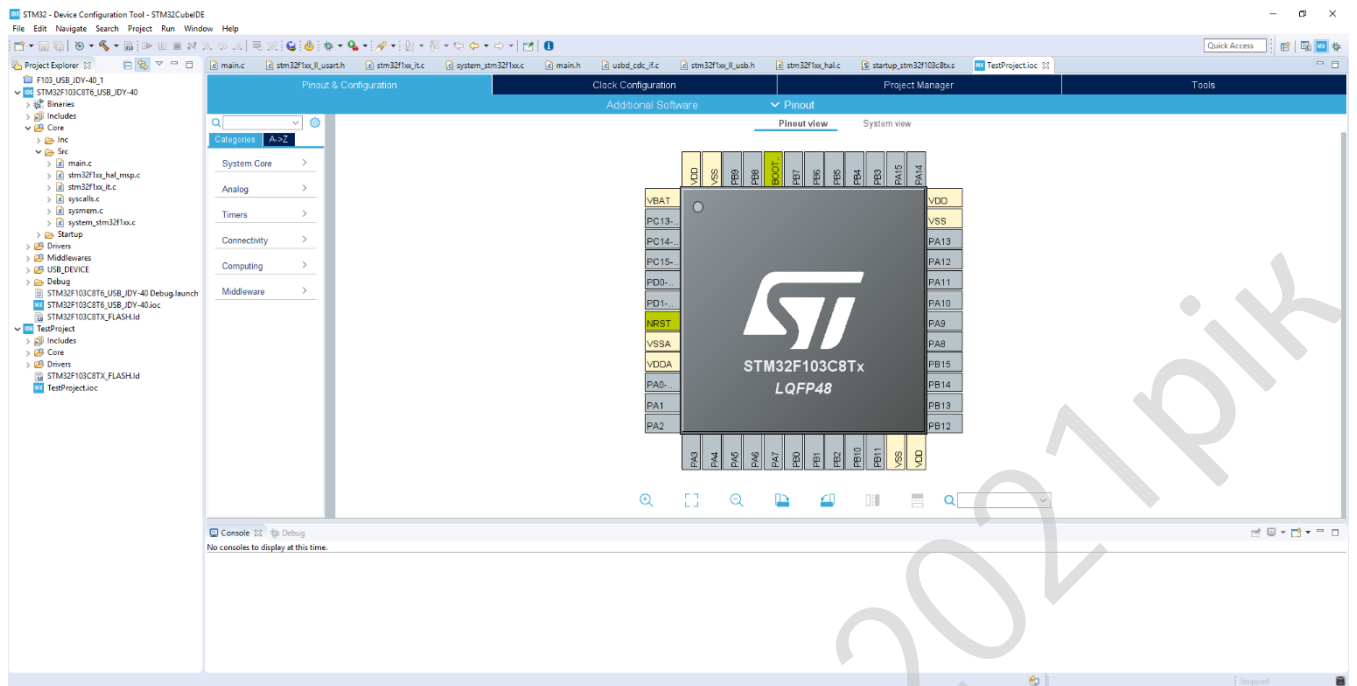


Рисунок 2.14 – Вікно конфігуратора

Потім після натискання кнопки Debug створиться проект. Вікно середовища розробки виглядає досить стандартно тому і не викликає труднощів у освоєнні інтерфейсу. Загальний вигляд вікна зі створеним проектом зображено на рисунку 2.15.

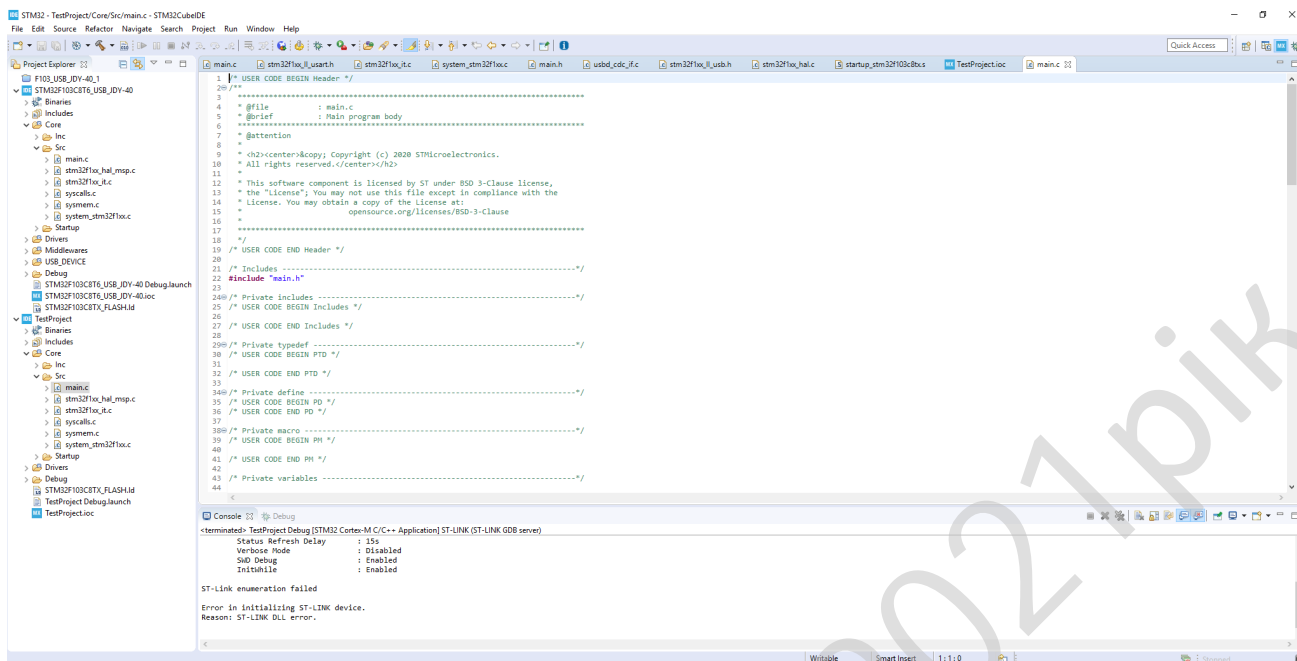


Рисунок 2.15 – Вікно зі створеним проектом

Далі для роботи необхідний програматор. Найкращим варіантом буде обрати програматор який називається - ST-LINK V2. Це внутрішньосхемний програматор відладчик для мікроконтролерів серії STM8 і STM32. Відладчик підключається до налагоджувальних плат за допомогою стандартного SWD (Serial Wire Debug) інтерфейсу (мікроконтролери на базі ядра STM32) або за допомогою SWIM (Single Wire Interface Module) [27] інтерфейсу (для мікроконтролерів сімейства STM8).

SWIM інтерфейс підтримує роботу з 1.65-5.5В платами і роботу в low-speed (9.7 Кб / с) і high-speed (12.8 Кб/с) режимах.

Стандартний 4-контактний SWIM роз'єм. Розташування контактів в точності відповідає оригінальному програматору STLINK / V2

SWD інтерфейс для роботи з ARM CORTEX платами по 3 -х провідному з'єднанню підтримується в діапазоні живлячих напруг 1.65-3.6В. Позначення контактів підключення вказані на корпусі програматора.

Живлення здійснюється за допомогою стандартного USB роз'єму.

читання пам'яті виведе його із строю. На рисунку 2.17 зображено вікно утиліти [29].

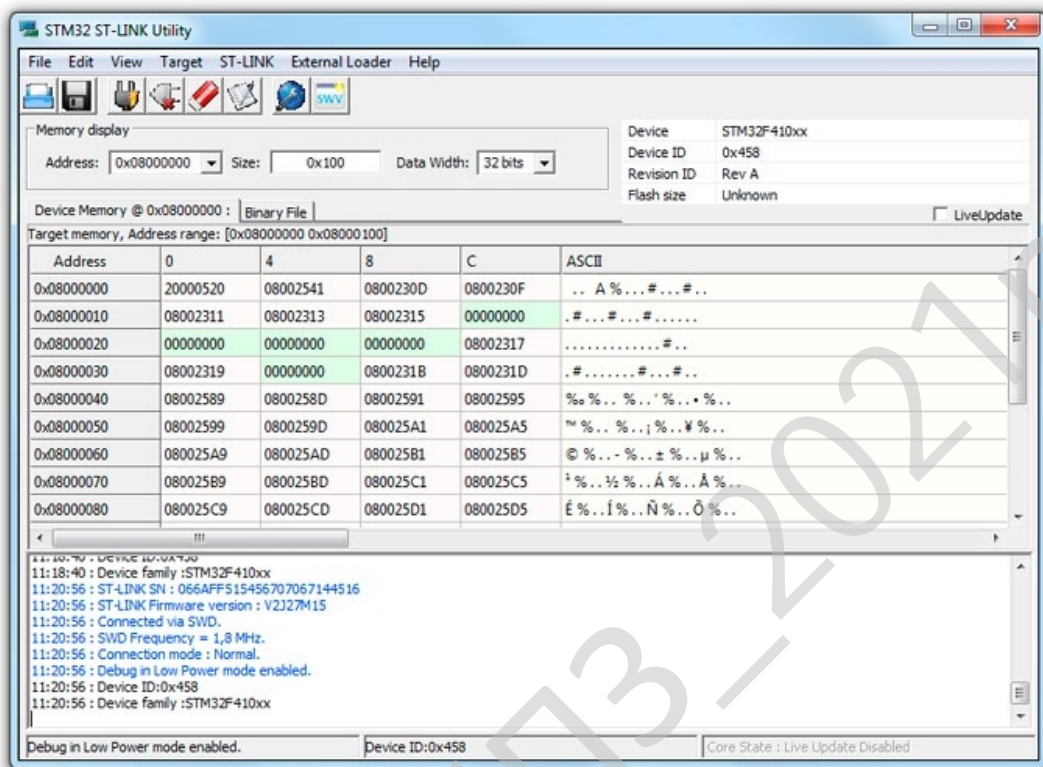


Рисунок 2.17 – Зображення вікна ST-LINK utility

Для подальшого відлагодження пристрою застосовано логічний аналізатор. Логічний аналізатор - електронний прилад, який може записувати і відображати послідовності цифрових сигналів. Він використовується для тестування і налагодження цифрових електронних схем, наприклад, при проектуванні компонентів комп'ютерів і керуючих електронних пристроїв. На відміну від осцилографів, логічні аналізатори мають значно більше входів (зазвичай від 16 до кількох сотень), але при цьому часто здатні показувати лише два рівня сигналу («0») і («1»).

Для роботи був обраний логічний аналізатор Saleae Logic 8.

Saleae Logic - компактний аналізатор на 8 цифрових входів. Дозволяє відстежувати і аналізувати складні протоколи при взаємодії різних датчиків,

виконавчих пристроїв з мікроконтролерами. Зв'язок з комп'ютером за допомогою роз'єму USB. Володіє точною швидкістю обробки даних, захоплення відбувається на частоті до 24 МГц.

Даний логічний аналізатор працює з безкоштовною програмою від фірми виробника. Вікно програми для роботи з аналізатором зображено на рисунку 2.18

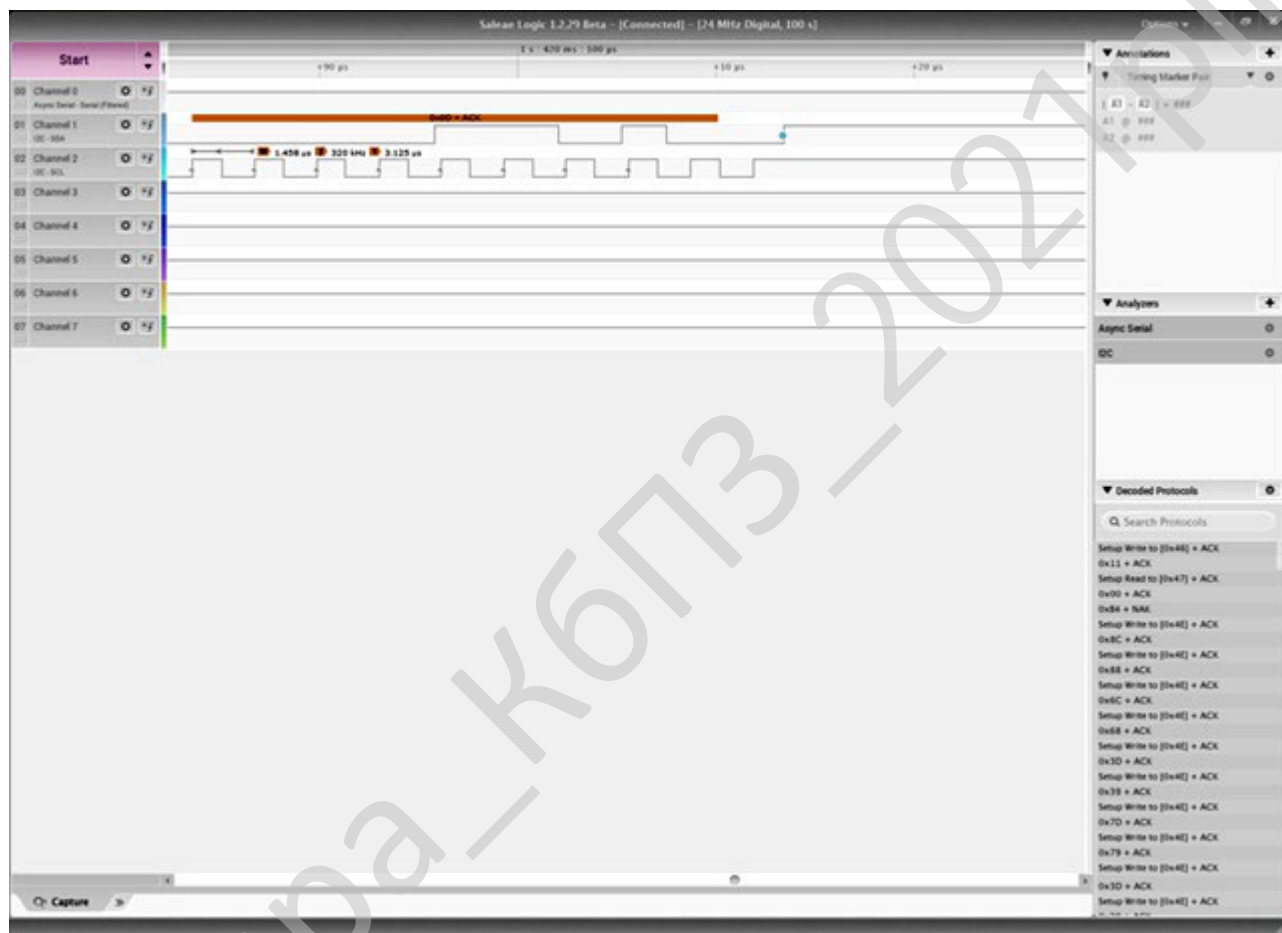


Рисунок 2.18 – Вікно програми Saleae Logic

Із рисунку 2.18 видно логічні рівні напруги та перехоплені дані з послідовної шини UART. Сам логічний аналізатор від'єднується до ПК по USB. Після чого програма автоматично розпізнає яка саме модель аналізатора під'єднана. На рисунку 2.19 зображений логічний аналізатор Saleae Logic 8. [30]

Даний логічний аналізатор в індивідуальній роботі допоможе відслідкувати логічні рівні які йдуть від мікроконтролера до модуля зв'язку по

радіоканалу по шині UART. Також паралельно буде видно логічні рівні контактів керування радіо модуля. Це дасть розуміння повної картини роботи схеми при налагодженні пристрою.



Рисунок 2.19 - Логічний аналізатор Saleae Logic 8

Також для налагодження роботи через USB з ПК буде використовуватися безкоштовна програма універсального терміналу - Terminal 1.9b.

Програма Terminal 1.9b [31] є монітором COM порту персонального комп'ютера. За допомогою програми можна легко відправляти і приймати дані через COM порт комп'ютера по протоколу RS232. Серед достоїнств Terminal гнучке налаштування програми під різні режими роботи. Інтерфейс програми простий і зрозумілий. Вікно термінальної програми зображено на рисунку 2.20.

макетних плат на основі підібраних компонентів. Розробка блок схеми керуючої програми для мікроконтролера.

Кафедра _ КБПЗ _ 2021 рік

					ВКРМ-123.21.0012.00.00.ПЗ	Арк.
Вим.	Арк.	№ докум.	Підпис	Дата		33

3 ОПИС І ОБҐРУНТУВАННЯ ПРОЄКТНИХ РІШЕНЬ

3.1 Опис функціонування системи

Сучасному розвитку техніки та зв'язку притаманні дві особливості:

- цифрова (дискретна) форма подання всіх сигналів – незалежно від виду інформації, що передається цими сигналами (мова, текст, дані чи зображення);
- інтеграція обслуговування - повністю реалізується за умови застосування зв'язку тільки цифрової техніки.

Функції мереж зв'язку і кінцевих пристроїв перерозподіляються новітнім способом. Відбувається інтеграція [32] передачі інформації та систем комутації. Все більше з'являються багатофункціональні пристрої які дуже відмінні від телеграфного і телефонного апаратів. Кінцеві пристрої для візуалізації даних, придатні більше ніж для одного виду інформації. Мережа зв'язку дає змогу передавати різноманітну інформацію (текстову, мовну, дані і зображення,) через те саме з'єднання. Ці засоби сильно збільшили продуктивність роботи та економічну ефективність праці трьох важливих галузей промисловості - комп'ютерної індустрії (інформаційних технологій), побутової електроніки (індустрії розваг) і електророзв'язку, тому як об'єднання їх зусиль прискорило створення великої інформаційної інфраструктури. Глобальна інформаційна мережа, яка з'явилася в результаті поєднання засобів зв'язку та ЕОМ, що являє собою одну з найскладніших, створених людиною, кібернетичних систем. Система поєднує величезну кількість різних джерел та споживачів інформації. Споживачами можуть бути як найпростіші термінальні пристрої так і ПК, окремі користувачі, так і великі дата-центри чи підприємства, об'єкти, розосереджені на великих територіях та навіть у космосі. Слід уявляти інформаційну мережу як велику систему з великою кількістю користувачів із різним обладнання та засобами зв'язку, для системи керування і надання послуг. Роль зв'язку для

процесу інформатизації дуже значна, оскільки він повністю перекриває весь інформаційний процес від об'єктів спостереження та створення початкової інформації та її обробку в передавачі подальшу передачу даних і обробку у приймачі, до отримання інформації одержувачем в обробленому вигляді. Поняття інформаційної мережі та мережі електрозв'язку стали практично тотожними.

В даній роботі по розробці ПЗ захищеного каналу передачі даних Point to Point для мікроконтролерів необхідно забезпечити взаємодію двох однакових пристроїв по радіоканалу. Взаємодія пристроїв виконується через радіомодулі загального призначення. Дані радіомодулі повинні конфігуруватися з сторони мікроконтролера. В свою чергу мікроконтролер зв'язується з ПК через шину USB. При роботі двох пристроїв один виступає як приймач а інший як передавач.

При передача даних від однієї сторони в іншу виконується під'єднання пристроїв до ПК та з терміналу відправляється текстова інформація. Ця текстова інформація надходить до мікроконтролеру, який повинен прийняти дані в буфер та передати їх через іншу шину яка зв'язана з радіомодулем. Частина периферії яка відповідає за комунікацію через USB повинна бути конфігурована на роботу як комунікаційний пристрій (віртуальний СОМ порт).

При прийомі даних мікроконтролер повинний так само скласти дані в буфер від радіомодуля та передати їх по USB в сторону ПК.

Дана конфігурація дозволить налагодити комунікацію між двома пристроями. Таким чином на створених макетах можливо налагодити зв'язок точка-точка (Point to Point). Дана робота спрямована на вивчення в подальшому алгоритма шифрування на основі математичного більярду. Тобто робота по переддипломній практиці передбачає початок написання керуючої програми для мікроконтролера, яка дозволить в першу чергу налаштувати канал зв'язку та підготовку до подальшого впровадження алгоритму шифрування.

					ВКРМ-123.21.0012.00.00.ПЗ	Арк.
Вим.	Арк.	№ докум.	Підпис	Дата		35

3.2 Розробка структурної схеми

Структурна схема складатися з трьох основних компонентів:

- Мікроконтролер на який виконує перетворення та шифрування даних.
- Радіомодуль призначений для передачі даних на інший радіомодуль.
- ПК – виконую роль термінальної передачі даних.

Для роботи радіомодуля та можливості його конфігурації необхідно забезпечити сигнали команда-дані та дозволу роботи. Таких пристроїв потрібно два для забезпечення передачі даних по радіоканалу. Пристрої ідентичні та відрізняються один від одного напрямком передачі даних в даний момент часу. На рисунку 3.1 зображено структурну схему пристрою.

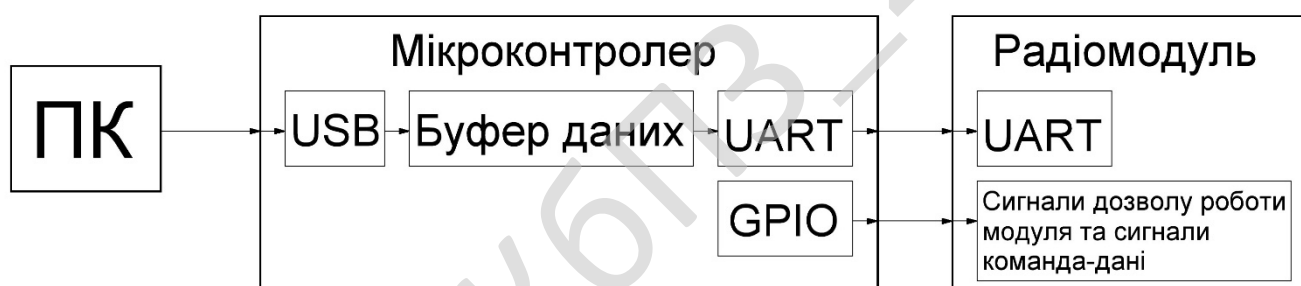


Рисунок 3.1 – Структурна схема пристроїв

Далі для кращого розуміння процесів взаємодії компонентів системи потрібно навести діаграму процесів.

3.3 Розробка функціональної схеми

Згідно із структурної схеми зображеної на рисунку 3.1. Функціональна схема має наступний вигляд (рисунку 3.2).

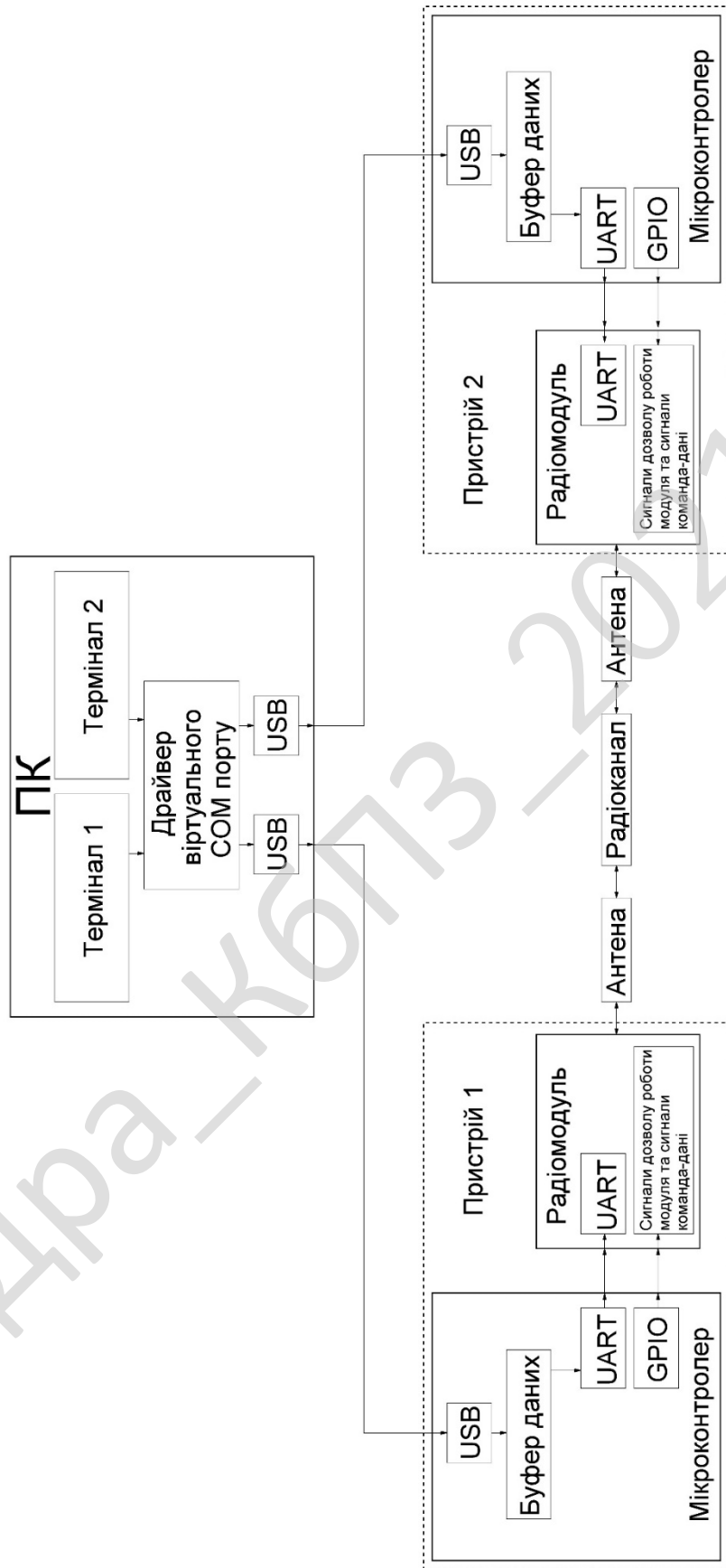


Рисунок 3.2 – Функціональна схема

Вим.	Арк.	№ докум.	Підпис	Дата

На ПК згідно з встановленою ОС запускаються зовнішні віртуальні COM (USB) порти та довільні термінали введення виведення даних. Введена інформація передається на відповідний модуль, який встановлено на передачу. На цьому модулі виконується генерація псевдовипадкових чисел (ПВЧ) кодування та шифрування даних і передача через послідовний порт UART радіомодуля.

Другий аналогічний модуль виконує дії в зворотньому порядку. Приймає дані з радіоканалу виконує дешифрування і передає їх по шині USB до ПК на термінал.

3.4 Розробка діаграми процесів

Розробка діаграми процесів дозволяє спланувати всі можливі зв'язки та взаємодію компонентів системи. На рисунку 3.3 зображено діаграму процесів між пристроями системи.

Діаграма процесів розроблена на основі структурної та функціональних схем. Процеси генерації ряду ПВЧ і шифрування виконуються паралельно за допомогою [33] DMA.

					ВКРМ-123.21.0012.00.00.ПЗ	Арк.
Вим.	Арк.	№ докум.	Підпис	Дата		38

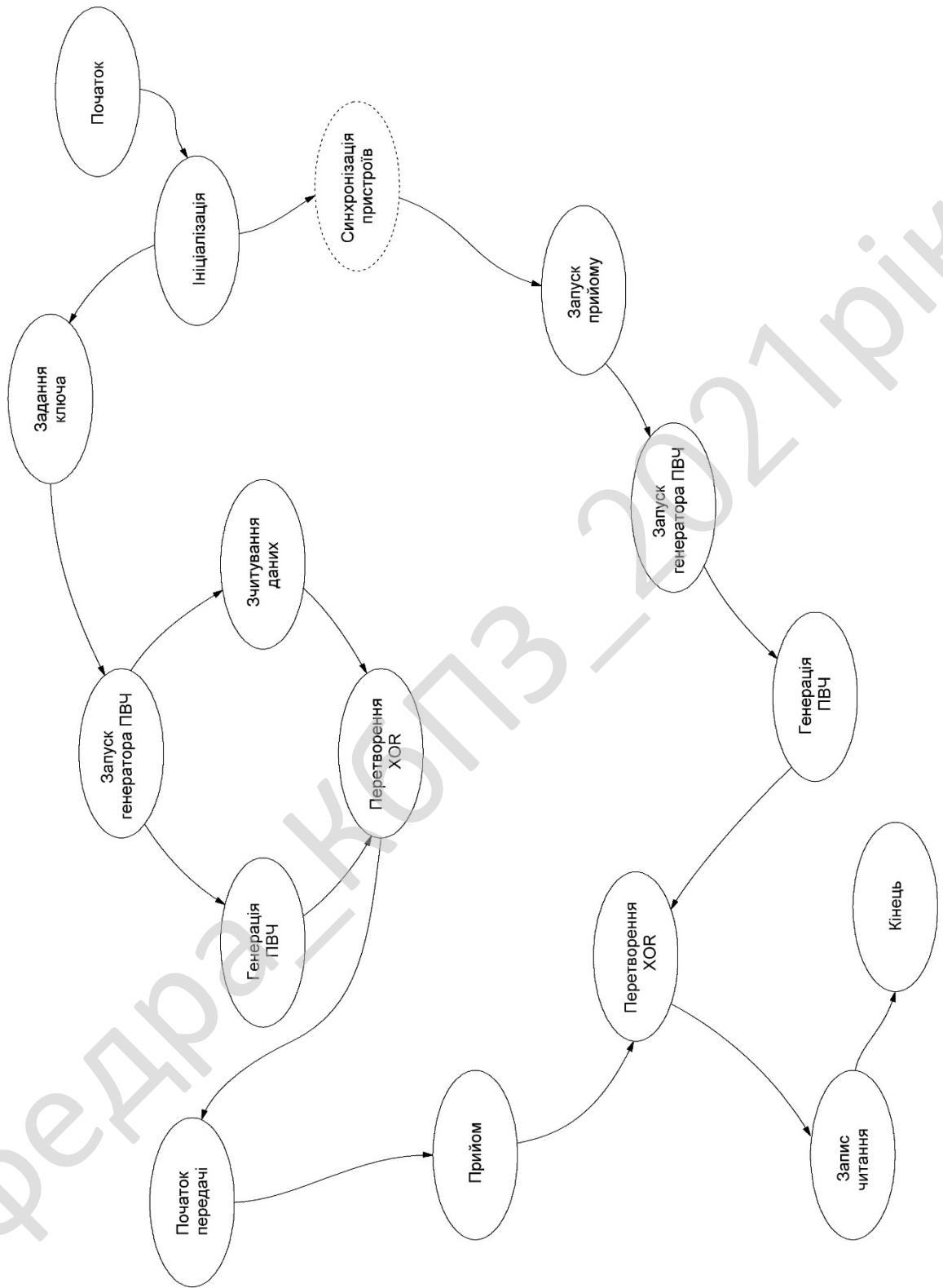


Рисунок 3.3 – Діаграма процесів

**4 РЕАЛІЗАЦІЯ РОБОТИ. РОЗРАХУНКИ І
ЕКСПЕРИМЕНТАЛЬНІ ДАНІ, ЩО ПІДТВЕРДЖУЮТЬ
ВІРНІСТЬ ПРОЕКТНИХ ТА ПРОГРАМНИХ РІШЕНЬ**

В даному розділі буде описано апаратну та програмну реалізації проекту.

Для побудови системи створено робочі макети пристроїв. Для створення макету обрано модуль на основі мікроконтролера [34] STM32F103C8T6.

Сімейство високопродуктивних лінійних ліній STM32F103xx включає високопродуктивне 32-розрядний ядро [35] RISC ARM® Cortex® -M3, що працює на частоті 72 МГц, високошвидкісну вбудовану пам'ять (флеш-пам'ять до 128 КБ і SRAM до 20 КБ) і широкий спектр розширених входів / виходів і периферійних пристроїв, підключених до двох шин APB. Всі пристрої мають два 12-розрядних АЦП, три 16-розрядних таймера загального призначення і один ШІМ-таймер, а також стандартні і вдосконалені інтерфейси зв'язку: до двох I2C і SPI, три USART, USB і CAN. На рисунку 4.1 зображено модуль на основі мікроконтролера STM32F103C8T6.

Модуль має:

- Виводи портів A0-A12, B0-B1, B3-B15, C13-C15.
- Micro-USB через який можна жити плату. На платі присутній стабілізатор напруги на 3.3В. Живлення 3.3В або 5В можна подавати на відповідні виводи на платі.
- Кнопку RESET.
- Два перемички BOOT0 і BOOT1. Використовувати під час прошивки через UART.
- Два кварци 8МГц і 32768Гц. У мікроконтролера є множник частоти, тому на кварці 8 МГц можливо досягти максимальної частоти контролера 72МГц.

					ВКРМ-123.21.0012.00.00.ПЗ	Арк. 40
Вим.	Арк.	№ докум.	Підпис	Дата		

периферії до модулю є 8 портів введення -виведення. На рисунку 4.2 зображено модуль зв'язку JDY-40.

На основі модулів JDY-40 та макетної плати розроблено робочі макети пристроїв. На рисунку 4.3 зображено макети пристроїв для передачі даних по радіоканалу.

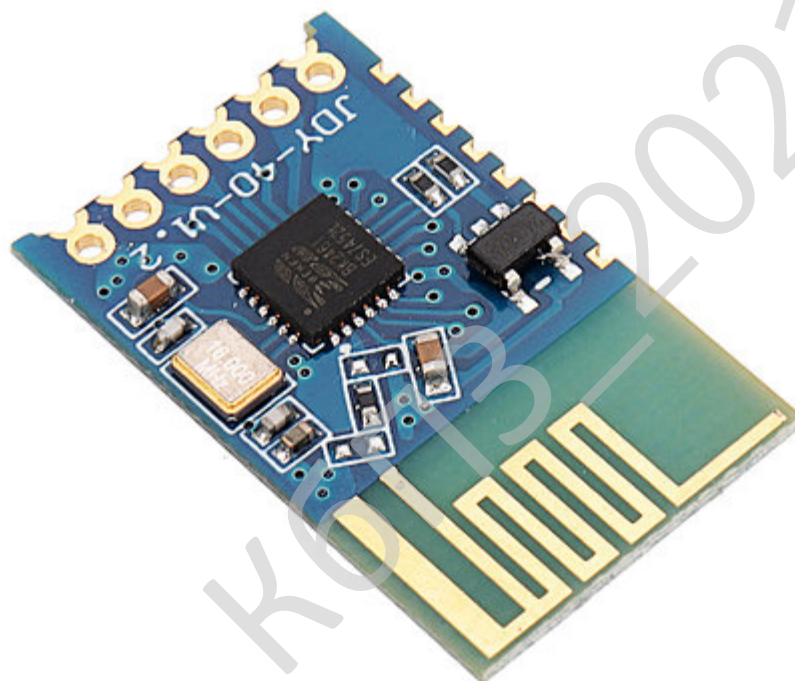


Рисунок 4.2 – Радіомодуль JDY-40

На рисунку 4.3 присутні програматори та логічний аналізатор за допомогою яких здійснювалася наладка схеми. Обидва пристрої підключені до ПК на якому відкрито два термінали. В кожному із терміналів необхідно обрати відповідний номер СОМ порту та відкрити його. Після відкриття СОМ порту можна передавати данні від ПК до мікроконтролера який в свою чергу передасть їх на радіомодуль.

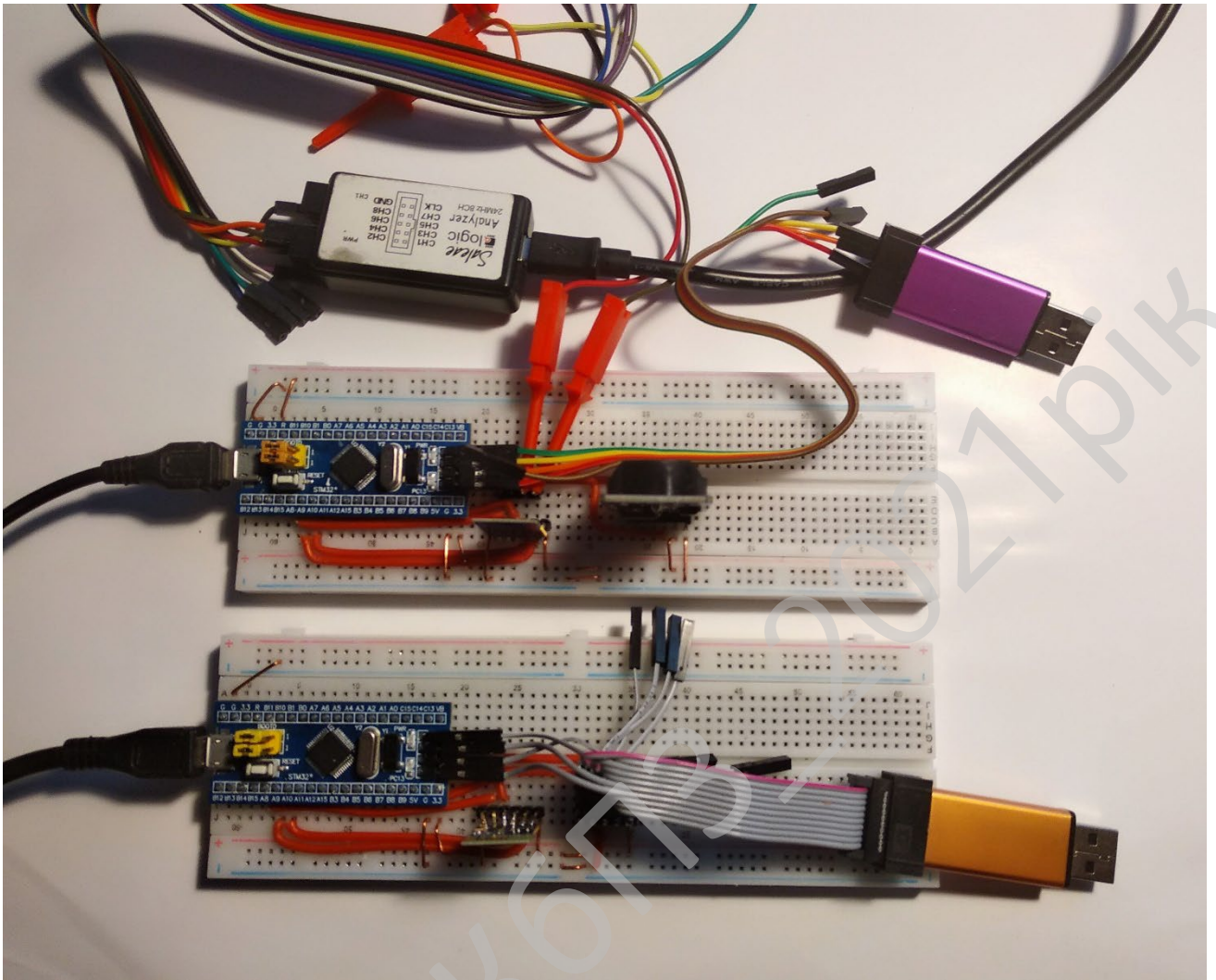


Рисунок 4.3 – Робочі макети пристроїв для передачі даних по радіоканалу

Далі буде розглянуто блок схему та опис алгоритму функціонування системи.

4.1 Блок-схеми та опис алгоритмів функціонування системи

Процес генерації випадкових чисел (ГВЧ) [37] є невід'ємною частиною багатьох криптографічних операцій..

В даний час існує велика кількість методів генерації послідовностей з різним ступенем випадковості. Однак на практиці більшість цих генераторів

виробляють послідовності, властивості яких не відповідають вимогам випадковості і є генераторами псевдовипадкових чисел(ГПВЧ).

Часто в числах, які згенеровані за допомогою таких ГПВЧ простежуються очевидні закономірності. Також, дуже часто генератори ГПВЧ є найбільш слабким місцем у системах шифрування. Справа в тому, що генератори програмного забезпечення повністю детерміновані. Вони використовують різні складні функції для обчислення псевдовипадкових чисел. Послідовності, отримані в результаті роботи таких генераторів, є передбачувані та відтворювані і не придатні для використання в криптографічних програмах.

Системи динамічного більярду виявили добре розвинену хаотична поведінку. Незважаючи на хороші характеристики, ці системи ще не застосовуються у криптографії. Головною причиною є складність вираження рівняння руху частинок в явній формі.

У 1976 році відомий математик Я. Г. Сінай довів [38], що поведінка більярдної кулі у динамічному більярді, яка визначається визначеним детермінованим рівнянням, та поведінка більярдної кулі, яке керується процесом Маркова першого порядку, нерозрізнимі. Оскільки марковський процес першого порядку є імовірносним процесом, який залежить тільки від попереднього зіткнення з перпоною, то він є як недетермінованим, так і непередбачуваним.

Програма моделювання руху кулі у більярді Сіная [39] базується на твердженнях, що рух кулі здійснюється без втрати швидкості(тертя відсутнє) та кут падіння дорівнює куту відбиття. Таким чином приймаємо, що рух кулі має швидкості по координатах $V_x = \cos(\alpha)$; $V_y = \sin(\alpha)$. Звідси $V_x^2 + V_y^2 = 1$. Приймаємо для побудови алгоритму руху кулі наступні вхідні параметри:

- напрямок руху кулі — $V = \{V_x, V_y\}$,
- початкове положення кулі у більярді — $P = \{P_x, P_y\}$.

Алгоритм моделювання більярду Сіная наступний:

Програма моделювання руху кулі у більярді Сіная базується на твердженнях, що рух кулі здійснюється без втрати швидкості(тертя відсутнє) та

кут падіння дорівнює куту відбиття. Таким чином приймаємо, що рух кулі має швидкості по координатах $V_x = \cos(\alpha)$; $V_y = \sin(\alpha)$. Звідси $V_x^2 + V_y^2 = 1$. Приймаємо для побудови алгоритму руху кулі наступні вхідні параметри:

- напрямок руху кулі — $V = \{V_x, V_y\}$,
- початкове положення кулі у більярді — $P = \{P_x, P_y\}$.

Для розробки алгоритму побудуємо математичну модель руху математичної точки в полі опуклого МБС.

Точка частинки рухається по більярду постійна швидкість v . Коли вона досягає кордону, зазнає пружного зіткнення з дзеркальним відображенням відповідно до закон відбиття, кут падіння дорівнює кут відображення відносно $-!$ n нормального вектора в межі зіткнення кордону. Між двома зіткненнями частинка йде прямим шляхом. Спочатку частинка орієнтована під кутом $\theta_0 = (\vec{i}, \vec{v}_0)$, де \vec{i} одиничний вектор осі x .

З цього маємо $\vec{v}_0 = \cos(\theta_0) \vec{i} + \sin(\theta_0) \vec{j}$

Після зіткнення маємо рівняння 4.1:

$$(\vec{i}, \vec{v}_{new}) = (\vec{i}, \vec{v}_{old}) + (\vec{v}_{old}, \vec{N}) + (\vec{N}, \vec{v}_{old}) \text{ mod } 2\pi \quad (4.1)$$

Після правила зіткнення маємо:

$$(\vec{N}, \vec{v}_{new}) = (-\vec{v}_{old}, \vec{N})$$

Також є:

$$(-\vec{v}_{old}, \vec{N}) = (-\vec{v}_{old}, \vec{v}_{old}) + (\vec{v}_{old}, \vec{N}) \text{ mod } 2\pi = \pi + (\vec{v}_{old}, \vec{N}) \text{ mod } 2\pi$$

Тому рівняння 4.1 стає:

$$(\vec{i}, \vec{v}_{new}) = (\vec{i}, \vec{v}_{old}) + 2(\vec{v}_{old}, \vec{N}) + \pi \text{ mod } 2\pi \quad (4.2)$$

При $(n + 1)$ зіткненні, де $n \geq 0$, ставимо $\theta_0 = (\vec{i}, \vec{v}_{new})$ і отримуємо

$\theta_{n+1} = (\vec{i}, \vec{v}_{new})$ і тому рівняння 2.2 стає:

$$\theta_{n+1} = \theta_n + 2(\vec{v}_n, \vec{N}_{n+1}) + \pi \text{ mod } 2\pi \quad (4.3)$$

$$\vec{v}_n = \cos(\theta_0) \vec{i} + \sin(\theta_0) \vec{j}$$

де \vec{N}_{n+1} одиничний нормальний вектор на кордоні до $(n + 1)$ зіткнення.

Після геометричної форми маємо більярд:

$$\vec{N}_{n+1} = \begin{cases} -\frac{x_{n+1}}{|x_{n+1}|} & \text{Якщо } |x_{n+1}| = a \\ -\frac{y_{n+1}}{|y_{n+1}|} & \text{Якщо } |y_{n+1}| = a \\ -\frac{x_{n+1}\vec{i} + y_{n+1}\vec{j}}{\sqrt{x_{n+1}^2 + y_{n+1}^2}} & \text{Інакше} \end{cases} \quad (4.4)$$

Вважаємо $A_{n+1}(x_{n+1}, y_{n+1})$ точкою $(n + 1)$ зіткнення, тому A_{n+1} належить до перетину траєкторія частинок з більярдною межею Γ . Визначимо f , функцію переходу від (A_n, θ_n) до (A_{n+1}, θ_{n+1}) , таких як:

$$(x_{n+1}, y_{n+1}, \theta_{n+1}) = f(x_n, y_n, \theta_n)$$

Генератор заснований на системі хаотичного більярду, тому створюються послідовності які успадковують хаос і непередбачуваність більярду. Ряд додаткових ітерацій витягується безпосередньо з пароля дозволяє генератору отримати вигоду у вигляді максимуму хаосу, який пропонує більярд.

Кути ініціалізації беруться використовуючи покажчик, який вказує на різні позиції до тих пір, поки є його загальне покриття. Дійсно, різниця між двома клавішами може спричинити різну орієнтацію на частинки i , таким чином, до утворених послідовностей.

Чутливість до невеликої зміни ключа є однією з основних властивостей ГПВЧ. Іншими словами, мала різниця в системі повинна викликати велику зміну псевдовипадкових послідовностей. Ця властивість робить генератор високо захищеним від статистичних та диференціальних атак, тому послідовність не може бути зламанною, навіть якщо між ними є невелика різниця ключа. Генератор заснований на двох динамічних системи суто хаотичного більярду

За побудованою математичною моделлю розроблено алгоритм

Алгоритм моделювання більярду Сіная наступний:

Begin

Px := Value_Px; Py := Value_Py;

//Конкретні початкові координати початку руху кулі

Vx := Value_Vx; Vy := Value_Vy;

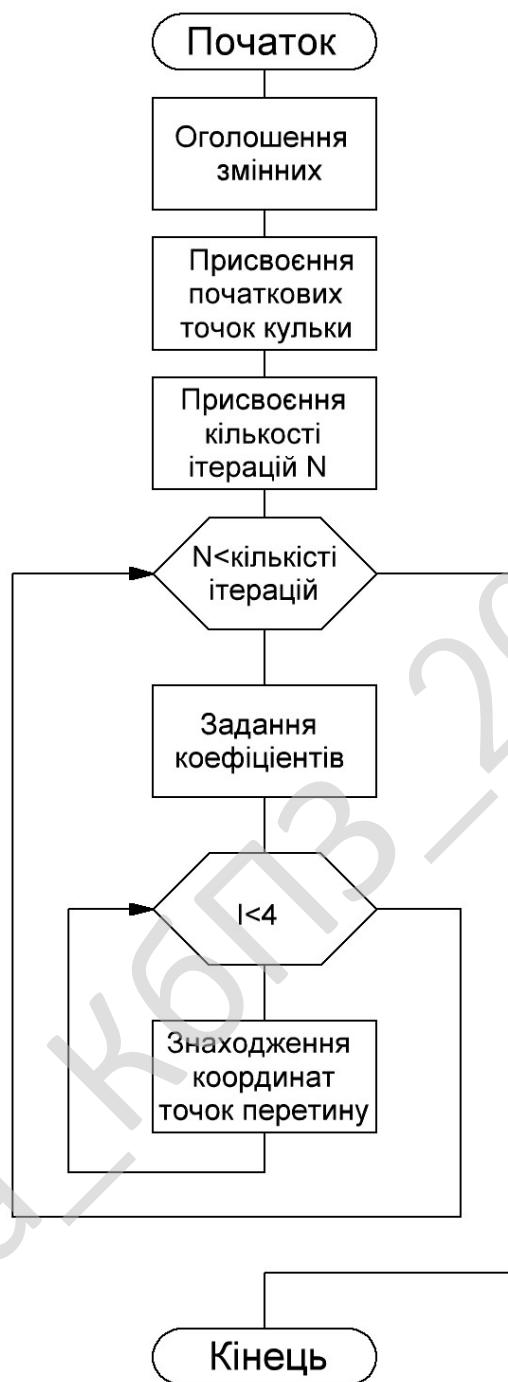


Рисунок 4.4 – Блок схема алгоритму програми

Реалізація математичної моделі виконується мовою Python в середовищі Visual Studio Community 2017 [40] з математичною бібліотекою Matplotlib [41]. (додаток А). На основі попередньої математичної моделі розроблено ПЗ для робочої моделі пристрою. На рисунку 4.5 зображено вивід графічної інформації

руху математичної точки в МБС при двох ітераціях.

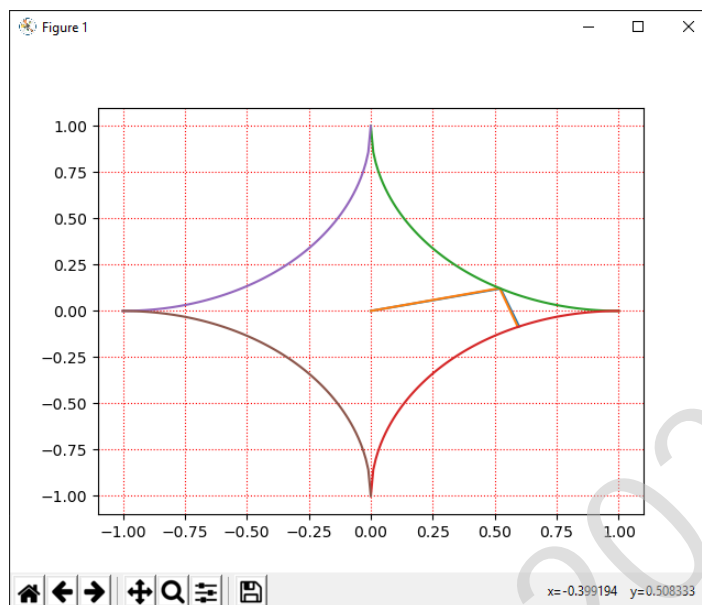


Рисунок 4.5 – Вивід графічної інформації руху математичної точки в МБС при двох ітераціях

З рисунку 4.5 видно, що математичні частинки починають свій рух від центру поля в бік початкового кута який задається на початку розрахунків. Далі частинка в точці перетину відбивається закону кутів та рухається до іншої точки перетину. Саме в цих точках перетину θ є число яке генерується як випадкове. Для кращої розуміння розглянемо рисунок 4.6. На рисунку 4.6 зображено вивід графічної інформації руху математичної точки в МБС при 12-ти ітераціях.

Згідно з малюнками 4.5 та 4.6 видно, що на полі рухаються дві математичні частинки. Це зроблено для порівняння їх розбіжності при невеликій різниці початкового кута. Початковий кут математичних частинок відрізняється всього лиш на 0,3 градуси. При цьому видно що така незначна різниця дає дуже велику розбіжність. Така висока розбіжність пояснюється високою хаотичністю даного математичного більярда. Тому при спробі проаналізувати трафік інформації з метою розшифровки не вдаватиметься перехоплення. Також при використанні даного методу через канал зв'язку не передаються ніякої інформації про ключі.

Вони генеруються на кожному із пристроїв самостійно.

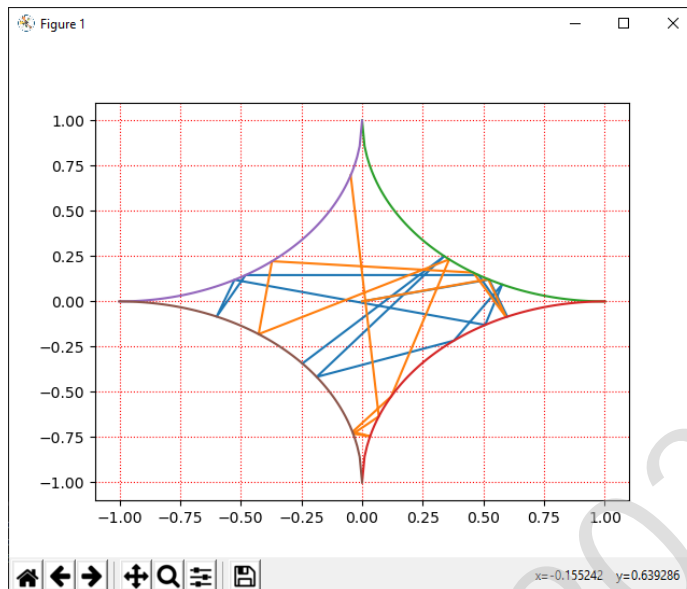


Рисунок 4.6 - Вивід графічної інформації руху математичної точки в МБС при 12-ти ітераціях

На рисунку 4.7 зображено вивід графічної інформації руху математичної точки в МБС при 200-та ітераціях

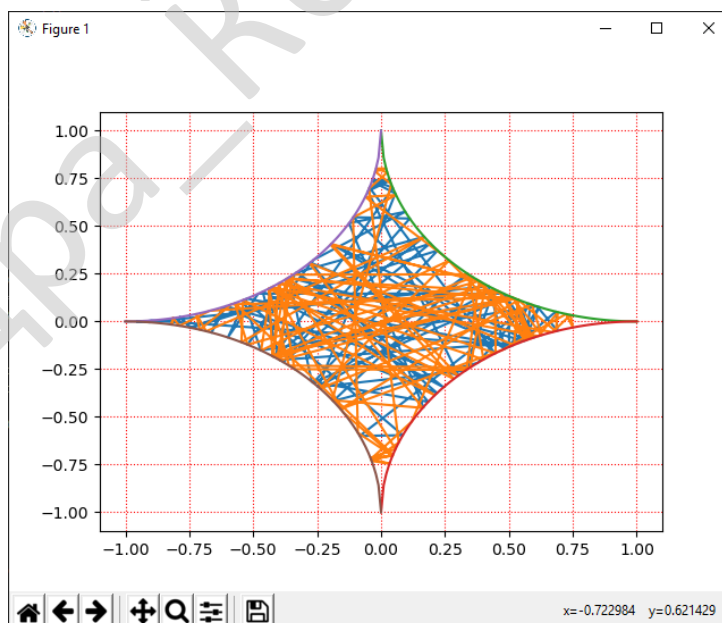


Рисунок 4.7 - Вивід графічної інформації руху математичної точки в МБС при 200-та ітераціях

Вим.	Арк.	№ докум.	Підпис	Дата

Всі програми для мікроконтролерів починаються з ініціалізації. Спочатку треба ініціалізувати тактовий генератор мікроконтролера з вказаними джерелами тактового сигналу, множенням тактового сигналу для ядра та діленням для периферії та системних шин. Після цього ініціалізується потрібна для роботи периферія мікроконтролера. А саме:

- GPIO – порти вводу виводу.
- UART – послідовний асинхронний порт.
- USB – універсальна системна шина.

Зазвичай першими ініціалізують порти вводу виводу (GPIO) [42]. GPIO - general-purpose input output pin або ж порт вводу виводу. Порт вводу виводу - це контакт загального призначення. Може працювати як на вхід так і на вихід. Тобто має можливість або читати логічний стан контакта або навпаки задавати логічний рівень (рівень напруги). Також деякі групи контактів мають можливість працювати в аналоговому режимі при вимірах аналого-цифрового перетворювача (АЦП). Потім треба послідовну шину UART.

UART – це універсальна асинхронна послідовна шина [43]. Шина UART дуже гнучка та дозволяє підключати багато різних пристроїв (мікросхем модулів). Сама шина є повністю дуплексною. Тобто дозволяє передавати дані в обидві сторони як від ведучого пристрою так і від веденого пристрою.

Ініціалізація UART починається з тактування. Після ініціалізації тактування UART необхідно налаштувати контролер NVIC який відповідає за події та вектори переривання.

NVIC (Nested vectored interrupt controller) - модуль контролю переривань [44]. Він виконує наступні функції:

- Дозволяє або забороняє переривання.
- Назначає пріоритет переривань (від 0 до 15. 0 - максимальний пріоритет, 15 - мінімальний пріоритет).
- Автоматично зберігає дані при виконанні одиноких чи вкладених переривань.

					ВКРМ-123.21.0012.00.00.ПЗ	Арк.
Вим.	Арк.	№ докум.	Підпис	Дата		51

Вмикаємо переривання UART. Блок схема функції ініціалізації UART зображена на рисунку 4.8



Рисунок 4.8 - Блок схема функції ініціалізації UART

Після ініціалізації UART необхідно ініціалізувати модуль USB.

Вим.	Арк.	№ докум.	Підпис	Дата

Універсальна послідовна шина (USB) - це найуспішніший шина в історії ПК [45], які використовуються для підключення таких пристроїв, як миша, ігрові приставки та джойстики, сканери, цифрові камери та принтери. USB також перейшла у побутові пристрої. Через її поширеність та зручність її і було обрано для виконання проекту. На рисунку 4.9 зображено блок схему функції ініціалізації USB.

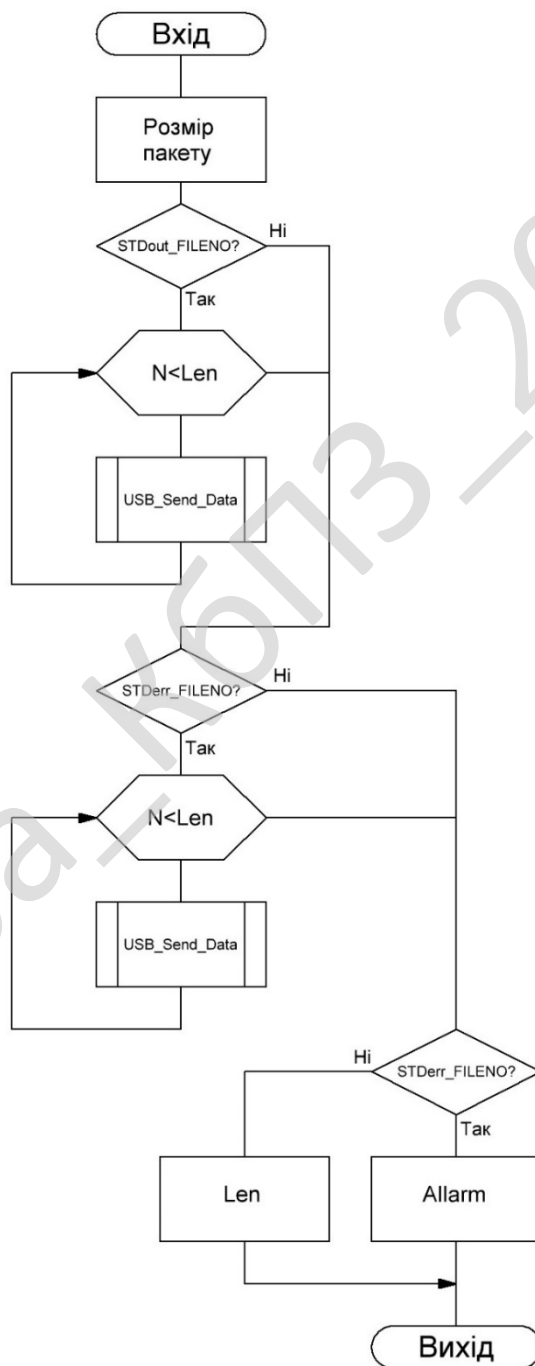


Рисунок 4.9 - Блок схема функції ініціалізації USB

Далі у основній програмі встановлюємо сигнали для ввімкнення радіомодуля у робочий режим. Встановлення сигналу для радіомодуля для дозволу передачі даних. Сигнал встановлюється на контактіві GPIO який найзручніше використати. Тобто той контакт який є найблищим до модуля. Також перед встановленням сигналу команда дані (контакт SET) або ж просто дозволу передачі даних необхідно включити сам радіомодуль подачею логічного нуля на ніжку CS. При наявності логічної одиниці на контакті CS радіомодуль знаходиться в сплячому режимі. Це дає змогу керувати енергоспоживанням пристрою. Але першочергове призначення даного контакту – це керуванням декількома пристроями на одній шині. Тому як шина призначена для передачі даних між двома пристроями (ведучим та веденим) в один момент часу. Радіомодуль за допомогою контакту SET дозволяє налаштувати швидкість передачі даних та його адресу за допомогою якої декілька радіомодулів виявляють, що дані йдуть саме до нього. Таким чином можливо налаштувати модулі так, щоб вони не конфліктували між собою. Або ж навпаки відправляти дані з одного модуля на декілька інших. В даному випадку налаштування швидкості та адрес не важливе та залишене за замовченням. Після цього йде головний цикл програми. В головному циклі програми створено перевірку на наявність даних в буфері USB. Якщо буфер не пустий то зчитуємо його розмір. Розмір буфера даних які прийшли з шини USB не фіксованого розміру. В такому випадку необхідно визначити фіксовану величину інформації яка буде передаватися на радіомодуль. Це потрібно для запуску ГПВЧ з конкретною кількістю ітерацій (псевдовипадкових чисел). Якщо буфер перевищує розмір кадру його необхідно відправити по частинам. Після запуску ГПВЧ та розділенні даних з буфера необхідно виконати операцію виключного АБО (XOR) [46] між вхідною інформацією та псевдовипадковим числом. Після цього присвоюємо дані буферу UART.

Далі необхідно виконати обнулення буферів. На рисунку 4.8 зображено блок схему алгоритму програми.

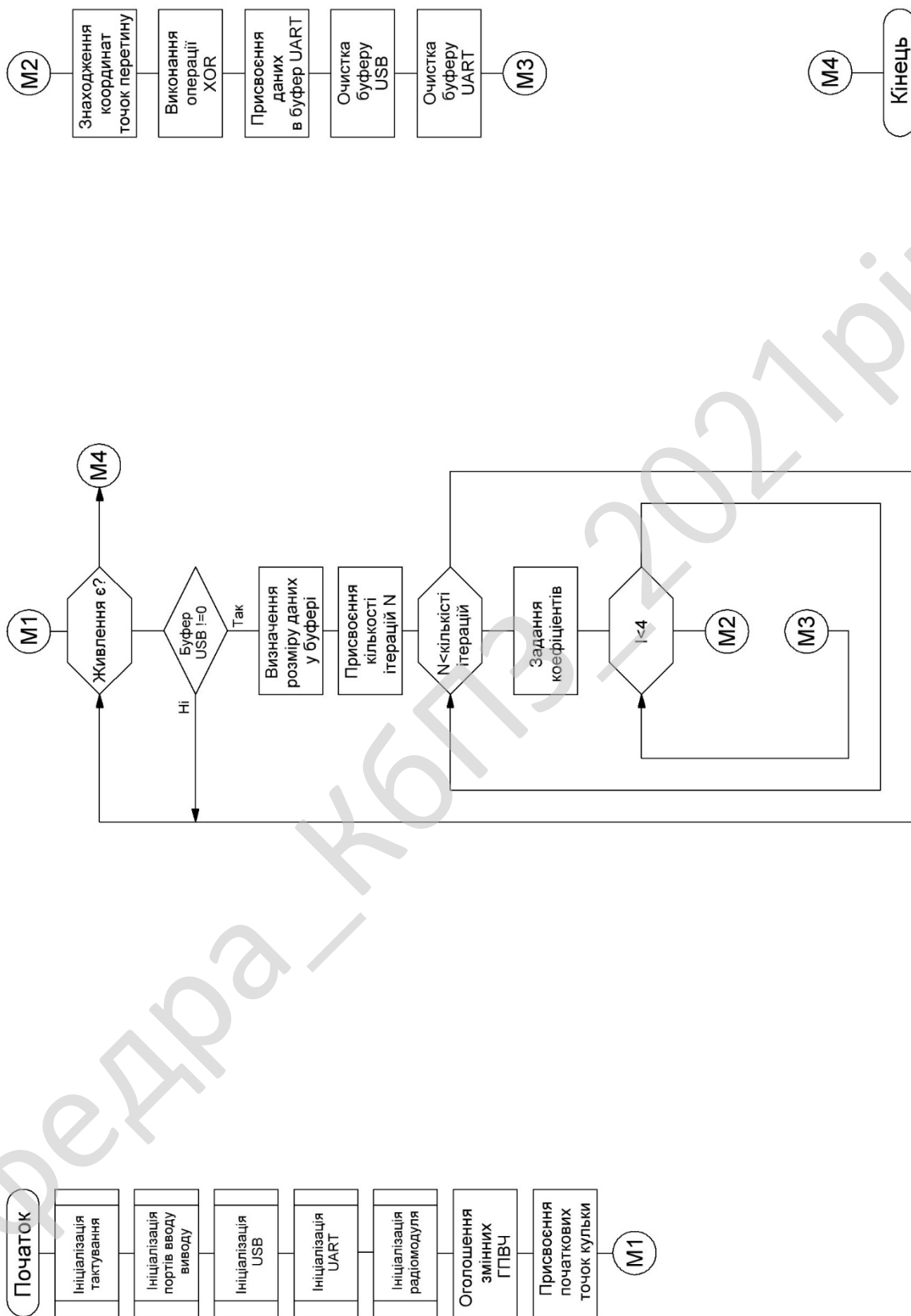


Рисунок 4.9 – Блок схема алгоритму програми

проблеми. Використовується нова техніка водяного маркування, щоб її можна було легко та надійно виявити спеціальними методами. Усі підходи використовують інформацію бічного каналу, отриману під час виконання підозрілого коду. Основний метод є пасивним, тобто попередня модифікація вихідного коду не потрібна. Він визначає, що використовуються ваги Хеммінга [47] у виконаних інструкціях підозрілого пристрою та використовує алгоритми відповідності рядків для порівнянь з реалізацією посилань. Інший метод вставляє додаткові фрагменти коду у вигляді водяного знака, який можна ідентифікувати при споживанні енергії виконаного вихідного коду. Запропоновані підходи є надійними щодо атак трансформації коду.

Програмне забезпечення плагіату та піратства є серйозною проблемою, яка, за оцінками, коштує невеликій промисловості мільярдами доларів на рік. Піратство програмного забезпечення - серйозна проблема, яка привертала увагу в минулому. Однак компанії, що працюють із вбудованими системами, також стикаються з серйозними проблемами щодо плагіату програмного забезпечення та програмного піратства. Якщо дизайнер підозрює, що його код використовується у вбудованому пристрої, важко визначити, належить код користувачеві або дизайнеру. Конструктор повинен перевірити код у пристрої, що підозрюється, і порівняти його з оригінальним кодом, щоб виявити плагіат. Однак механізм захисту пам'яті програм запобігає несанкціонованому доступу до пам'яті програми, що використовується в сучасних мікроконтролерах. Тож механізм захисту доводиться перемагати спочатку для перевірки програмного плагіату. Це робить тестування вбудованих пристроїв на програмний плагіат дуже складним, особливо якщо це потрібно робити автоматизовано. Серйозна загроза в цьому плані полягає в тому, що власники інтелектуальної власності з незаконними копіями можуть призвести до величезних грошових втрат. Це не тільки впливає на виробників та споживачів оригінального обладнання, але й призводить до економічної шкоди. Вбудовані системи - це сучасні системи, які відіграють життєво важливу роль у розвитку багатьох товарів народного споживання. Якщо

					ВКРМ-123.21.0012.00.00.ПЗ	Арк.
Вим.	Арк.	№ докум.	Підпис	Дата		57

не передбачено профілактичний технологічний захист, складні технології дозволяють здійснювати напади на обладнання та програмне забезпечення у вбудованих системах. Атаки варіюються від цільової модифікації до повного зворотного проектування та піратства продуктів. У запропонованій системі досліджуються способи нападів, а також заходи захисту, які вважаються для боротьби з піратством продукції технологічними засобами. Запропоновано нову техніку водяного маркування, яка використовує бічні канали як будівельний блок, який можна легко та надійно виявити методами, адаптованими з аналізу бічних каналів. Апаратним заходом є вбудовування унікального сигналу в бічний канал пристрою, який служить водяним знаком. Це змушує дизайнерів перевіряти водяні знаки в інтегрованій мікросхемі. Запропоновані водяні знаки реалізовані програмовано для витоку цифрового підпису. Запропонована методика вимагає переписування вихідного коду та додавання шістнадцяткових кодів у мовних перетвореннях. Система програмного забезпечення в реальному часі використовує різноманітні методи захисту коду. Більшість із цих методів вимагають певних модифікацій у вихідному коді та можуть бути неефективними для того, щоб мати різноманітні атаки. Виявлення обладнання є одним із ефективних методів порівняно з вищезгаданим програмним методом. Але все ж апаратні методи також мають недоліки, такі як дизайнеру потрібно модифікувати апаратне забезпечення процесора, що, як правило, непросто. Методи обфускування перетворюють програму з її початкової форми в нову форму, яку легко зрозуміти без зміни функції програми. Тут мета полягає в тому, щоб збити з пантелику зловмисника, і це збільшить труднощі зворотної інженерії. Недоліком методів обфускування є відсутність теоретичної основи, тому вона не може оцінити ефективність заходів кількісно.

Програмування знаку плагресиму в даний час пов'язане з рядками ваги Хеммінга. План можна скоротити трьома кроковими інструментами: По-перше, потік виконання першого програмування відображається на рядку ваг Хеммінга. Це визнається або шляхом вимірювання та оцінки використання енергії

виконання, як було виражено вище, або шляхом повторного введення в дію потоку виконання та фігурування ваг Хеммінга. Другий крок - записати потужний натяк на підозрілий гаджет, щоб додатково отримати рядок ваг Хеммінга, позначених як "t". Узгоджений дублікат рядка буде розпізнаний на третьому кроці, поглянувши на два рядки s і t. Збалансований дублікат є захопленим припущенням щодо порушення програмних прав на авторські права, а згодом їх легко відрізнити. Перевірка популяції бітового рядка часто потрібна в криптографії та інших програмах. ДРА заснований на алгоритмі та його потужності, що споживається процесором. Щоб виявити водяний знак, слід перевірити значення потужності для різних значень. Комбінуючи різні функції з вхідними значеннями та клавішею з водяними знаками, користувач може перевірити та обчислити правильне припущення. Розрахунок водяного знака та його енергетичного сліду базується на тактовому циклі. Сліди повинні бути належним чином синхронізовані, щоб уникнути небажаного шуму при аналізі бічних каналів.

Перетворення символів для шифрування є несумісним. Шифрування вимірюється блоком 16 С / 128 біт. Персонажі піддаються транспозиції, а метод заміщення використовується багатовимірним масивом. Для блоку, який створює перехідний результат відповідної довжини, буде створено одноразовий під ключ. Ітерації шифрування виконуються за допомогою комбінації попереднього текстового блоку та простого тексту з 8 бітами С / 64, що дає 192 біти, і це буде теперішній блок тексту, який створює новий 24-символьний текстовий блок. Ця ж методика застосовується, поки вона не дає блоку 256 біт, і цей біт буде виконуватися операція XOR з попередніми 256 бітами, відмінними від першого блоку, якщо в простому тексті більше 32 біт. Ті ж 256 біт над якими виконувалася операція XOR з останніми 256 бітами, крім першого блоку, якщо є більше 32 символів. В обох методах, якщо зловмисник знає внутрішні комбінації стану, легко розкрити водяний знак та використовувані інструкції. Система архітектури пропонується з двома різними рівнями аутентифікації. Перший рівень визначає зміни в мові збірки з водяними знаками та забезпечує надійність. Другий рівень

									ВКРМ-123.21.0012.00.00.ПЗ	Арк.
Вим.	Арк.	№ докум.	Підпис	Дата						59

визначає важливість споживання електроенергії в кодї, що впливає, для підтвердження права власності. На малюнку 4.5 показано основний рівень захисту для виявлення крадіжок програмного забезпечення з незначними змінами коду рівня складання. Водяний знак програмного забезпечення бічного каналу складається з кількох інструкцій, які вставляються в код рівня складання. Ці інструкції передбачають зміни в машинному циклі та енергоспоживанні процесора, а розкрадання може бути виявлено надійним перевіряючим методами, дуже схожими на класичні атаки бічних каналів. На рисунку 4.5 зображено код архітектури системи - водяний знак.[48]

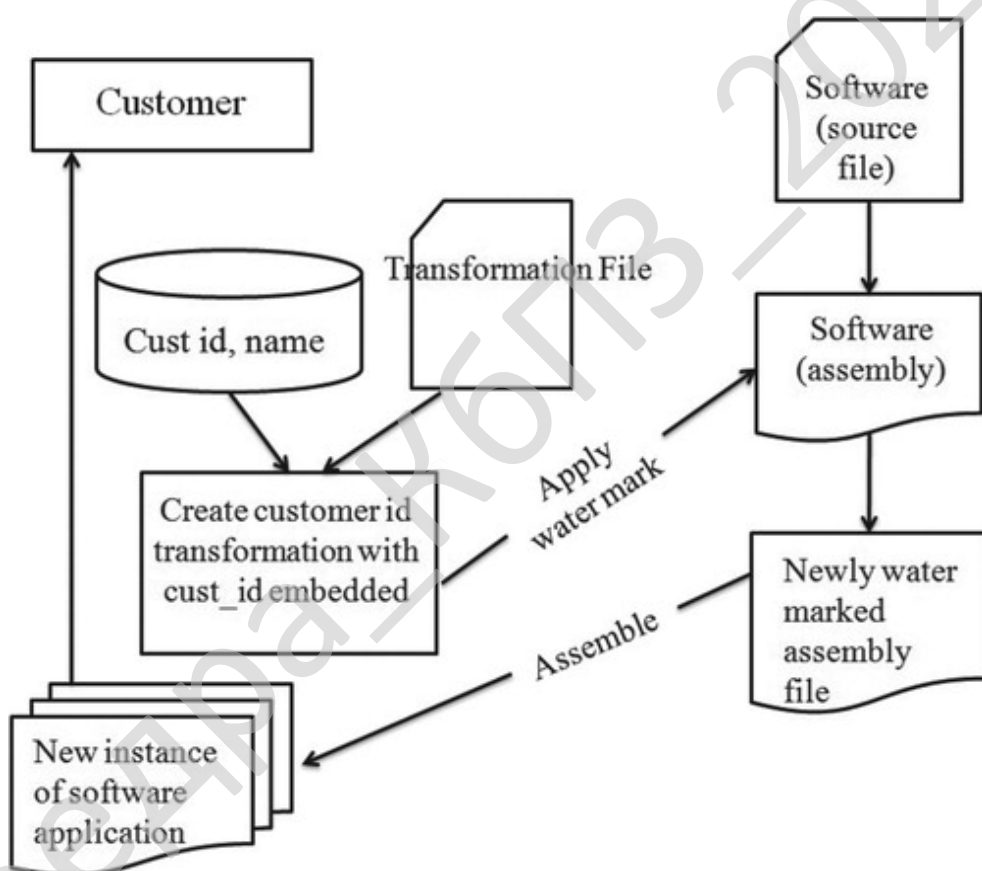


Рисунок 4.5 – Зображення коду архітектури системи - водяний знак

Від виробника мікроконтролерів STM32 передбачений захист від зчитування програми з пам'яті МК. Даний захист працює наступним чином. А саме блокую доступ до пам'яті програм вбудованому завантажувачу та при спробі

випадку це SWD. SWD [49] потребує підключення всього лиш двох сигнальних дротів та двох дротів живлення. Інтерфейс SWD ще зручний тим що дозволяє проводити внутрішньо схемне відлагодження програми пристрою. На рисунку 4.6 зображено вікно Option Bytes.

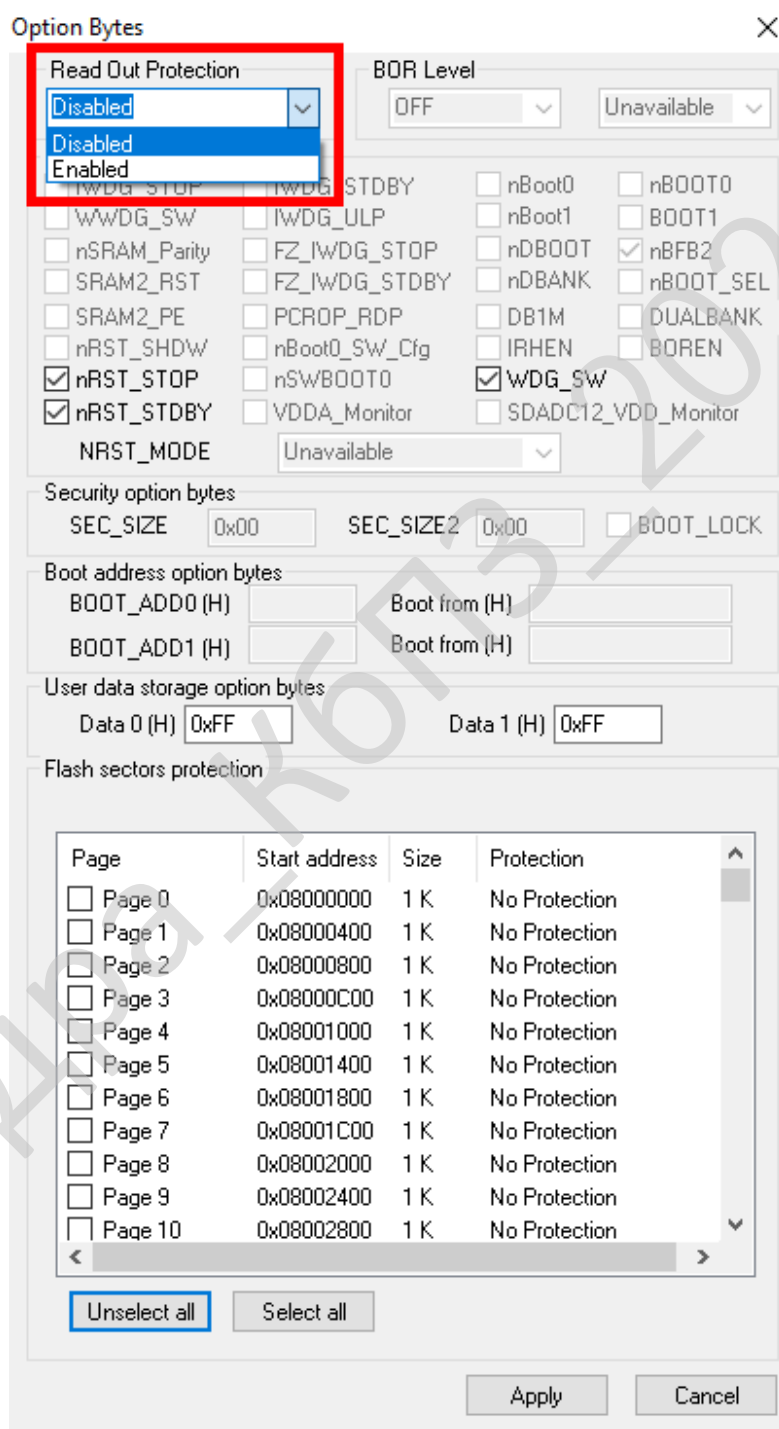


Рисунок 4.6 – Вікно Option Bytes

5 МЕТОДИКА ВПРОВАДЖЕННЯ СИСТЕМИ В ПРОМИСЛОВУ ЕКСПЛУАТАЦІЮ

При використанні промислового зразка розробленої системи потрібно мати комп'ютерний пристрій який може передавати цифровий сигнал.

Пристрій повинен бути оснащений засобами Bluetooth, Wi-Fi або радіомодулем. Апаратно програмний модуль як група, що складається з двох об'єктів які пов'язаних між собою або загальним пін кодом або вписаними у програмний код однаковими початковими даними:

- Початкова точка відліку координати по x, y та
- Напрямок куту напрямку руху.

Пристрій повинен бути оснащений модулем RTC який здійснює синхронізацію прийому та передачі пакетів.

Для захисту прошивки від зчитування кул-хакерами при завантаженні керуючої програми необхідно встановити біт захисту від зчитування. В разі спроби читання програми мікроконтролер очистить всю пам'ять програм. Після цього пристрій не буде працювати.

Перевірка здійснення шифрування та дешефрування виконується за допомогою зовнішнього ПК через який послідовно за таймером передаються повідомлення однакового змісту від пристрою до пристрою. Після чого повідомлення перевіряються на помилки.

Впровадження у виробництво можливе у декількох варіантах:

- Продаж запрограмованого мікроконтролера з встановленим бітом захисту від зчитування керуючої програми.
- У вигляді невеликого модуля який виступає UART – UART мостом.
- У вигляді модуля який має в собі радіомодуль з підключенням до схеми користувача по UART або USB інтерфейсу.
- У вигляді модуля з аналоговим входом та аналоговим виходом.

					ВКРМ-123.21.0012.00.00.ПЗ	Арк.
Вим.	Арк.	№ докум.	Підпис	Дата		64

Розглянемо функціональну схему варіанта використання у вигляді запрограмованого мікроконтролера з захищеною пам'яттю програми. На рисунку 5.1 зображено функціональну схему МК який виступає мостом між різними інтерфейсами.

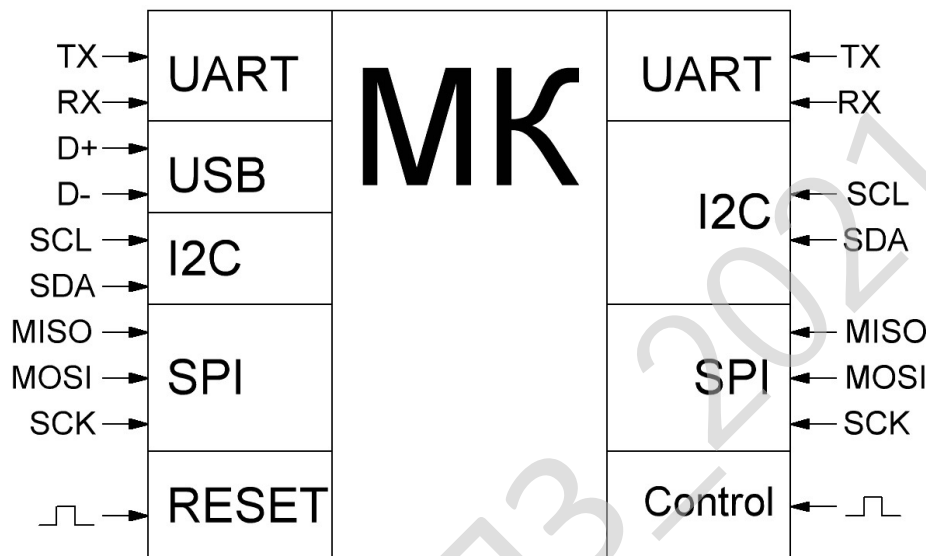


Рисунок 5.1 – Функціональна схема моста на основі МК

Такий міст повинен шифрувати та розшифровувати трафік даних який проходить через нього. З рисунку 5.1 видно що МК має декілька входних та декілька вихідних інтерфейсів передачі даних. Це дозволяє з легкістю адаптувати МК з алгоритмом шифрування у будь яку систему передачі даних. Також на схемі вказано сигнал контролю за допомогою якого користувач матиме змогу вибрати потрібні йому інтерфейси. Отже такий варіант виступає у вигляді моста між декількома інтерфейсами. Але якщо користувач потребує одразу в передачі даних через радіоканал то необхідно використати варіант модуля з МК радіомодуля. Такий варіант одразу передбачає передачу даних між двома пристроями через радіоканал, що на сьогоднішній день є дуже актуальним. Функціональна схема модуля МК з радіомодулем зображена на рисунку 5.2

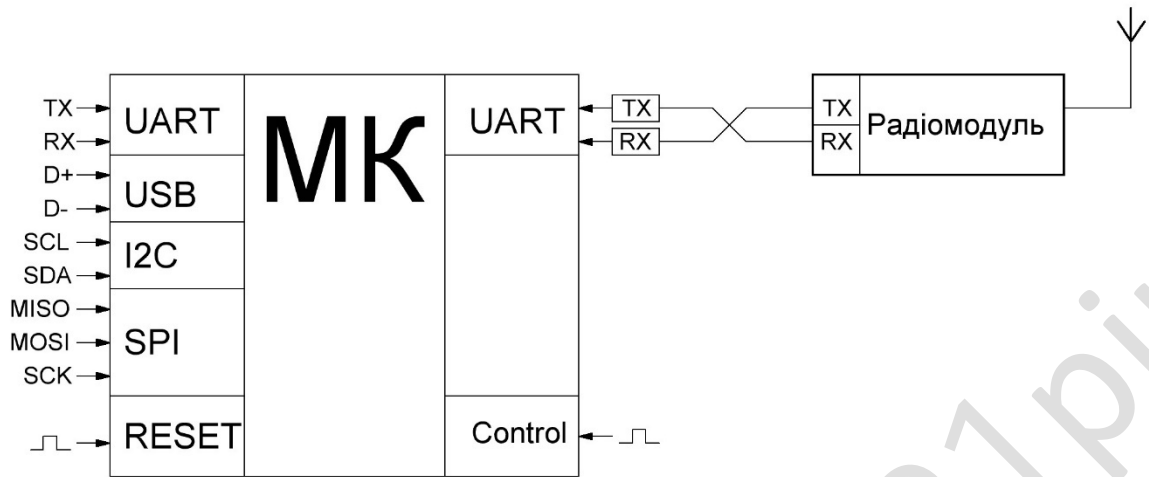


Рисунок 5.2 - Функціональна схема модуля на основі МК та радіомодуля

Але якщо потрібна шифрована передача даних на основі старих аналогових комунікацій можливий варіант передачі даних через модуль який сприймає аналоговий сигнал відцифровує його через аналогово-цифровий перетворювач (АЦП) шифрує та перетворює в аналоговий сигнал через цифро-аналоговий перетворювач (ЦАП). Функціональна схема модуля з аналоговим вводом та виводом зображена на рисунку 5.3.



Рисунок 5.3 - Функціональна схема модуля з аналоговим вводом та виводом

Отже система на основі шифрованої передачі даних може мати будь який вигляд.

6 НАУКОВА НОВИЗНА

Перевага даного алгоритму в тому що його можна використовувати на будь-якій платформі. На сьогоднішній день вже існують мікроконтролери з вбудованими блоками криптографії. Вони коштують набагато більше відносно контролерів загального призначення, а також є вже добре вивченими зловмисниками.

Наукова новизна отриманих результатів полягає в тому, що:

- вперше застосовано для шифрування трафіку алгоритм шифрування побудований на засадах хаотичного (ентропійного) математичного більярду;
- досліджено та промодельовано швидкість шифрування та дешифрування, стійкість проти впливу зовнішніх факторів на реальних пристроях зокрема на ARM мікроконтролерах;
- алгоритм і ПЗ можуть бути використані в системах швидкої передачі повідомлень як по цифрових так і по аналогових каналах зв'язку.

Впровадження у інші системи можливе у вигляді як заздалегідь запрограмованого мікроконтролера так і у вигляді модуля. У випадку з заздалегідь запрограмованим мікроконтролером користувач просто монтує мікросхему у свою систему. Для аналогової передачі можливе використання окремого модуля з аналоговим входом та аналоговим виходом адаптованими по стандарту використовуюваного обладнання. При необхідності цифрової передачі можливе використання окремого модуля з мікроконтролером та радіомодулем. На основі алгоритму можливо виготовити пристрій який буде підключатися до ПК та просто генерувати випадкову послідовність чисел передаючи в порт ПК. Головною перевагою розробленого проекту – це безпечна шифрована передача даних різними каналами зв'язку. Можлива адаптація до старих аналогових систем зв'язку. На основі даної інформації можна зробити висновок, що алгоритм не потребує значних обчислювальних ресурсів для реалізації та окремих апаратних спеціалізованих блоків.

										Арк.
										67
Вим.	Арк.	№ докум.	Підпис	Дата	ВКРМ-123.21.0012.00.00.ПЗ					

7 ДАНІ ПРО ЕКОНОМІЧНУ ЕФЕКТИВНІСТЬ РОЗРОБЛЕНОЇ ПРОГРАМИ

7.1 Техніко-економічне обґрунтування теми дипломного проекту

Після ознайомлення з підприємством та засобами розробки програмної продукції був розроблений план розробки програми. Був підрахований необхідний час для розробки та впровадження програми. Цей час склав 60 днів (три місяці).

В магістерській роботі було проведено дослідження та виконана програмна реалізація шифрованого трафіку через аналоговий тракт.

Розроблене програмне забезпечення має достатню надійність і задовольняє усім поставленим умовам, а саме:

- а) невеликий розмір;
- б) невеликі системні потреби;
- в) незалежність від встановлених на комп'ютері баз даних;
- г) зручність у користуванні та надійність.

Таблиця 7.1 – Початкові дані

Показники	Позначення	Характеристика або величина
1	2	3
Кількість розроблених програм період, шт.	N	1
Кількість екземплярів програм, шт.	Ne	120 (2 ост. цифри № зал*10 ¹)
Запланований термін розробки, днів	Fp _q	60 (3 місяці)
Група задачі підсистеми управління (1-6)	–	1
Ступінь новизни задачі (А, Б, В, Г)	–	Б
Складність алгоритму (1, 2, 3)	–	2

Продовження таблиці 7.1

1	2	3
Кількість макетів вхідної інформації	–	3
Кількість форм вихідної інформації.	–	4
Мова програмування (1-6)	–	2
Попередній досвід (1-6)	–	3
Гнучкість проекту ПП (1-6)	–	3
Детальність проекту ПП (1-6)	–	2
Рівень спрацьованості колективу (1-6)	–	2
Ступінь вимірності процесів (1-6)	–	3
Необхідна надійність програмного забезпечення (1-6)	–	2
Розмір бази даних (порівняно з розміром програми) (1-6)	–	2
Складність кінцевого програмного продукту (1-6)	–	2
Необхідний рівень забезпечення повторного використання (1-6)	–	2
Документованість відповідно до планованого життєвого циклу (1-6)	–	2
Вимоги до швидкодії ПП (1-6)	–	2
Обмеження на розміри основного сховища даних (1-6)	–	2
Різноманітність використовуваних обчислювальних платформ (1-6)	–	2
Професійний рівень аналітиків (1-6)	–	2
Професійний рівень програмістів (1-6)	–	2
Постійність складу команди розробників (1-6)	–	2
Досвід розробки додатків (1-6)	–	2
Досвід роботи з обчислювальною платформою (1-6)	–	2

Вим.	Арк.	№ докум.	Підпис	Дата

ВКРМ-123.21.0012.00.00.ПЗ

Арк.

69

Продовження таблиці 7.1

1	2	3
Досвід роботи з мовою і інструментами середовища розробки (1-6)	–	2
Досвід роботи з програмними інструментами розробки (1-6)	–	3
Розробка ПЗ для декількох серверів одночасно (1-6)	–	2
Вимоги до дотримання встановленого графіка робіт (1-6)	–	2
Вартість ПЗ у розробника (НМА), грн.	–	120000 (2 ост. цифри № зал*10 ⁴)
Норматив додаткової зарплати, % :	Н _д	10
Норматив відрахувань у соціальні фонди, %	Н _с	22
Норматив загальногосподарських витрат, %	Н _г	15
Норматив витрат на освоєння нових мов програмування, %	Н _п	15
Рівень рентабельності програмної продукції, %	Р _е	50
Ставка податку на додану вартість, %	Н _{дв}	20

7.2 Розрахунок трудомісткості розробки програмної продукції

Значення трудомісткості розробки програмного забезпечення для стадій ТЗ, ЕК, ТП та ВП визначаємо по типовим нормам часу приведеним в додатках МВ. Стадія РП є найбільш тривалою і трудомісткою, що робить значний вплив на інші стадії проекту.

Визначимо трудомісткість розробки ПЗ для стадії РП.

Обчислюємо номінальні трудовитрати, люд-міс.:

$$T_{ном} = A \text{ Size}^B, \quad (7.1)$$

де: A – коефіцієнт Боема, $A = 2,45$;

										Арк.
										70
Вим.	Арк.	№ докум.	Підпис	Дата						

Size – загальний об'єм відлагодженого програмного коду, тис. рядків;

B – показник ступеня, що визначається співвідношенням:

$$B = 1,01 + 0,001 \sum W_i, \quad (7.2)$$

де: W_i – сумарне значення п'яти показників (МВ, додаток 2), що відображають особливості розробки проекту програмного продукту (ПП) і колективу розробників.

$$B = 1,01 + 0,001(2,43 + 3,64 + 3,38 + 3,95 + 2,73) = 1,027.$$

$$T_{ном} = 2,45 \cdot 2,7^{1,026} = 6,78 \text{ люд-міс.}$$

Визначаємо уточнені (з урахуванням приведених в МВ додатку 3 сімнадцяти додаткових коефіцієнтів) трудовитрати, люд-міс.:

$$T_{уточн} = T_{ном} PV_j, \quad (7.3)$$

де: PV_j – добуток сімнадцяти додаткових коефіцієнтів, приведених в МВ додатку 3.

$$T_{уточн} = 6,78 \cdot (0,88 \cdot 0,93 \cdot 0,88 \cdot 0,91 \cdot 0,95 \cdot 1 \cdot 1 \cdot 0,87 \cdot 1,22 \cdot 1,16 \cdot 1,1 \cdot 1,1 \cdot 1,12 \cdot 1,1 \cdot 1,1 \cdot 1,1) = 9,37 \text{ люд-міс.}$$

Ці коефіцієнти дозволяють диференційовано оцінювати результати роботи програмістів, беручи до уваги швидкість програми, використання різноманітних обчислювальних платформ і інструментів розробки, взаємодію декількох серверів, вимоги до об'ємів баз даних і ін.

Визначаємо підсумкові трудовитрати по стадії робочий проект, люд-дні:

$$T_{РП} = 0,3CT_{уточн}^{0,33+0,2(B-1,01)} S, \quad (7.4)$$

де: C – визначений емпірично коефіцієнт, запропонований авторами методики, (МВ, додаток 4);

S – коефіцієнт стиснення (або подовження) графіка робіт %, що дозволяє коректувати терміни розробки ПЗ згідно встановленим вимогам. Вибираємо в межах (25...350)%.

$$T_{РП} = 0,3 \cdot 2,66 \cdot 9,37^{0,33+0,2(1,026-1,01)} \cdot 100 = 168 \text{ люд/день.}$$

										Арк.
										71
Вим.	Арк.	№ докум.	Підпис	Дата	ВКРМ-123.21.0012.00.00.ПЗ					

Для зручності визначення загальної трудомісткості на розробку програмного забезпечення результати розрахунків по стадіям зводимо до таблиці 7.2.

Таблиця 7.2 – Визначення трудомісткості розробки програмного забезпечення

Стадії розробки	Трудомісткість за типовими нормами та розрахунками	
	Величина, люд/дні	Підстава
Технічне завдання	9	Д5
Ескізний проект	10	Д6
Технічний проект	9	Д7
Робочий проект	168	Ф 7.1-7.4
Впровадження	13	Д13
Всього	209	–

7.3 Визначення чисельності виконавців і планового фонду зарплати

Чисельність ставок інженерів-програмістів для розробки програмного забезпечення визначається за формулою:

$$Ч = \frac{T_{nz} N}{F_{pq} - H_{ev}}, \quad (7.5)$$

де: F_{pq} – плановий фонд робочого часу одного спеціаліста, днів;

T_{nz} – трудомісткість розробки програмного забезпечення люд-дні.

$$Ч = \frac{209 \cdot 1}{60 - 5} = 3,8 \text{ ставки.}$$

Чисельність інженерів-електронщиків для проведення технічного обслуговування та ремонту комп'ютерних мереж визначається в залежності від наявності технічних засобів і норм витрат часу на виконання профілактичних робіт на протязі року.

					ВКРМ-123.21.0012.00.00.ПЗ	Арк.
Вим.	Арк.	№ докум.	Підпис	Дата		72

Визначаємо затрати часу на виконання профілактичних робіт по обслуговуванню обладнання за період розробки. Результати розрахунку зводимо до таблиці 7.3.

Таблиця 7.3 – Затрати часу на виконання профілактичних робіт по обслуговуванню обладнання за розрахунковий період

Найменування обладнання	Профілактичне обслуговування			
	Кількість хв. на один. обл.	Кількість обладнання	Затрати часу в хв.	Затрати часу в год.
Системний блок ПК	385	12	4620	77
Монітор	160	12	1920	32
Клавіатура	140	12	1680	28
Маніпулятор «мишка»	30	12	360	6
Принтер матричний	185	1	185	3
Принтер лазерний	355	2	710	12
Принтер струминний	300	1	300	5
Сканер	155	2	310	5
Концентратор–маршрутизатор	155	2	310	5
Кабельні господарства ЛВС на 1 м. п.	2,5	100	250	4
Кабельне господарство електромережі	48	50	2400	40
Копіювальний апарат	285	2	570	10
Усього за рік:			3 _ч	227

Час на профілактику обладнання в загальному балансі робочого часу інженерів-електронщиків не повинен складати більше 10%.

Виходячи з цього фонд робочого часу інженерів-електронщиків складає:

$$\Phi_{\text{др}}^c = \frac{3_{\text{ч}} \cdot n_{\text{міс}}}{1,2}, \quad (7.6)$$

$$\Phi_{\text{др}}^c = \frac{227 \cdot 3}{1,2} = 567,5 \text{ год.}$$

Визначаємо необхідну кількість ставок штатного персоналу сектора ТО:

$$Ч_{\text{ел}} = \frac{\Phi_{\text{др}}^c}{F_{\text{др}} \cdot T_{\text{зм}}}, \quad (7.7)$$

$$Ч_{\text{ел}} = 567,5 / (60 \cdot 8) = 1,2 \text{ ставки.}$$

Для забезпечення нормального технічного обслуговування засобів ТО та мереж, необхідно прийняти найбільше ціле значення розрахункової чисельності інженерів-електронщиків.

Чисельність інженерів-системотехніків, адміністраторів мережі, дизайнерів WEB вузлів, системних програмістів (аналітиків), бухгалтерів-економістів визначається за потребою в залежності від функціональних обов'язків. Після визначення чисельності персоналу складається штатний розклад.

Таблиця 7.4 – Розрахунок чисельності штатного персоналу сектору системного та адміністративного обслуговування засобів ОТ та комп'ютерних мереж

Посада	Вид роботи	Час	К-ть штатних одиниць
Адміністратор загальної мережі, аналітик	Адміністрування локальної мережі, поштового та серверу DNS (OC FreeBSD), маршрутизатора Cisco, доменного контролера Windows Server 2016, серверу доступу ADSL (OC Linux), налаштування ADSL, VPN, PPPoE, Frame Relay, Wi-Fi	2	0,5
	Налаштування і конфігурування базової станції безпроводного зв'язку (CMTS)	0,5	
	Розробка та впровадження проектів з організації зв'язку між віддаленими об'єктами, ЛОМ	0,5	
	Забезпечення цілодобової роботи зв'язку клієнтів до мережі Інтернет	1	
Всього		4	

Продовження таблиці 7.4

Посада	Вид роботи	Час	К-ть штатних одиниць
Продакт-менеджер	Презентації нової продукції, пошук каналів збуту	1	0,25
	Підтримка постійних клієнтів	0,5	
	Оформлення договорів, ведення тендерів	0,25	
	Контроль взаєморозрахунків з постачальниками	0,25	
Всього		2	
Дизайнер WEB	Розробка концепції оформлення та інтерфейсу сайту, оптимізація дизайну існуючих, проектує їх структуру та навігацію	1	0,25
	Створення графічних і стилістичних елементів сайту	0,5	
	Оформлення банерів і промо-сторінок	0,25	
	Розміщення графіки і контенту на Інтернет сторінках	0,25	
Всього		2	
Інженер верстальник	Розробка та верстка макетів рекламної продукції та технічної документації	1	0,25
	Верстка друкованих видань	0,5	
	Додрукова підготовка макетів	0,25	
	Розміщення графіки і контенту на Інтернет сторінках	0,25	
Всього		2	

Вим.	Арк.	№ докум.	Підпис	Дата

ВКРМ-123.21.0012.00.00.ПЗ

Арк.

75

Таблиця 7.6 – Специфікація

Найменування комплектуючої або обладнання	Тип	Оптова ціна
Персональний комп'ютер		10947
Системний блок		7347
Процесор	Intel Core i7 860 8*3.5GHz/8MB/2.5GTs 870 s1156, box	1750
Системна плата	MB MSI H55M-E33 s1156 mATX (H55M-E33)	1200
Відеокарта	VC VTX Radeon HD6570 1GB GDDR3, 128bit, 650 MHz/1334 MHz, PCI-E 2.1, DVI, HDMI, VGA (VX6570 1GBK3-H)	750
Жорсткий диск	HDD: 320 Gb 7200 Serial ATA WD 16MB	1200
Оперативна пам'ять	DIMM 2048Mb DDR3 PC3-12800 Patriot, 1600Mhz, CL9, (9-9-9-28), 1.5V, Retail (PSD32G16002H) 2 модуля	900
DVD-привод	DVDRW Pioneer DVR-TD10RS SATA Slim Black Bulk (DVR-TD10RS)	416
Корпус	ATX Middle Tower FOXCONN Pro, 3GTLA-489, PSU 350W(FSP Brand: ATX-350PNR, 12cm), black, (front bezel – black+light silver; body material – 0.6mm), 80mm fan (rear), 2xUSB2.0/AUDIO/MIC, Air Duct, Tool-less chassis design, Thermally Advantaged Chassis	911

Продовження таблиці 7.6

Найменування комплектуючої або обладнання	Тип	Оптова ціна
Кулер	–	–
Кардрідер внутрішній	USB 2.0 Card reader STORM CR -35U1A4-B, int. 3.5", 1*USB2.0+AUDIO+1394, multi: All Type Cards, black	220
Інше	Клавіатура, мишка	Подарунок
Монітор	22" TFT, ASUS VW223D (5ms, 300/3000: 1, 170/160, D-SUB, Wide)	3600
Принтер лазерний	Canon i-SENSYS LBP6030W	2700
Принтер струминний	Epson Stylus Photo P50 (C11CA45341) + USB cable	5500
Копіювальний апарат	Canon i-SENSYS MF217W with Wi-Fi	5965

Таблиця 7.7 – Балансова вартість обчислювальної техніки

Найменування обчислювальної техніки	Кількість, шт.	Ціна за одиницю, грн.	Витрати на транспортування, монтаж та випробування.	Загальна вартість, грн.
Персональні комп'ютери	15	10947	16420,5	180625,5
Принтер лаз.	2	2700	540	5940
Принтер струм.	1	5500	550	6050
Сканери	-	-	-	0
Копіюв. апарат	1	5965	596,5	6561,5
Всього	–	–	–	199177

Витрати на транспорт, монтаж та випробування можуть бути прийняті в межах до 10% від оптової ціни.

Для визначення необхідної кількості капітальних вкладень складемо таблицю 7.8.

Таблиця 7.8 – Вартість основних фондів та амортизаційні відрахування розробника

Групи та види основних фондів	Балансова вартість, грн.	Амортизація	
		Норма, %	Відрахування, грн.
1	2	3	4
Група 3			
Будівлі	1280000	-	-
Передавальні пристрої	128000	-	-
Всього по групі	1408000	5	70400
Група 4			
Обчислювальна техніка	199177	-	-
Всього по групі	199177	50	99588,5
Група 5, 6			
Вимірювальні пристрої	5190	25	1297,5
Транспортні засоби	0	20	0,0
Господарський інвентар	28000	25	7000
Всього по групі	33190	-	8297,5
Нематеріальні активи	120000	10	12000
Разом	$K_p = 1760367$		$A_p = 190286$

Таблиця 7.11 – Розрахунок експлуатаційних витрат у споживача програмної продукції

Найменування статей витрат	Позначення	Сума витрат за варіантами, грн.	
		Базовий	Новий
1. Витрати на обслуговування системи	Z_p	15190	1519
2. Витрати на електроенергію	$Z_{ел}$	227	157
Витрати на амортизацію	$Z_{ам}$	0	707
Всього витрат за рік	I	15417	2383

Витрати на профілактичні роботи:

$$Z_p = T_p \cdot Z_z \cdot (1 + 0,01 \cdot H_q) \cdot (1 + 0,01 \cdot H_c), \quad (7.23)$$

де: T_p – кількість годин обслуговування кожного комп'ютера за рік, год.;

Z_z – заробітна плата обслуговуючого персоналу, грн/год.

Після купівлі нового програмного забезпечення витрати на обслуговування системи з 15190 грн до 1519 грн на рік.

Витрати по амортизації визначаються на основі норм амортизаційних відрахувань, вартості програмної продукції і основних фондів. Для розрахунку складаємо таблицю 7.12.

Таблиця 7.12 – Розрахунок амортизаційних відрахувань

Групи основних фондів	Норма амортизації %	Балансова вартість, грн., за варіантами		Сума відрахувань, грн., за варіантами	
		Базовий	Новий	Базовий	Новий
Програмна продукція	25	–	2826	–	706,5
Всього відрахувань	-	–	2826	–	706,5

де: I_b, I_n – величина експлуатаційних витрат за базовим и новим варіантом відповідно;

K_b, K_n – об’єм капітальних вкладень за варіантами, що порівнюються.

$$E_{cn} = (15417 - 2383) - 0,25 \cdot 2826 = 12327,5 \text{ грн.}$$

Показники економічної ефективності програмної продукції зводимо до таблиці 7.13.

Таблиця 7.13 – Показники економічної ефективності програмної продукції

Найменування показників	Одиниця виміру	Величина
1. Кількість екземплярів програми	Прим.	120
2. Повна собівартість розробленої програми	Грн.	1570
3. Ціна розробленої програми	Грн.	2355
4. Плановий прибуток від реалізації розробленої програми	Грн.	785
5. Рентабельність програмної продукції	%	50
6. Об’єм додаткових капітальних вкладень у виробника програмної продукції	Грн.	1760367
7. Загальний прибуток від реалізації програмної продукції	Грн.	94200
8. Величина економічного ефекту при виготовлені програмної продукції	Грн.	51608
9. Період окупності додаткових капітальних вкладень у виробника програмної продукції	Роки	4,6
10. Об’єм додаткових капітальних вкладень у споживача програмної продукції	Грн.	2826
11. Величина економічного ефекту у користувача програмної продукції	Грн.	12327,5
12. Період окупності додаткових капітальних вкладень у користувача програмної продукції	Років	0,2

Вступ

«З давніх давен людство приділяє прискіпливу увагу безпеці життя і охорони праці як її складової частини. Умови праці розглядали Арістотель (384-322 до н.е.) та Гіппократ (460-377 до н.е.)» [54].

Законом України “Про охорону праці” [53] регламентуються загальні положення державної політики в галузі охорони праці, а конкретизуються ці положення нормативно-правовими актами про охорону праці, зокрема Наказом Міністерства соціальної політики України 14.02.2018 № 207, який зареєстровано в Міністерстві юстиції України 25 квітня 2018 р. за №508/31960 «Про затвердження Вимог щодо безпеки та захисту здоров’я працівників під час роботи з екранними пристроями» [55], яким затверджено нормативно-правовий акт з охорони праці НПАОП 0.00-7.15-18, «Правила охорони праці під час експлуатації електронно-обчислювальних машин», та «Державні санітарні правила і норми роботи з візуальними дисплейними терміналами електронно-обчислювальних машин» ДСанПіН 3.3.2-007-98 [52].

При розгляді шкідливих чинників роботи програмістів та інших спеціалістів будемо керуватись наступними нормативно-правовими актами: «Державні санітарні правила і норми роботи з візуальними дисплейними терміналами електронно-обчислювальних машин» ДСанПіН 3.3.2-007-98 [52], та «Вимоги щодо безпеки та захисту здоров’я працівників під час роботи з екранними пристроями» НПАОП 0.00-7.15-18.

Умови праці програміста включають наступні фактори:

БЕЗПЕКИ

Вид	Арк.	№ докум.	Підпис	Дата

ВКРМ-123.21.0012.00.00.ПЗ

У приміщенні знаходяться наступні джерела шуму: принтер Epson L3151 Wi-Fi, електродвигуни вентиляторів ЕОМ.

О

З 2019 року діють Державні будівельні норми України “Природне і штучне освітлення” – ДБН В.2.5-28:2018 [51], у яких прописані вимоги до використання всіх освітлювальних приладів, у т.ч. світлодіодних.

Працю працівника, який постійно працює за комп’ютером, згідно ДБН В.2.5-28:2018 (розрізнення від 1 до 5 мм) V-го розряду зорової роботи, з великою контрастністю об’єкта розрізнення (символів на екрані дисплея), з темним тлом (під розряд зорової роботи В). Приміщення можна віднести до 1-ої групи приміщень, у яких проводиться розрізнення об’єктів зорової роботи при фіксованому напрямку лінії зору того, що працює на робочу поверхню. Для такого типу приміщень і розряду зорової роботи нормоване значення коефіцієнта природної освітленості (КПО) на робочій поверхні (при поєднаному, спільному освітленні), повинен становити не більше 1,5%, освітленість при штучному висвітленні повинна становити 300 Лк. Основна гігієнічна вимога. Так як яскраве світло на ділянці периферійного зору значно збільшує напруженість очей і, як наслідок, призводить до їх швидкої стомлюваності, ступінь освітлення приміщення і яскравість екрану комп’ютера повинні бути приблизно однаковими.

и

х

ф

а Розробка заходів з умов поліпшення охорони праці

к

т 3

р

р

р

Т

Р

Р

					ВКРМ-123.21.0012.00.00.ПЗ	Арк.
Вид	Арк.	№ докум.	Підпис	Дата		91

Так як при ураженні електричним струмом у людини може статися фібриляція шлуночків серця, в організації бажано мати дефібрилятор і підготовлений персонал для роботи з ним [57].

Р

о

з

П

Р

я

Для захисного штучного заземлення застосовуються вертикальні електроди металевого прутка діаметром 30 мм. ($D=30 \text{ мм.}=0,03 \text{ м.}$) довжиною $L=2,5 \text{ м.}$ та

я

Ф

Н

Н

Р

В

Т

Р

О

д

ρ

ρ

О

а

с

т

р

т

р

В

П

а

с

т

р

Г

У

Р

Н

Р

В

Т

Р

ρ

д

ρ

ρ

О

Частина

$$R_o = 0,366 \frac{\rho}{L} \left(\lg \frac{2L}{D} + \frac{1}{2} \lg \frac{4T+L}{4T-L} \right) = 0,366 \frac{54,5}{2,5} \left(\lg \frac{2 \cdot 2,5}{0,03} + \frac{1}{2} \lg \frac{4 \cdot 2,05 + 2,5}{4 \cdot 2,05 - 2,5} \right) = 20,1 \text{ Ом.}$$

В

В

В

В

о

Р

≈

е

М

ВКРМ-123.21.0012.00.00.ПЗ

Арк.

92

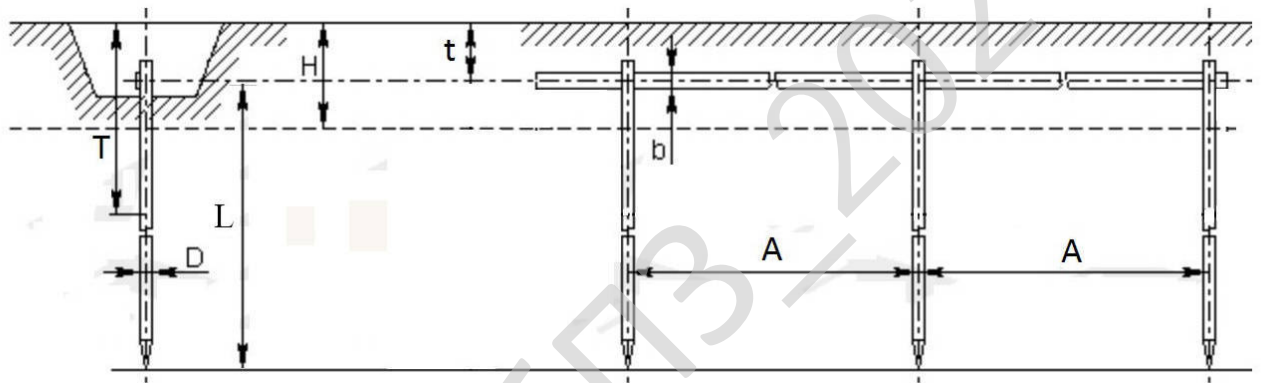
Д
е
а
н
т
а
е
л
ь

З

о
у

П
р
о
м
о
м
о
м
о
м
о
м
о
м

О
М



Р

Д
З

Кафедра КБЛБ/2021 рік

розділу

Заземлення				ВКРМ-123.21.0012.00.00.ПЗ		Арк.
Вид	Арк.	№ докум.	Підпис	Дата		93

9 ОСНОВНІ ВИСНОВКИ

В результаті дипломної роботи була розглянута та реалізована передача даних по радіоканалу для подальшого впровадження алгоритму шифрування.

В даній роботі було підготовлено програму передачі даних та апаратна реалізація. З програмної сторони було створено керуючу програму для мікроконтролера, яка повинна налагодити радіообмін даними через радіо модулі загального призначення.

Було створено макети, які передбачають обмін даними точка-точка з зв'язком через радіо модулі. Радіо модулі загального призначення на сьогоднішній день наявні в великому асортименті та коштують не дорого. Тому вартість побудованих пристроїв не велика. Але головна перевага – це безпечна шифрована передача даних різними каналами зв'язку. Також можлива адаптація до старих аналогових систем.

Впровадження у інші системи можливе у вигляді як заздалегідь запрограмованого мікроконтролера так і у вигляді модуля. У випадку з заздалегідь запрограмованим мікроконтролером користувач просто монтує мікросхему у свою систему. Якщо ж потрібна аналогова передача на вже існуючих системах можливо використання окремого модуля з аналоговим входом та аналоговим виходом адаптованими по стандарту використовуваного обладнання. При необхідності цифрової передачі можливе використання окремого модуля з мікроконтролером та радіомодулем.

Використання хаотичного більярда Сіная дуже перспективне в системах передачі даних.

					ВКРМ-123.21.0012.00.00.ПЗ	Арк.
Вим.	Арк.	№ докум.	Підпис	Дата		94

СПИСОК ВИКОРИСТАНИХ ДЖЕРЕЛ

1. Комп'ютерна безпека [Електронний ресурс]. Режим доступу: https://uk.wikipedia.org/wiki/Комп'ютерна_безпека.
2. Атака на ГПВЧ [Електронний ресурс]. Режим доступу: https://uk.wikipedia.org/wiki/Атака_на_ГПВЧ.
3. Гальперин Г.А., Земляков А.Н. Математические бильярдные задачи и смежные вопросы математики и механики – М.:Наука, 1990. – 288 с.
4. Ганапольский Е.М. О природе квантового хаоса в рассеивающей бильярдной K-системе / Е. М. Ганапольский // Доповіді Національної академії наук України. - 2012. - № 3. - С. 85-91.
5. Собінов О. Г. Простий генератор псевдовипадкової послідовності / О. Г. Собінов // Інформаційні технології та комп'ютерна інженерія : зб. тез доп. наук.-практ. конф., м. Кіровоград, 4 груд. 2014 р. – Кіровоград: КНТУ, 2014. – С. 184.
6. Новости электроники №10 (156), 2016 г. Информационно технический журнал. Учредитель – ООО «КОМПЭЛ».
7. Новости электроники №6 (44), 2012 г. Информационно технический журнал. Учредитель – ООО «КОМПЭЛ».
8. Ганапольский Е.М. О природе квантового хаоса в рассеивающей бильярдной K-системе / Е. М. Ганапольский // Доповіді Національної академії наук України. - 2012. - № 3. - С. 85-91.
9. Шифрування [Електронний ресурс]. Режим доступу: <https://uk.wikipedia.org/wiki/Шифрування>.
10. Кодування [Електронний ресурс]. Режим доступу: <https://uk.wikipedia.org/wiki/Кодування>.
11. Хеш-функція [Електронний ресурс]. Режим доступу: <https://uk.wikipedia.org/wiki/Хеш-функція>.
12. MAC-підпис [Електронний ресурс]. Режим доступу: <https://uk.wikipedia.org/wiki/MAC-підпис>.

						ВКРМ-123.21.0012.00.00.ПЗ	Арк.
Вим.	Арк.	№ докум.	Підпис	Дата			95

<https://uk.wikipedia.org/wiki/C%2B%2B>.

27. SWIM [Электронный ресурс]. Режим доступа:
<https://www.st.com/en/development-tools/st-link-v2.html>.

28. STSW-LINK004 [Электронный ресурс]. Режим доступа:
<https://www.st.com/en/development-tools/stsw-link004.html#overview>.

29. STM32 ST-LINK utility software description [Электронный ресурс].
Режим доступа: https://www.st.com/content/ccc/resource/technical/document/user_manual/e6/10/d8/80/d6/1d/4a/f2/CD00262073.pdf/files/CD00262073.pdf/jcr:content/translations/en.CD00262073.pdf.

30. Saleae Logic [Электронный ресурс]. Режим доступа: <https://www.saleae.com/ru/>.

31. Terminal program [Электронный ресурс]. Режим доступа:
<https://www.narom.no/undervisningsressurser/the-cansat-book/the-primary-mission/using-the-radio/terminal-program/>.

32. Прямий доступ до пам'яті [Электронный ресурс]. Режим доступа:
https://uk.wikipedia.org/wiki/Прямий_доступ_до_пам'яті.

33. Системи радіозв'язку [Электронный ресурс]. Режим доступа:
http://openarchive.nure.ua/bitstream/document/6788/1/SR_2.2_MR.pdf.

34. STM32F103C8 [Электронный ресурс]. Режим доступа:
<https://www.st.com/en/microcontrollers-microprocessors/stm32f103c8.html>.

35. ARM Cortex-M [Электронный ресурс]. Режим доступа:
https://en.wikipedia.org/wiki/ARM_Cortex-M.

36. JDY-40 2.4G wireless serial port transmission transceiver and remote communication module [Электронный ресурс]. Режим доступа:
<https://sunhokey.cn/collections/wifi-module/products/jdy-40-2-4g-wireless-serial-port-transmission-transceiver-and-remote-communication-module>.

37. Генератор псевдовипадкових чисел [Электронный ресурс]. Режим доступа: https://uk.wikipedia.org/wiki/Генератор_псевдовипадкових_чисел.

38. Синай Я. Г. Теория фазовых переходов: строгие результаты — М.:

										Арк.
										97
Вим.	Арк.	№ докум.	Підпис	Дата						

Додаток А
(обов'язковий)

Технічне завдання

Зміст

1 Найменування та область застосування.....	2
2 Підстава для розробки.....	2
3 Мета та призначення розробки.....	2
4 Джерела розробки.....	2
5 Технічні вимоги.....	2
5.1 Вміст проекту.....	2
5.2 Показники призначення.....	3
5.3 Вимоги до функціональних характеристик.....	3
5.4 Вимоги до архітектури.....	3
5.5 Вимоги до надійності.....	3
5.6 Умови експлуатації.....	4
5.7 Вимоги до складу та параметрів технічних засобів.....	4
5.8 Вимоги до інформаційної і програмної сумісності.....	4
5.8.1 Обладнання.....	4
5.8.2 Мова програмування.....	4
5.8.3 Вхідні дані.....	5
5.8.4 Вихідні дані.....	5
6 Вимоги до програмної документації.....	5
7 Економічні вимоги.....	5
8 Вимоги щодо охорони праці.....	5
9 Перелік документів, що розробляються.....	6
10 Етапи розробки.....	6
11 Порядок контролю та приймання.....	6

					ВКРМ-123.21.0012.00.00.ТЗ		
Вим.	Арк.	№ документа	Підпис	Дата			
Розробив	Майданик О.О.				Літ.	Аркуш	Аркушів
Перевірів	Минайленко Р.М.				М	1	6
Н. Контр.	Гермак В.С.				ЦНТУ КІ-20М		
Затв.	Смірнов О.А.						

1 Найменування та область застосування

Це технічне завдання розповсюджується на дослідження та програмну реалізацію системи шифрованого трафіку через аналоговий тракт.

2 Підстава для розробки

Підставою для розробки служить завдання на магістерську роботу, видане на кафедрі програмування та захисту інформації (нак. №42-13 від 02.08.2021 року).

3 Мета та призначення розробки

Метою магістерської роботи є дослідження та програмна реалізація системи шифрованого трафіку через аналоговий тракт.

4 Джерела розробки

Джерелом цієї магістерської роботи є стосовна до теми література і існуючі аналоги.

5 Технічні вимоги

5.1 Склад продукції

Складниками розробки є:

- вибір і обґрунтування методів реалізації проекту;
- розробка програмної частин системи, а також розробка взаємодії системи з ОС та з користувачем;

					ВКМР-123.21.0012.00.00.ТЗ	Арк.
Вим.	Арк.	№ документа	Підпис	Дата		2

- техніко-економічне обґрунтування доцільності прийнятого до розробки програмного забезпечення;
- аналіз умов праці;
- розробка програми, що реалізує спроектовані алгоритми роботи системи.

5.2 Показники призначення

Система повинна забезпечувати:

- системи шифрованого трафіку через аналоговий тракт;
- цілісність даних у процесі роботи та при зберіганні;
- простий, інтуїтивно зрозумілий інтерфейс.

5.3 Вимоги до функціональних характеристик

Розроблене програмне забезпечення не повинно мати обмежень на версію драйверів та операційної системи.

5.4 Вимоги до архітектури

Компонент, що розробляється повинен використовувати системні засоби та апаратні засоби, що на даному етапі розвитку обчислювальної техніки найбільше поширені.

5.5 Вимоги до надійності

Програмні модулі написані по всім правилам, які стосуються стандартних викликів процедур, функцій, методів і форм, визначених технічною документацією на середовище розробки.

					ВКМР-123.21.0012.00.00.ТЗ	Арк.
Вим.	Арк.	№ документа	Підпис	Дата		3

5.6 Умови експлуатації

Робочі місця користувачів ПЗ повинні задовольняти наступним умовам експлуатації:

- температура повітря: 19-20 град. по Цельсію;
- відносна вологість повітря до 80%;
- атмосферний тиск 107 кПа.

5.7 Вимоги до складу та параметрів технічних засобів

Програмне забезпечення повинно бути реалізоване на ПЕОМ архітектури IBM PC, працювати в ОС Windows 10 і з сумісними з цією платформою пристроями і прикладним програмним забезпеченням.

5.8 Вимоги до інформаційної і програмної сумісності

Переносність програмного забезпечення повинна бути забезпечена за рахунок його реалізації стандартного інтерфейсу взаємодії з ОС, що працюють під управлінням ОС Windows 10. Мікроконтролер STM32F103C8T6.

5.8.1 Обладнання

Комп'ютер Intel® Celeron/8 Mb/1.2 Gb/SVGA 14" 1Mb або сумісні з ним.

5.8.2 Мова програмування

Середовище STM32CubeIDE 1.1.0.

					ВКМР-123.21.0012.00.00.ТЗ	Арк.
Вим.	Арк.	№ документа	Підпис	Дата		2

5.8.3 Вхідні дані

Опис алгоритму роботи запропонованої системи.

5.8.4 Вихідні дані

Робоча програма.

6 Вимоги до програмної документації

Програмна продукція повинна бути представлена у виді опису структури даних, схем та опису алгоритму, а також текстів вихідних модулів програмного забезпечення згідно ЄСПД .

7 Економічні вимоги

7.1 Для ПЗ необхідно виробити функціонально-вартісний аналіз варіантів розробки.

7.2 Виконати розрахунок витрат показників економічного ефекту з урахуванням цін на 13 вересня 2021 року.

8 Вимоги щодо охорони праці

В частині охорони праці магістерської роботи повинна бути розглянута психофізіологічна сутність і структура виробничої діяльності з позиції дослідження інформаційного навантаження оператора ЕОМ.

					ВКМР-123.21.0012.00.00.ТЗ	Арк.
Вим.	Арк.	№ документа	Підпис	Дата		5

9 Перелік документів, що розробляються

- Наукова новизна – 1 аркуш.
- Структурна схема системи – 1 аркуш.
- Функціональна схема системи – 1 аркуш.
- Діаграма процесів – 1 аркуш.
- Блок-схема алгоритму роботи програми – 1 аркуш.
- Показники економічної ефективності – 1 аркуш.
- Пояснювальна записка – 102 аркушів.

10 Етапи розробки

10.1 Збір і обробка інформації по темі магістерської роботи. Постановка задачі на виконання магістерської роботи (складання ТЗ).

10.2 Проведення досліджень або експериментальних робіт для уточнення основних положень магістерської роботи.

10.3 Розробка функціональних схем, блок схем алгоритмів роботи програмного забезпечення.

10.4 Побудова схем взаємодії даних.

10.5 Створення прототипу ПЗ.

10.6 Віднаходження ПЗ, аналіз отриманих результатів.

10.7 Робота над питанням охорони праці і техніки безпеки.

10.8 Розрахунок з техніко-економічного обґрунтування.

10.9 Оформлення пояснювальної записки і виконання робіт по графічній частині.

11 Порядок контролю та приймання

11.1 Подання магістерської роботи на попередній захист 04.12.2021 р.

11.2 Подання магістерської роботи на захист 22.12.2021 р.

					ВКМР-123.21.0012.00.00.ТЗ	Арк.
Вим.	Арк.	№ документа	Підпис	Дата		6

Додаток Б
(обов'язковий)

Міністерство освіти і науки України
Центральноукраїнський національний технічний університет

ЗАТВЕРДЖУЮ
Керівник випускної кваліфікаційної роботи
за другим (магістерським) рівнем вищої освіти
_____ Р.М. Минайленко

*Дослідження та програмна реалізація шифрованого трафіку через
аналоговий тракт*

Лістинг програми

Код документу 12

Носій: CD/DVD-диск

Загальна кількість аркушів: 39

Літера: РП

Кропивницький – 2021 року

Основна програма

```

                                main.h

/* USER CODE BEGIN Header */
/**
 * *****
 * @file           : main.h
 * @brief          : Header for main.c file.
 *                 This file contains the common defines of the application.
 * *****
 * @attention
 *
 * <h2><center>&copy; Copyright (c) 2020 STMicroelectronics.
 * All rights reserved.</center></h2>
 *
 * This software component is licensed by ST under BSD 3-Clause license,
 * the "License"; You may not use this file except in compliance with the
 * License. You may obtain a copy of the License at:
 *
 *                 opensource.org/licenses/BSD-3-Clause
 *
 * *****
 */
/* USER CODE END Header */

/* Define to prevent recursive inclusion -----*/
#ifndef __MAIN_H
#define __MAIN_H

#ifdef __cplusplus
extern "C" {
#endif

/* Includes -----*/
#include "stm32f1xx_hal.h"
#include "stm32f1xx_ll_i2c.h"
#include "stm32f1xx_ll_rcc.h"
#include "stm32f1xx_ll_bus.h"
#include "stm32f1xx_ll_system.h"
#include "stm32f1xx_ll_exti.h"
#include "stm32f1xx_ll_cortex.h"
#include "stm32f1xx_ll_utils.h"
#include "stm32f1xx_ll_pwr.h"
#include "stm32f1xx_ll_dma.h"
#include "stm32f1xx_ll_usart.h"
#include "stm32f1xx.h"
#include "stm32f1xx_ll_gpio.h"

/* Private includes -----*/
/* USER CODE BEGIN Includes */

/* USER CODE END Includes */

/* Exported types -----*/
/* USER CODE BEGIN ET */

/* USER CODE END ET */

/* Exported constants -----*/
/* USER CODE BEGIN EC */

/* USER CODE END EC */

/* Exported macro -----*/
/* USER CODE BEGIN EM */

```

```

/* USER CODE END EM */

/* Exported functions prototypes -----*/
void Error_Handler(void);

/* USER CODE BEGIN EFP */

/* USER CODE END EFP */

/* Private defines -----*/
#define LED_Pin LL_GPIO_PIN_13
#define LED_GPIO_Port GPIOC
#define SET_Pin LL_GPIO_PIN_15
#define SET_GPIO_Port GPIOB
#define CS_Pin LL_GPIO_PIN_8
#define CS_GPIO_Port GPIOA
/* USER CODE BEGIN Private defines */

/* USER CODE END Private defines */

#ifdef __cplusplus
}
#endif

#endif /* __MAIN_H */

                                                                    main.c
/* USER CODE BEGIN Header */
/**
 * *****
 * @file           : main.c
 * @brief          : Main program body
 * *****
 * @attention
 *
 * <h2><center>&copy; Copyright (c) 2020 STMicroelectronics.
 * All rights reserved.</center></h2>
 *
 * This software component is licensed by ST under BSD 3-Clause license,
 * the "License"; You may not use this file except in compliance with the
 * License. You may obtain a copy of the License at:
 *
 *             <a href="http://opensource.org/licenses/BSD-3-Clause">opensource.org/licenses/BSD-3-Clause
 *
 * *****
 */
/* USER CODE END Header */

/* Includes -----*/
#include "main.h"
#include "usb_device.h"

/* Private includes -----*/
/* USER CODE BEGIN Includes */
#include "usbd_cdc_if.h"

/* USER CODE END Includes */

/* Private typedef -----*/
/* USER CODE BEGIN PTD */

/* USER CODE END PTD */

/* Private define -----*/
/* USER CODE BEGIN PD */
/* USER CODE END PD */

/* Private macro -----*/

```

```

/* USER CODE BEGIN PM */

/* USER CODE END PM */

/* Private variables -----*/

/* USER CODE BEGIN PV */
extern uint8_t UserRxBufferFS[];
extern char RX_Buff[];
/* USER CODE END PV */

/* Private function prototypes -----*/
void SystemClock_Config(void);
static void MX_GPIO_Init(void);
static void MX_I2C1_Init(void);
static void MX_USART1_UART_Init(void);
/* USER CODE BEGIN PFP */

/* USER CODE END PFP */

/* Private user code -----*/
/* USER CODE BEGIN 0 */

/* USER CODE END 0 */

/**
 * @brief The application entry point.
 * @retval int
 */
int main(void)
{
    /* USER CODE BEGIN 1 */

    /* USER CODE END 1 */

    /* MCU Configuration-----*/

    /* Reset of all peripherals, Initializes the Flash interface and the Systick. */
    HAL_Init();

    /* USER CODE BEGIN Init */

    /* USER CODE END Init */

    /* Configure the system clock */
    SystemClock_Config();

    /* USER CODE BEGIN SysInit */

    /* USER CODE END SysInit */

    /* Initialize all configured peripherals */
    MX_GPIO_Init();
    MX_I2C1_Init();
    MX_USART1_UART_Init();
    MX_USB_DEVICE_Init();

    /* USER CODE BEGIN 2 */
    void USART_Send_String(char *buf);
    /* USER CODE END 2 */

    /* Infinite loop */
    /* USER CODE BEGIN WHILE */
    //uint8_t MassegeLenght = 0;

```

```

//uint8_t s = 0;
LL_GPIO_ResetOutputPin(GPIOC, LL_GPIO_PIN_13);
// LL_GPIO_SetOutputPin(GPIOA, CS_Pin); // Chip Select
LL_GPIO_SetOutputPin(GPIOB, LL_GPIO_PIN_15); // Set Comand
    LL_GPIO_ResetOutputPin(GPIOA, CS_Pin); // Chip Select
    //LL_GPIO_ResetOutputPin(GPIOA, SET_Pin); // Set Comand
while (1)
{
    /* USER CODE END WHILE */

    /* USER CODE BEGIN 3 */

        if(UserRxBufferFS[0] != 0)
        {
            for(uint8_t i = 0; i < 30; i++)
            {
                LL_USART_TransmitData8(USART1, UserRxBufferFS[i]);
                if('/' == UserRxBufferFS[i] && 'n' == UserRxBufferFS[i+1])
                {
                    break;
                }
            }
            for(uint8_t i = 0; i < 30; i++)
            {
                UserRxBufferFS[i]=0;
            }
        }
        if(RX_Buff[0] !=0)
        {
            for(uint8_t i = 0; i < 30; i++)
            {
                CDC_Transmit_FS(RX_Buff[i], 1);
                if('/' == RX_Buff[i] && 'n' == RX_Buff[i+1])
                {
                    break;
                }
            }
            for(uint8_t i = 0; i < 30; i++)
            {
                RX_Buff[i]=0;
            }
        }
        if(UserRxBufferFS[0]=='0')
        {
            LL_GPIO_SetOutputPin(GPIOC, LL_GPIO_PIN_13);
            USART_Send_String("Abc");

            UserRxBufferFS[0]=0;
        }
        else if(UserRxBufferFS[0]=='1')
        {
            LL_GPIO_ResetOutputPin(GPIOC, LL_GPIO_PIN_13);
            LL_USART_TransmitData8(USART1, 'W');
            UserRxBufferFS[0]=0;
        }

    /*
        LL_mDelay(100);
    */
}
/* USER CODE END 3 */
}

/**
 * @brief System Clock Configuration
 * @retval None

```

```

*/
void SystemClock_Config(void)
{
    LL_FLASH_SetLatency(LL_FLASH_LATENCY_1);

    if(LL_FLASH_GetLatency() != LL_FLASH_LATENCY_1)
    {
        Error_Handler();
    }
    LL_RCC_HSE_Enable();

    /* Wait till HSE is ready */
    while(LL_RCC_HSE_IsReady() != 1)
    {
    }
    LL_RCC_PLL_ConfigDomain_SYS(LL_RCC_PLLSOURCE_HSE_DIV_1, LL_RCC_PLL_MUL_6);
    LL_RCC_PLL_Enable();

    /* Wait till PLL is ready */
    while(LL_RCC_PLL_IsReady() != 1)
    {
    }
    LL_RCC_SetAHBPrescaler(LL_RCC_SYSCLK_DIV_1);
    LL_RCC_SetAPB1Prescaler(LL_RCC_APB1_DIV_2);
    LL_RCC_SetAPB2Prescaler(LL_RCC_APB2_DIV_1);
    LL_RCC_SetSysClkSource(LL_RCC_SYS_CLKSOURCE_PLL);

    /* Wait till System clock is ready */
    while(LL_RCC_GetSysClkSource() != LL_RCC_SYS_CLKSOURCE_STATUS_PLL)
    {
    }
    LL_SetSystemCoreClock(48000000);

    /* Update the time base */
    if (HAL_InitTick (TICK_INT_PRIORITY) != HAL_OK)
    {
        Error_Handler();
    };
    LL_RCC_SetUSBClockSource(LL_RCC_USB_CLKSOURCE_PLL);
}

/**
 * @brief I2C1 Initialization Function
 * @param None
 * @retval None
 */
static void MX_I2C1_Init(void)
{
    /* USER CODE BEGIN I2C1_Init 0 */

    /* USER CODE END I2C1_Init 0 */

    LL_I2C_InitTypeDef I2C_InitStruct = {0};

    LL_GPIO_InitTypeDef GPIO_InitStruct = {0};

    LL_APB2_GRP1_EnableClock(LL_APB2_GRP1_PERIPH_GPIOB);
    /**I2C1 GPIO Configuration
    PB6 -----> I2C1_SCL
    PB7 -----> I2C1_SDA
    */
    GPIO_InitStruct.Pin = LL_GPIO_PIN_6|LL_GPIO_PIN_7;
    GPIO_InitStruct.Mode = LL_GPIO_MODE_ALTERNATE;

```

```

GPIO_InitStruct.Speed = LL_GPIO_SPEED_FREQ_HIGH;
GPIO_InitStruct.OutputType = LL_GPIO_OUTPUT_OPENDRAIN;
LL_GPIO_Init(GPIOB, &GPIO_InitStruct);

/* Peripheral clock enable */
LL_APB1_GRP1_EnableClock(LL_APB1_GRP1_PERIPH_I2C1);

/* USER CODE BEGIN I2C1_Init 1 */

/* USER CODE END I2C1_Init 1 */
/** I2C Initialization
*/
LL_I2C_DisableOwnAddress2(I2C1);
LL_I2C_DisableGeneralCall(I2C1);
LL_I2C_EnableClockStretching(I2C1);
I2C_InitStruct.PeripheralMode = LL_I2C_MODE_I2C;
I2C_InitStruct.ClockSpeed = 100000;
I2C_InitStruct.DutyCycle = LL_I2C_DUTYCYCLE_2;
I2C_InitStruct.OwnAddress1 = 0;
I2C_InitStruct.TypeAcknowledge = LL_I2C_ACK;
I2C_InitStruct.OwnAddrSize = LL_I2C_OWNADDRESS1_7BIT;
LL_I2C_Init(I2C1, &I2C_InitStruct);
LL_I2C_SetOwnAddress2(I2C1, 0);
/* USER CODE BEGIN I2C1_Init 2 */

/* USER CODE END I2C1_Init 2 */

}

/**
 * @brief USART1 Initialization Function
 * @param None
 * @retval None
 */
static void MX_USART1_UART_Init(void)
{
    /* USER CODE BEGIN USART1_Init 0 */

    /* USER CODE END USART1_Init 0 */

    LL_USART_InitTypeDef USART_InitStruct = {0};

    LL_GPIO_InitTypeDef GPIO_InitStruct = {0};

    /* Peripheral clock enable */
    LL_APB2_GRP1_EnableClock(LL_APB2_GRP1_PERIPH_USART1);

    LL_APB2_GRP1_EnableClock(LL_APB2_GRP1_PERIPH_GPIOA);
    /**USART1 GPIO Configuration
    PA9 -----> USART1_TX
    PA10 -----> USART1_RX
    */
    GPIO_InitStruct.Pin = LL_GPIO_PIN_9;
    GPIO_InitStruct.Mode = LL_GPIO_MODE_ALTERNATE;
    GPIO_InitStruct.Speed = LL_GPIO_SPEED_FREQ_HIGH;
    GPIO_InitStruct.OutputType = LL_GPIO_OUTPUT_PUSHPULL;
    LL_GPIO_Init(GPIOA, &GPIO_InitStruct);

    GPIO_InitStruct.Pin = LL_GPIO_PIN_10;
    GPIO_InitStruct.Mode = LL_GPIO_MODE_FLOATING;
    LL_GPIO_Init(GPIOA, &GPIO_InitStruct);

    /* USART1 interrupt Init */
    NVIC_SetPriority(USART1_IRQn, NVIC_EncodePriority(NVIC_GetPriorityGrouping(),0, 0));
    NVIC_EnableIRQ(USART1_IRQn);

```

```

/* USER CODE BEGIN USART1_Init 1 */

/* USER CODE END USART1_Init 1 */
USART_InitStruct.BaudRate = 9600;
USART_InitStruct.DataWidth = LL_USART_DATAWIDTH_8B;
USART_InitStruct.StopBits = LL_USART_STOPBITS_1;
USART_InitStruct.Parity = LL_USART_PARITY_NONE;
USART_InitStruct.TransferDirection = LL_USART_DIRECTION_TX_RX;
USART_InitStruct.HardwareFlowControl = LL_USART_HWCONTROL_NONE;
USART_InitStruct.OverSampling = LL_USART_OVERSAMPLING_16;
LL_USART_Init(USART1, &USART_InitStruct);
LL_USART_ConfigAsyncMode(USART1);
LL_USART_Enable(USART1);
/* USER CODE BEGIN USART1_Init 2 */
LL_USART_EnableIT_RXNE(USART1);
/* USER CODE END USART1_Init 2 */

}

/**
 * @brief GPIO Initialization Function
 * @param None
 * @retval None
 */
static void MX_GPIO_Init(void)
{
    LL_GPIO_InitTypeDef GPIO_InitStruct = {0};

    /* GPIO Ports Clock Enable */
    LL_APB2_GRP1_EnableClock(LL_APB2_GRP1_PERIPH_GPIOC);
    LL_APB2_GRP1_EnableClock(LL_APB2_GRP1_PERIPH_GPIOD);
    LL_APB2_GRP1_EnableClock(LL_APB2_GRP1_PERIPH_GPIOB);
    LL_APB2_GRP1_EnableClock(LL_APB2_GRP1_PERIPH_GPIOA);

    /**/
    LL_GPIO_ResetOutputPin(LED_GPIO_Port, LED_Pin);

    /**/
    LL_GPIO_ResetOutputPin(SET_GPIO_Port, SET_Pin);

    /**/
    LL_GPIO_ResetOutputPin(CS_GPIO_Port, CS_Pin);

    /**/
    GPIO_InitStruct.Pin = LED_Pin;
    GPIO_InitStruct.Mode = LL_GPIO_MODE_OUTPUT;
    GPIO_InitStruct.Speed = LL_GPIO_SPEED_FREQ_LOW;
    GPIO_InitStruct.OutputType = LL_GPIO_OUTPUT_PUSHPULL;
    LL_GPIO_Init(LED_GPIO_Port, &GPIO_InitStruct);

    /**/
    GPIO_InitStruct.Pin = SET_Pin;
    GPIO_InitStruct.Mode = LL_GPIO_MODE_OUTPUT;
    GPIO_InitStruct.Speed = LL_GPIO_SPEED_FREQ_LOW;
    GPIO_InitStruct.OutputType = LL_GPIO_OUTPUT_PUSHPULL;
    LL_GPIO_Init(SET_GPIO_Port, &GPIO_InitStruct);

    /**/
    GPIO_InitStruct.Pin = CS_Pin;
    GPIO_InitStruct.Mode = LL_GPIO_MODE_OUTPUT;
    GPIO_InitStruct.Speed = LL_GPIO_SPEED_FREQ_LOW;
    GPIO_InitStruct.OutputType = LL_GPIO_OUTPUT_PUSHPULL;
    LL_GPIO_Init(CS_GPIO_Port, &GPIO_InitStruct);

}

/* USER CODE BEGIN 4 */

```

```

//static void JDY_40_Init(void)
//{
void USART_Send_String(char *buf)
{
    uint8_t i = 0;
    while(buf[i] !=0)
    {
        while(!(LL_USART_IsActiveFlag_TXE(USART1)));
        LL_USART_TransmitData8(USART1, buf[i++]);
    }
}

void JDY_40_Config(void)
{
    LL_GPIO_ResetOutputPin(GPIOA, CS_Pin);// Chip Select
    LL_GPIO_ResetOutputPin(GPIOA, SET_Pin);// Set Comand
    USART_Send_String("AT");
}

/* USER CODE END 4 */

/**
 * @brief This function is executed in case of error occurrence.
 * @retval None
 */
void Error_Handler(void)
{
    /* USER CODE BEGIN Error_Handler_Debug */
    /* User can add his own implementation to report the HAL error return state */

    /* USER CODE END Error_Handler_Debug */
}

#ifdef USE_FULL_ASSERT
/**
 * @brief Reports the name of the source file and the source line number
 * where the assert_param error has occurred.
 * @param file: pointer to the source file name
 * @param line: assert_param error line source number
 * @retval None
 */
void assert_failed(uint8_t *file, uint32_t line)
{
    /* USER CODE BEGIN 6 */
    /* User can add his own implementation to report the file name and line number,
    tex: printf("Wrong parameters value: file %s on line %d\r\n", file, line) */
    /* USER CODE END 6 */
}
#endif /* USE_FULL_ASSERT */

```

usb_device.h

```

/* USER CODE BEGIN Header */
/**
 * *****
 * @file           : usb_device.h
 * @version        : v2.0_Cube
 * @brief          : Header for usb_device.c file.
 * *****
 * @attention
 *
 * <h2><center>&copy; Copyright (c) 2020 STMicroelectronics.
 * All rights reserved.</center></h2>
 *
 * This software component is licensed by ST under Ultimate Liberty license
 * SLA0044, the "License"; You may not use this file except in compliance with

```

```

* the License. You may obtain a copy of the License at:
*
*
*
*****
*/
/* USER CODE END Header */

/* Define to prevent recursive inclusion -----*/
#ifndef __USB_DEVICE_H__
#define __USB_DEVICE_H__

#ifdef __cplusplus
extern "C" {
#endif

/* Includes -----*/
#include "stm32f1xx.h"
#include "stm32f1xx_hal.h"
#include "usb_def.h"

/* USER CODE BEGIN INCLUDE */

/* USER CODE END INCLUDE */

/** @addtogroup USBD_OTG_DRIVER
 *  @{
 */

/** @defgroup USBD_DEVICE USBD_DEVICE
 *  @brief Device file for Usb otg low level driver.
 *  @{
 */

/** @defgroup USBD_DEVICE_Exported_Variables USBD_DEVICE_Exported_Variables
 *  @brief Public variables.
 *  @{
 */

/* Private variables -----*/
/* USER CODE BEGIN PV */

/* USER CODE END PV */

/* Private function prototypes -----*/
/* USER CODE BEGIN PFP */

/* USER CODE END PFP */

/*
 * -- Insert your variables declaration here --
 */
/* USER CODE BEGIN VARIABLES */

/* USER CODE END VARIABLES */
/**
 * @}
 */

/** @defgroup USBD_DEVICE_Exported_FunctionsPrototype
 *  USBD_DEVICE_Exported_FunctionsPrototype
 *  @brief Declaration of public functions for Usb device.
 *  @{
 */

/** USB Device initialization function. */
void MX_USB_DEVICE_Init(void);

```

```

/*
 * -- Insert functions declaration here --
 */
/* USER CODE BEGIN FD */

/* USER CODE END FD */
/**
 * @}
 */

/**
 * @}
 */

/**
 * @}
 */

#ifdef __cplusplus
}
#endif

#endif /* __USB_DEVICE_H__ */

usb_device.c

/* USER CODE BEGIN Header */
/**
 * *****
 * @file      : usb_device.c
 * @version   : v2.0_Cube
 * @brief     : This file implements the USB Device
 * *****
 * @attention
 *
 * <h2><center>&copy; Copyright (c) 2020 STMicroelectronics.
 * All rights reserved.</center></h2>
 *
 * This software component is licensed by ST under Ultimate Liberty license
 * SLA0044, the "License"; You may not use this file except in compliance with
 * the License. You may obtain a copy of the License at:
 *
 *          www.st.com/SLA0044
 * *****
 */
/* USER CODE END Header */

/* Includes ----- */

#include "usb_device.h"
#include "usbd_core.h"
#include "usbd_desc.h"
#include "usbd_cdc.h"
#include "usbd_cdc_if.h"

/* USER CODE BEGIN Includes */

/* USER CODE END Includes */

/* USER CODE BEGIN PV */
/* Private variables ----- */

/* USER CODE END PV */

/* USER CODE BEGIN PFP */
/* Private function prototypes ----- */

```

```

/* USER CODE END PFP */

/* USB Device Core handle declaration. */
USBD_HandleTypeDef hUsbDeviceFS;

/*
 * -- Insert your variables declaration here --
 */
/* USER CODE BEGIN 0 */

/* USER CODE END 0 */

/*
 * -- Insert your external function declaration here --
 */
/* USER CODE BEGIN 1 */

/* USER CODE END 1 */

/**
 * Init USB device Library, add supported class and start the library
 * @retval None
 */
void MX_USB_DEVICE_Init(void)
{
    /* USER CODE BEGIN USB_DEVICE_Init_PreTreatment */

    /* USER CODE END USB_DEVICE_Init_PreTreatment */

    /* Init Device Library, add supported class and start the library. */
    if (USBD_Init(&hUsbDeviceFS, &FS_Desc, DEVICE_FS) != USB_OK)
    {
        Error_Handler();
    }
    if (USBD_RegisterClass(&hUsbDeviceFS, &USBD_CDC) != USB_OK)
    {
        Error_Handler();
    }
    if (USBD_CDC_RegisterInterface(&hUsbDeviceFS, &USBD_Interface_fops_FS) != USB_OK)
    {
        Error_Handler();
    }
    if (USBD_Start(&hUsbDeviceFS) != USB_OK)
    {
        Error_Handler();
    }

    /* USER CODE BEGIN USB_DEVICE_Init_PostTreatment */

    /* USER CODE END USB_DEVICE_Init_PostTreatment */
}

```

usbdc_cdc_if.h

```

/* USER CODE BEGIN Header */
/**
 * *****
 * @file      : usbdc_cdc_if.h
 * @version   : v2.0_Cube
 * @brief     : Header for usbdc_cdc_if.c file.
 * *****
 * @attention
 *
 * <h2><center>&copy; Copyright (c) 2020 STMicroelectronics.
 * All rights reserved.</center></h2>
 *
 * This software component is licensed by ST under Ultimate Liberty license

```

```

* SLA0044, the "License"; You may not use this file except in compliance with
* the License. You may obtain a copy of the License at:
*
* www.st.com/SLA0044
*
*****
*/
/* USER CODE END Header */

/* Define to prevent recursive inclusion -----*/
#ifndef __USBDCDC_IF_H__
#define __USBDCDC_IF_H__

#ifdef __cplusplus
extern "C" {
#endif

/* Includes -----*/
#include "usbdcdc.h"

/* USER CODE BEGIN INCLUDE */

/* USER CODE END INCLUDE */

/** @addtogroup STM32_USB_OTG_DEVICE_LIBRARY
  * @brief For Usb device.
  * @{
  */

/** @addtogroup USBDCDC_IF USBDCDC_IF
  * @brief Usb VCP device module
  * @{
  */

/** @addtogroup USBDCDC_IF_Exported_Defines USBDCDC_IF_Exported_Defines
  * @brief Defines.
  * @{
  */
/* USER CODE BEGIN EXPORTED_DEFINES */

/* USER CODE END EXPORTED_DEFINES */

/**
  * @}
  */

/** @addtogroup USBDCDC_IF_Exported_Types USBDCDC_IF_Exported_Types
  * @brief Types.
  * @{
  */
/* USER CODE BEGIN EXPORTED_TYPES */

/* USER CODE END EXPORTED_TYPES */

/**
  * @}
  */

/** @addtogroup USBDCDC_IF_Exported_Macros USBDCDC_IF_Exported_Macros
  * @brief Aliases.
  * @{
  */
/* USER CODE BEGIN EXPORTED_MACRO */

/* USER CODE END EXPORTED_MACRO */

```

```

/**
 * @}
 */

/** @defgroup USBD_CDC_IF_Exported_Variables USBD_CDC_IF_Exported_Variables
 * @brief Public variables.
 * @{
 */

/** CDC Interface callback. */
extern USBD_CDC_ItfTypeDef USBD_Interface_fops_FS;

/* USER CODE BEGIN EXPORTED_VARIABLES */

/* USER CODE END EXPORTED_VARIABLES */

/**
 * @}
 */

/** @defgroup USBD_CDC_IF_Exported_FunctionsPrototype
USBD_CDC_IF_Exported_FunctionsPrototype
 * @brief Public functions declaration.
 * @{
 */

uint8_t CDC_Transmit_FS(uint8_t* Buf, uint16_t Len);

/* USER CODE BEGIN EXPORTED_FUNCTIONS */

/* USER CODE END EXPORTED_FUNCTIONS */

#ifdef __cplusplus
}
#endif

#endif /* __USBD_CDC_IF_H__ */

usbdcif.c

USER CODE BEGIN Header */
/**
*****
 * @file      : usbd_cdc_if.c
 * @version   : v2.0_Cube
 * @brief     : Usb device for Virtual Com Port.
*****
 * @attention
 *
 * <h2><center>&copy; Copyright (c) 2020 STMicroelectronics.
 * All rights reserved.</center></h2>
 *
 * This software component is licensed by ST under Ultimate Liberty license
 * SLA0044, the "License"; You may not use this file except in compliance with
 * the License. You may obtain a copy of the License at:
 *
 * www.st.com/SLA0044
*****
 */
/* USER CODE END Header */

/* Includes -----*/
#include "usbdcif.h"

/* USER CODE BEGIN INCLUDE */

```

```

/* USER CODE END INCLUDE */

/* Private typedef -----*/
/* Private define -----*/
/* Private macro -----*/

/* USER CODE BEGIN PV */
/* Private variables -----*/
//extern RX_Buff[];
/* USER CODE END PV */

/** @addtogroup STM32_USB_OTG_DEVICE_LIBRARY
 * @brief Usb device library.
 * @{
 */

/** @addtogroup USB_D_CDC_IF
 * @{
 */

/** @defgroup USB_D_CDC_IF_Private_TypesDefinitions USB_D_CDC_IF_Private_TypesDefinitions
 * @brief Private types.
 * @{
 */

/* USER CODE BEGIN PRIVATE_TYPES */

/* USER CODE END PRIVATE_TYPES */

/**
 * @}
 */

/** @defgroup USB_D_CDC_IF_Private_Defines USB_D_CDC_IF_Private_Defines
 * @brief Private defines.
 * @{
 */

/* USER CODE BEGIN PRIVATE_DEFINES */
/* Define size for the receive and transmit buffer over CDC */
/* It's up to user to redefine and/or remove those define */
#define APP_RX_DATA_SIZE 1000
#define APP_TX_DATA_SIZE 1000
/* USER CODE END PRIVATE_DEFINES */

/**
 * @}
 */

/** @defgroup USB_D_CDC_IF_Private_Macros USB_D_CDC_IF_Private_Macros
 * @brief Private macros.
 * @{
 */

/* USER CODE BEGIN PRIVATE_MACRO */

/* USER CODE END PRIVATE_MACRO */

/**
 * @}
 */

/** @defgroup USB_D_CDC_IF_Private_Variables USB_D_CDC_IF_Private_Variables
 * @brief Private variables.
 * @{
 */
/* Create buffer for reception and transmission */

```

```

/* It's up to user to redefine and/or remove those define */
/** Received data over USB are stored in this buffer */
uint8_t UserRxBufferFS[APP_RX_DATA_SIZE];

/** Data to send over USB CDC are stored in this buffer */
uint8_t UserTxBufferFS[APP_TX_DATA_SIZE];

/* USER CODE BEGIN PRIVATE_VARIABLES */

/* USER CODE END PRIVATE_VARIABLES */

/**
 * @}
 */

/**
 * @defgroup USBDCDCIF_Exported_Variables USBDCDCIF_Exported_Variables
 * @brief Public variables.
 * @{
 */

extern USBDCDCIF_HandleTypeDef hUsbDeviceFS;

/* USER CODE BEGIN EXPORTED_VARIABLES */

/* USER CODE END EXPORTED_VARIABLES */

/**
 * @}
 */

/**
 * @defgroup USBDCDCIF_Private_FunctionPrototypes
 * USBDCDCIF_Private_FunctionPrototypes
 * @brief Private functions declaration.
 * @{
 */

static int8_t CDC_Init_FS(void);
static int8_t CDC_DeInit_FS(void);
static int8_t CDC_Control_FS(uint8_t cmd, uint8_t* pbuf, uint16_t length);
static int8_t CDC_Receive_FS(uint8_t* pbuf, uint32_t *Len);

/* USER CODE BEGIN PRIVATE_FUNCTIONS_DECLARATION */
uint8_t CDC_Transmit_FS(uint8_t* Buf, uint16_t Len);
/* USER CODE END PRIVATE_FUNCTIONS_DECLARATION */

/**
 * @}
 */

USBDCDCIF_ItfTypeDef USBDCDCIF_Interface_fops_FS =
{
    CDC_Init_FS,
    CDC_DeInit_FS,
    CDC_Control_FS,
    CDC_Receive_FS
};

/* Private functions -----*/
/**
 * @brief Initializes the CDC media low layer over the FS USB IP
 * @retval USBDCDCIF_OK if all operations are OK else USBDCDCIF_FAIL
 */
static int8_t CDC_Init_FS(void)
{
    /* USER CODE BEGIN 3 */
    /* Set Application Buffers */
    USBDCDCIF_SetTxBuffer(&hUsbDeviceFS, UserTxBufferFS, 0);

```

```

    USBDCDC_SetRxBuffer(&hUsbDeviceFS, UserRxBufferFS);
    return (USBD_OK);
    /* USER CODE END 3 */
}

/**
 * @brief DeInitializes the CDC media low layer
 * @retval USBD_OK if all operations are OK else USBD_FAIL
 */
static int8_t CDC_DeInit_FS(void)
{
    /* USER CODE BEGIN 4 */
    return (USBD_OK);
    /* USER CODE END 4 */
}

/**
 * @brief Manage the CDC class requests
 * @param cmd: Command code
 * @param pbuf: Buffer containing command data (request parameters)
 * @param length: Number of data to be sent (in bytes)
 * @retval Result of the operation: USBD_OK if all operations are OK else USBD_FAIL
 */
static int8_t CDC_Control_FS(uint8_t cmd, uint8_t* pbuf, uint16_t length)
{
    /* USER CODE BEGIN 5 */
    switch(cmd)
    {
        case CDC_SEND_ENCAPSULATED_COMMAND:

            break;

        case CDC_GET_ENCAPSULATED_RESPONSE:

            break;

        case CDC_SET_COMM_FEATURE:

            break;

        case CDC_GET_COMM_FEATURE:

            break;

        case CDC_CLEAR_COMM_FEATURE:

            break;

        /*****
        /* Line Coding Structure
        /*-----*/
        /* Offset | Field | Size | Value | Description
        /* 0 | dwDTERate | 4 | Number | Data terminal rate, in bits per second*/
        /* 4 | bCharFormat | 1 | Number | Stop bits
        /*
        /* 0 - 1 Stop bit
        /*
        /* 1 - 1.5 Stop bits
        /*
        /* 2 - 2 Stop bits
        /*
        /* 5 | bParityType | 1 | Number | Parity
        /*
        /* 0 - None
        /*
        /* 1 - Odd
        /*
        /* 2 - Even
        /*
        /* 3 - Mark
        /*
        /* 4 - Space
        /*
        /* 6 | bDataBits | 1 | Number | Data bits (5, 6, 7, 8 or 16).
        /*-----*/
        case CDC_SET_LINE_CODING:

```

```

    break;

    case CDC_GET_LINE_CODING:

    break;

    case CDC_SET_CONTROL_LINE_STATE:

    break;

    case CDC_SEND_BREAK:

    break;

default:
    break;
}

return (USBD_OK);
/* USER CODE END 5 */
}

/**
 * @brief Data received over USB OUT endpoint are sent over CDC interface
 * through this function.
 *
 * @note
 * This function will block any OUT packet reception on USB endpoint
 * until exiting this function. If you exit this function before transfer
 * is complete on CDC interface (ie. using DMA controller) it will result
 * in receiving more data while previous ones are still not sent.
 *
 * @param Buf: Buffer of data to be received
 * @param Len: Number of data received (in bytes)
 * @retval Result of the operation: USBD_OK if all operations are OK else USBD_FAIL
 */
static int8_t CDC_Receive_FS(uint8_t* Buf, uint32_t *Len)
{
    /* USER CODE BEGIN 6 */
    USBD_CDC_SetRxBuffer(&hUsbDeviceFS, &Buf[0]);
    USBD_CDC_ReceivePacket(&hUsbDeviceFS);
    return (USBD_OK);
    /* USER CODE END 6 */
}

/**
 * @brief CDC_Transmit_FS
 * Data to send over USB IN endpoint are sent over CDC interface
 * through this function.
 *
 * @note
 *
 * @param Buf: Buffer of data to be sent
 * @param Len: Number of data to be sent (in bytes)
 * @retval USBD_OK if all operations are OK else USBD_FAIL or USBD_BUSY
 */
uint8_t CDC_Transmit_FS(uint8_t* Buf, uint16_t Len)
{
    uint8_t result = USBD_OK;
    /* USER CODE BEGIN 7 */
    USBD_CDC_HandleTypeDef *hcdc = (USBD_CDC_HandleTypeDef*)hUsbDeviceFS.pClassData;
    if (hcdc->TxState != 0){
        return USBD_BUSY;
    }
    USBD_CDC_SetTxBuffer(&hUsbDeviceFS, Buf, Len);
    result = USBD_CDC_TransmitPacket(&hUsbDeviceFS);
    /* USER CODE END 7 */
}

```

```

    return result;
}

/* USER CODE BEGIN PRIVATE_FUNCTIONS_IMPLEMENTATION */

/* USER CODE END PRIVATE_FUNCTIONS_IMPLEMENTATION */

                                usbd_desc.c
/* USER CODE BEGIN Header */
/**
 * *****
 * @file           : usbd_desc.c
 * @version        : v2.0_Cube
 * @brief          : Header for usbd_conf.c file.
 * *****
 * @attention
 *
 * <h2><center>&copy; Copyright (c) 2020 STMicroelectronics.
 * All rights reserved.</center></h2>
 *
 * This software component is licensed by ST under Ultimate Liberty license
 * SLA0044, the "License"; You may not use this file except in compliance with
 * the License. You may obtain a copy of the License at:
 *
 *                                     www.st.com/SLA0044
 *
 * *****
 */
/* USER CODE END Header */
/* Define to prevent recursive inclusion -----*/
#ifndef __USB_DESC_C__
#define __USB_DESC_C__

#ifdef __cplusplus
extern "C" {
#endif

/* Includes -----*/
#include "usbd_def.h"

/* USER CODE BEGIN INCLUDE */

/* USER CODE END INCLUDE */

/** @addtogroup STM32_USB_OTG_DEVICE_LIBRARY
 * @{
 */

/** @defgroup USB_DESC USB_DESC
 * @brief Usb device descriptors module.
 * @{
 */

/** @defgroup USB_DESC_Exported_Constants USB_DESC_Exported_Constants
 * @brief Constants.
 * @{
 */
#define DEVICE_ID1          (UID_BASE)
#define DEVICE_ID2          (UID_BASE + 0x4)
#define DEVICE_ID3          (UID_BASE + 0x8)

#define USB_SIZ_STRING_SERIAL    0x1A

/* USER CODE BEGIN EXPORTED_CONSTANTS */

/* USER CODE END EXPORTED_CONSTANTS */

/**

```

```

* @}
*/

/** @defgroup USBD_DESC_Exported_Defines USBD_DESC_Exported_Defines
* @brief Defines.
* @{
*/

/* USER CODE BEGIN EXPORTED_DEFINES */

/* USER CODE END EXPORTED_DEFINES */

/**
* @}
*/

/** @defgroup USBD_DESC_Exported_TypesDefinitions USBD_DESC_Exported_TypesDefinitions
* @brief Types.
* @{
*/

/* USER CODE BEGIN EXPORTED_TYPES */

/* USER CODE END EXPORTED_TYPES */

/**
* @}
*/

/** @defgroup USBD_DESC_Exported_Macros USBD_DESC_Exported_Macros
* @brief Aliases.
* @{
*/

/* USER CODE BEGIN EXPORTED_MACRO */

/* USER CODE END EXPORTED_MACRO */

/**
* @}
*/

/** @defgroup USBD_DESC_Exported_Variables USBD_DESC_Exported_Variables
* @brief Public variables.
* @{
*/

/** Descriptor for the Usb device. */
extern USBD_DescriptorsTypeDef FS_Desc;

/* USER CODE BEGIN EXPORTED_VARIABLES */

/* USER CODE END EXPORTED_VARIABLES */

/**
* @}
*/

/** @defgroup USBD_DESC_Exported_FunctionsPrototype
USBD_DESC_Exported_FunctionsPrototype
* @brief Public functions declaration.
* @{
*/

/* USER CODE BEGIN EXPORTED_FUNCTIONS */

/* USER CODE END EXPORTED_FUNCTIONS */

```

```

#ifdef __cplusplus
}
#endif

#endif /* __USB_DESC_C__ */

usb_desc.c

/* USER CODE BEGIN Header */
/**
 * *****
 * @file      : App/usb_desc.c
 * @version   : v2.0_Cube
 * @brief     : This file implements the USB device descriptors.
 * *****
 * @attention
 *
 * <h2><center>&copy; Copyright (c) 2020 STMicroelectronics.
 * All rights reserved.</center></h2>
 *
 * This software component is licensed by ST under Ultimate Liberty license
 * SLA0044, the "License"; You may not use this file except in compliance with
 * the License. You may obtain a copy of the License at:
 *
 * www.st.com/SLA0044
 *
 * *****
 */
/* USER CODE END Header */

/* Includes -----*/
#include "usb_core.h"
#include "usb_desc.h"
#include "usb_conf.h"

/* USER CODE BEGIN INCLUDE */

/* USER CODE END INCLUDE */

/* Private typedef -----*/
/* Private define -----*/
/* Private macro -----*/

/* USER CODE BEGIN PV */
/* Private variables -----*/

/* USER CODE END PV */

/** @addtogroup STM32_USB_OTG_DEVICE_LIBRARY
 * @{
 */

/** @addtogroup USB_DESC
 * @{
 */

/** @defgroup USB_DESC_Private_TypesDefinitions USB_DESC_Private_TypesDefinitions
 * @brief Private types.
 * @{
 */

/* USER CODE BEGIN PRIVATE_TYPES */

/* USER CODE END PRIVATE_TYPES */

/**
 * @}
 */

```

```

/** @defgroup USBD_DESC_Private_Defines USBD_DESC_Private_Defines
 * @brief Private defines.
 * @{
 */

#define USBD_VID      1155
#define USBD_LANGID_STRING      1033
#define USBD_MANUFACTURER_STRING      "STMicroelectronics"
#define USBD_PID_FS      22336
#define USBD_PRODUCT_STRING_FS      "STM32 Virtual ComPort"
#define USBD_CONFIGURATION_STRING_FS      "CDC Config"
#define USBD_INTERFACE_STRING_FS      "CDC Interface"

/* USER CODE BEGIN PRIVATE_DEFINES */

/* USER CODE END PRIVATE_DEFINES */

/**
 * @}
 */

/* USER CODE BEGIN 0 */

/* USER CODE END 0 */

/** @defgroup USBD_DESC_Private_Macros USBD_DESC_Private_Macros
 * @brief Private macros.
 * @{
 */

/* USER CODE BEGIN PRIVATE_MACRO */

/* USER CODE END PRIVATE_MACRO */

/**
 * @}
 */

/** @defgroup USBD_DESC_Private_FunctionPrototypes USBD_DESC_Private_FunctionPrototypes
 * @brief Private functions declaration.
 * @{
 */

static void Get_SerialNum(void);
static void IntToUnicode(uint32_t value, uint8_t * pbuf, uint8_t len);

/**
 * @}
 */

/** @defgroup USBD_DESC_Private_FunctionPrototypes USBD_DESC_Private_FunctionPrototypes
 * @brief Private functions declaration for FS.
 * @{
 */

uint8_t * USBD_FS_DeviceDescriptor(USB_SpeedTypeDef speed, uint16_t *length);
uint8_t * USBD_FS_LangIDStrDescriptor(USB_SpeedTypeDef speed, uint16_t *length);
uint8_t * USBD_FS_ManufacturerStrDescriptor(USB_SpeedTypeDef speed, uint16_t *length);
uint8_t * USBD_FS_ProductStrDescriptor(USB_SpeedTypeDef speed, uint16_t *length);
uint8_t * USBD_FS_SerialStrDescriptor(USB_SpeedTypeDef speed, uint16_t *length);
uint8_t * USBD_FS_ConfigStrDescriptor(USB_SpeedTypeDef speed, uint16_t *length);
uint8_t * USBD_FS_InterfaceStrDescriptor(USB_SpeedTypeDef speed, uint16_t *length);

/**
 * @}
 */

```

```

*/

/** @defgroup USBD_DESC_Private_Variables USBD_DESC_Private_Variables
 * @brief Private variables.
 * @{
 */

USB_DescriptorsTypeDef FS_Desc =
{
    USBD_FS_DeviceDescriptor
,   USBD_FS_LangIDStrDescriptor
,   USBD_FS_ManufacturerStrDescriptor
,   USBD_FS_ProductStrDescriptor
,   USBD_FS_SerialStrDescriptor
,   USBD_FS_ConfigStrDescriptor
,   USBD_FS_InterfaceStrDescriptor
};

#if defined ( __ICCARM__ ) /* IAR Compiler */
    #pragma data_alignment=4
#endif /* defined ( __ICCARM__ ) */
/** USB standard device descriptor. */
__ALIGN_BEGIN uint8_t USBD_FS_DeviceDesc[USB_LEN_DEV_DESC] __ALIGN_END =
{
    0x12,                /*bLength */
    USB_DESC_TYPE_DEVICE, /*bDescriptorType*/
    0x00,                /*bcdUSB */
    0x02,
    0x02,                /*bDeviceClass*/
    0x02,                /*bDeviceSubClass*/
    0x00,                /*bDeviceProtocol*/
    USB_MAX_EP0_SIZE,   /*bMaxPacketSize*/
    LOBYTE(USB_D_VID),  /*idVendor*/
    HIBYTE(USB_D_VID),  /*idVendor*/
    LOBYTE(USB_D_PID_FS), /*idProduct*/
    HIBYTE(USB_D_PID_FS), /*idProduct*/
    0x00,                /*bcdDevice rel. 2.00*/
    0x02,
    USBD_IDX_MFC_STR,    /*Index of manufacturer string*/
    USBD_IDX_PRODUCT_STR, /*Index of product string*/
    USBD_IDX_SERIAL_STR, /*Index of serial number string*/
    USBD_MAX_NUM_CONFIGURATION /*bNumConfigurations*/
};

/* USB_DeviceDescriptor */

/**
 * @}
 */

/** @defgroup USBD_DESC_Private_Variables USBD_DESC_Private_Variables
 * @brief Private variables.
 * @{
 */

#if defined ( __ICCARM__ ) /* IAR Compiler */
    #pragma data_alignment=4
#endif /* defined ( __ICCARM__ ) */

/** USB lang identifier descriptor. */
__ALIGN_BEGIN uint8_t USBD_LangIDDesc[USB_LEN_LANGID_STR_DESC] __ALIGN_END =
{
    USB_LEN_LANGID_STR_DESC,
    USB_DESC_TYPE_STRING,
    LOBYTE(USB_D_LANGID_STRING),
    HIBYTE(USB_D_LANGID_STRING)
};

```

```

#if defined ( __ICCARM__ ) /* IAR Compiler */
    #pragma data_alignment=4
#endif /* defined ( __ICCARM__ ) */
/* Internal string descriptor. */
__ALIGN_BEGIN uint8_t USBD_StrDesc[USB_MAX_STR_DESC_SIZ] __ALIGN_END;

#if defined ( __ICCARM__ ) /*!< IAR Compiler */
    #pragma data_alignment=4
#endif
__ALIGN_BEGIN uint8_t USBD_StringSerial[USB_SIZ_STRING_SERIAL] __ALIGN_END = {
    USB_SIZ_STRING_SERIAL,
    USB_DESC_TYPE_STRING,
};

/**
 * @}
 */

/** @defgroup USBD_DESC_Private_Functions USBD_DESC_Private_Functions
 * @brief Private functions.
 * @{
 */

/**
 * @brief Return the device descriptor
 * @param speed : Current device speed
 * @param length : Pointer to data length variable
 * @retval Pointer to descriptor buffer
 */
uint8_t * USBD_FS_DeviceDescriptor(USB_SpeedTypeDef speed, uint16_t *length)
{
    UNUSED(speed);
    *length = sizeof(USB_FS_DeviceDesc);
    return USB_FS_DeviceDesc;
}

/**
 * @brief Return the LangID string descriptor
 * @param speed : Current device speed
 * @param length : Pointer to data length variable
 * @retval Pointer to descriptor buffer
 */
uint8_t * USBD_FS_LangIDStrDescriptor(USB_SpeedTypeDef speed, uint16_t *length)
{
    UNUSED(speed);
    *length = sizeof(USBD_LangIDDesc);
    return USBD_LangIDDesc;
}

/**
 * @brief Return the product string descriptor
 * @param speed : Current device speed
 * @param length : Pointer to data length variable
 * @retval Pointer to descriptor buffer
 */
uint8_t * USBD_FS_ProductStrDescriptor(USB_SpeedTypeDef speed, uint16_t *length)
{
    if(speed == 0)
    {
        USBD_GetString((uint8_t *)USBD_PRODUCT_STRING_FS, USBD_StrDesc, length);
    }
    else
    {
        USBD_GetString((uint8_t *)USBD_PRODUCT_STRING_FS, USBD_StrDesc, length);
    }
    return USBD_StrDesc;
}

```

```

}

/**
 * @brief Return the manufacturer string descriptor
 * @param speed : Current device speed
 * @param length : Pointer to data length variable
 * @retval Pointer to descriptor buffer
 */
uint8_t * USBD_FS_ManufacturerStrDescriptor(USB_SpeedTypeDef speed, uint16_t *length)
{
    UNUSED(speed);
    USBD_GetString((uint8_t *)USB_MANUFACTURER_STRING, USBD_StrDesc, length);
    return USBD_StrDesc;
}

/**
 * @brief Return the serial number string descriptor
 * @param speed : Current device speed
 * @param length : Pointer to data length variable
 * @retval Pointer to descriptor buffer
 */
uint8_t * USBD_FS_SerialStrDescriptor(USB_SpeedTypeDef speed, uint16_t *length)
{
    UNUSED(speed);
    *length = USB_SIZ_STRING_SERIAL;

    /* Update the serial number string descriptor with the data from the unique
     * ID */
    Get_SerialNum();
    /* USER CODE BEGIN USBD_FS_SerialStrDescriptor */

    /* USER CODE END USBD_FS_SerialStrDescriptor */
    return (uint8_t *) USBD_StringSerial;
}

/**
 * @brief Return the configuration string descriptor
 * @param speed : Current device speed
 * @param length : Pointer to data length variable
 * @retval Pointer to descriptor buffer
 */
uint8_t * USBD_FS_ConfigStrDescriptor(USB_SpeedTypeDef speed, uint16_t *length)
{
    if(speed == USB_SPEED_HIGH)
    {
        USBD_GetString((uint8_t *)USB_CONFIGURATION_STRING_FS, USBD_StrDesc, length);
    }
    else
    {
        USBD_GetString((uint8_t *)USB_CONFIGURATION_STRING_FS, USBD_StrDesc, length);
    }
    return USBD_StrDesc;
}

/**
 * @brief Return the interface string descriptor
 * @param speed : Current device speed
 * @param length : Pointer to data length variable
 * @retval Pointer to descriptor buffer
 */
uint8_t * USBD_FS_InterfaceStrDescriptor(USB_SpeedTypeDef speed, uint16_t *length)
{
    if(speed == 0)
    {
        USBD_GetString((uint8_t *)USB_INTERFACE_STRING_FS, USBD_StrDesc, length);
    }
    else

```

```

    {
        USBD_GetString((uint8_t *)USBD_INTERFACE_STRING_FS, USBD_StrDesc, length);
    }
    return USBD_StrDesc;
}

/**
 * @brief Create the serial number string descriptor
 * @param None
 * @retval None
 */
static void Get_SerialNum(void)
{
    uint32_t devicserial0, devicserial1, devicserial2;

    devicserial0 = *(uint32_t *) DEVICE_ID1;
    devicserial1 = *(uint32_t *) DEVICE_ID2;
    devicserial2 = *(uint32_t *) DEVICE_ID3;

    devicserial0 += devicserial2;

    if (devicserial0 != 0)
    {
        IntToUnicode(devicserial0, &USBD_StringSerial[2], 8);
        IntToUnicode(devicserial1, &USBD_StringSerial[18], 4);
    }
}

/**
 * @brief Convert Hex 32Bits value into char
 * @param value: value to convert
 * @param pbuf: pointer to the buffer
 * @param len: buffer length
 * @retval None
 */
static void IntToUnicode(uint32_t value, uint8_t * pbuf, uint8_t len)
{
    uint8_t idx = 0;

    for (idx = 0; idx < len; idx++)
    {
        if (((value >> 28)) < 0xA)
        {
            pbuf[2 * idx] = (value >> 28) + '0';
        }
        else
        {
            pbuf[2 * idx] = (value >> 28) + 'A' - 10;
        }
        value = value << 4;
        pbuf[2 * idx + 1] = 0;
    }
}

```

usb_conf.h

```

/* USER CODE BEGIN Header */
/**
 * *****
 * @file      : usb_conf.h
 * @version   : v2.0_Cube
 * @brief     : Header for usb_conf.c file.
 * *****
 * @attention

```

```

*
* <h2><center>&copy; Copyright (c) 2020 STMicroelectronics.
* All rights reserved.</center></h2>
*
* This software component is licensed by ST under Ultimate Liberty license
* SLA0044, the "License"; You may not use this file except in compliance with
* the License. You may obtain a copy of the License at:
*
* www.st.com/SLA0044
*
*****
*/
/* USER CODE END Header */

/* Define to prevent recursive inclusion -----*/
#ifndef __USB_CONF_H__
#define __USB_CONF_H__

#ifdef __cplusplus
extern "C" {
#endif

/* Includes -----*/
#include <stdio.h>
#include <stdlib.h>
#include <string.h>
#include "main.h"
#include "stm32f1xx.h"
#include "stm32f1xx_hal.h"

/* USER CODE BEGIN INCLUDE */

/* USER CODE END INCLUDE */

/** @addtogroup USB_OTG_DRIVER
 * @{
 */

/** @defgroup USB_CONF USB_CONF
 * @brief Configuration file for Usb otg low level driver.
 * @{
 */

/** @defgroup USB_CONF_Exported_Variables USB_CONF_Exported_Variables
 * @brief Public variables.
 * @{
 */

/**
 * @}
 */

/** @defgroup USB_CONF_Exported_Defines USB_CONF_Exported_Defines
 * @brief Defines for configuration of the Usb device.
 * @{
 */

/*-----*/
#define USBD_MAX_NUM_INTERFACES 1
/*-----*/
#define USBD_MAX_NUM_CONFIGURATION 1
/*-----*/
#define USBD_MAX_STR_DESC_SIZ 512
/*-----*/
#define USBD_DEBUG_LEVEL 0
/*-----*/
#define USBD_SELF_POWERED 1
/*-----*/

```

```

#define MAX_STATIC_ALLOC_SIZE      512

/*****
/* #define for FS and HS identification */
#define DEVICE_FS      0

/**
 * @}
 */

/** @defgroup USBD_CONF_Exported_Macros USBD_CONF_Exported_Macros
 * @brief Aliases.
 * @{}
 */

/* Memory management macros */

/** Alias for memory allocation. */
#define USBD_malloc      (uint32_t *)USBD_static_malloc

/** Alias for memory release. */
#define USBD_free      USBD_static_free

/** Alias for memory set. */
#define USBD_memset      /* Not used */

/** Alias for memory copy. */
#define USBD_memcpy      /* Not used */

/** Alias for delay. */
#define USBD_Delay      HAL_Delay

/* For footprint reasons and since only one allocation is handled in the HID class
   driver, the malloc/free is changed into a static allocation method */
void *USBD_static_malloc(uint32_t size);
void USBD_static_free(void *p);

/* DEBUG macros */

#if (USBD_DEBUG_LEVEL > 0)
#define USBD_UsrLog(...)      printf(__VA_ARGS__); \
                               printf("\n");
#else
#define USBD_UsrLog(...)
#endif

#if (USBD_DEBUG_LEVEL > 1)

#define USBD_ErrLog(...)      printf("ERROR: ") ; \
                               printf(__VA_ARGS__); \
                               printf("\n");
#else
#define USBD_ErrLog(...)
#endif

#if (USBD_DEBUG_LEVEL > 2)
#define USBD_DbgLog(...)      printf("DEBUG : ") ; \
                               printf(__VA_ARGS__); \
                               printf("\n");
#else
#define USBD_DbgLog(...)
#endif

/**
 * @}
 */

```

```

/** @defgroup USBD_CONF_Exported_Types USBD_CONF_Exported_Types
 * @brief Types.
 * @{
 */

/**
 * @}
 */

/** @defgroup USBD_CONF_Exported_FunctionsPrototype
USBD_CONF_Exported_FunctionsPrototype
 * @brief Declaration of public functions for Usb device.
 * @{
 */

/* Exported functions -----*/

#ifdef __cplusplus
}
#endif

#endif /* __USBD_CONF_H__ */

                                usbd_conf.c

/* USER CODE BEGIN Header */
/**
 * *****
 * @file           : Target/usbd_conf.c
 * @version        : v2.0_Cube
 * @brief         : This file implements the board support package for the USB device
library
 * *****
 * @attention
 *
 * <h2><center>&copy; Copyright (c) 2020 STMicroelectronics.
 * All rights reserved.</center></h2>
 *
 * This software component is licensed by ST under Ultimate Liberty license
 * SLA0044, the "License"; You may not use this file except in compliance with
 * the License. You may obtain a copy of the License at:
 *
 *                www.st.com/SLA0044
 *
 * *****
 */
/* USER CODE END Header */

/* Includes -----*/
#include "stm32f1xx.h"
#include "stm32f1xx_hal.h"
#include "usbd_def.h"
#include "usbd_core.h"
#include "usbd_cdc.h"

/* USER CODE BEGIN Includes */

/* USER CODE END Includes */

/* Private typedef -----*/
/* Private define -----*/
/* Private macro -----*/

/* USER CODE BEGIN PV */
/* Private variables -----*/

```

```

/* USER CODE END PV */

PCD_HandleTypeDef hpcd_USB_FS;
void Error_Handler(void);

/* USER CODE BEGIN 0 */

/* USER CODE END 0 */

/* USER CODE BEGIN PFP */
/* Private function prototypes -----*/
/* USER CODE END PFP */

/* Private functions -----*/
static USBD_StatusTypeDef USBD_Get_USB_Status(HAL_StatusTypeDef hal_status);
/* USER CODE BEGIN 1 */

/* USER CODE END 1 */
#if (USE_HAL_PCD_REGISTER_CALLBACKS == 1U)
static void PCDEx_SetConnectionState(PCD_HandleTypeDef *hpcd, uint8_t state);
else
void HAL_PCDEx_SetConnectionState(PCD_HandleTypeDef *hpcd, uint8_t state);
#endif /* USE_HAL_PCD_REGISTER_CALLBACKS */

/*****
LL Driver Callbacks (PCD -> USB Device Library)
*****/
/* MSP Init */

void HAL_PCD_MspInit(PCD_HandleTypeDef* pcdHandle)
{
    if(pcdHandle->Instance==USB)
    {
        /* USER CODE BEGIN USB_MspInit 0 */

        /* USER CODE END USB_MspInit 0 */
        /* Peripheral clock enable */
        __HAL_RCC_USB_CLK_ENABLE();

        /* Peripheral interrupt init */
        HAL_NVIC_SetPriority(USB_LP_CAN1_RX0_IRQn, 0, 0);
        HAL_NVIC_EnableIRQ(USB_LP_CAN1_RX0_IRQn);
        /* USER CODE BEGIN USB_MspInit 1 */

        /* USER CODE END USB_MspInit 1 */
    }
}

void HAL_PCD_MspDeInit(PCD_HandleTypeDef* pcdHandle)
{
    if(pcdHandle->Instance==USB)
    {
        /* USER CODE BEGIN USB_MspDeInit 0 */

        /* USER CODE END USB_MspDeInit 0 */
        /* Peripheral clock disable */
        __HAL_RCC_USB_CLK_DISABLE();

        /* Peripheral interrupt Deinit*/
        HAL_NVIC_DisableIRQ(USB_LP_CAN1_RX0_IRQn);

        /* USER CODE BEGIN USB_MspDeInit 1 */

        /* USER CODE END USB_MspDeInit 1 */
    }
}

```

```

/**
 * @brief Setup stage callback
 * @param hpcd: PCD handle
 * @retval None
 */
#if (USE_HAL_PCD_REGISTER_CALLBACKS == 1U)
static void PCD_SetupStageCallback(PCD_HandleTypeDef *hpcd)
#else
void HAL_PCD_SetupStageCallback(PCD_HandleTypeDef *hpcd)
#endif /* USE_HAL_PCD_REGISTER_CALLBACKS */
{
    USBD_LL_SetupStage((USB_D_HandleTypeDef*)hpcd->pData, (uint8_t *)hpcd->Setup);
}

/**
 * @brief Data Out stage callback.
 * @param hpcd: PCD handle
 * @param epnum: Endpoint number
 * @retval None
 */
#if (USE_HAL_PCD_REGISTER_CALLBACKS == 1U)
static void PCD_DataOutStageCallback(PCD_HandleTypeDef *hpcd, uint8_t epnum)
#else
void HAL_PCD_DataOutStageCallback(PCD_HandleTypeDef *hpcd, uint8_t epnum)
#endif /* USE_HAL_PCD_REGISTER_CALLBACKS */
{
    USBD_LL_DataOutStage((USB_D_HandleTypeDef*)hpcd->pData, epnum, hpcd->OUT_ep[epnum].xfer_buff);
}

/**
 * @brief Data In stage callback.
 * @param hpcd: PCD handle
 * @param epnum: Endpoint number
 * @retval None
 */
#if (USE_HAL_PCD_REGISTER_CALLBACKS == 1U)
static void PCD_DataInStageCallback(PCD_HandleTypeDef *hpcd, uint8_t epnum)
#else
void HAL_PCD_DataInStageCallback(PCD_HandleTypeDef *hpcd, uint8_t epnum)
#endif /* USE_HAL_PCD_REGISTER_CALLBACKS */
{
    USBD_LL_DataInStage((USB_D_HandleTypeDef*)hpcd->pData, epnum, hpcd->IN_ep[epnum].xfer_buff);
}

/**
 * @brief SOF callback.
 * @param hpcd: PCD handle
 * @retval None
 */
#if (USE_HAL_PCD_REGISTER_CALLBACKS == 1U)
static void PCD_SOFcallback(PCD_HandleTypeDef *hpcd)
#else
void HAL_PCD_SOFcallback(PCD_HandleTypeDef *hpcd)
#endif /* USE_HAL_PCD_REGISTER_CALLBACKS */
{
    USBD_LL_SOF((USB_D_HandleTypeDef*)hpcd->pData);
}

/**
 * @brief Reset callback.
 * @param hpcd: PCD handle
 * @retval None
 */
#if (USE_HAL_PCD_REGISTER_CALLBACKS == 1U)

```

```

static void PCD_ResetCallback(PCD_HandleTypeDef *hpcd)
#else
void HAL_PCD_ResetCallback(PCD_HandleTypeDef *hpcd)
#endif /* USE_HAL_PCD_REGISTER_CALLBACKS */
{
    USBD_SpeedTypeDef speed = USB_SPEED_FULL;

    if ( hpcd->Init.speed != PCD_SPEED_FULL)
    {
        Error_Handler();
    }
    /* Set Speed. */
    USBD_LL_SetSpeed((USB_HandleTypeDef*)hpcd->pData, speed);

    /* Reset Device. */
    USBD_LL_Reset((USB_HandleTypeDef*)hpcd->pData);
}

/**
 * @brief Suspend callback.
 * When Low power mode is enabled the debug cannot be used (IAR, Keil doesn't support
 it)
 * @param hpcd: PCD handle
 * @retval None
 */
#if (USE_HAL_PCD_REGISTER_CALLBACKS == 1U)
static void PCD_SuspendCallback(PCD_HandleTypeDef *hpcd)
#else
void HAL_PCD_SuspendCallback(PCD_HandleTypeDef *hpcd)
#endif /* USE_HAL_PCD_REGISTER_CALLBACKS */
{
    /* Inform USB library that core enters in suspend Mode. */
    USBD_LL_Suspend((USB_HandleTypeDef*)hpcd->pData);
    /* Enter in STOP mode. */
    /* USER CODE BEGIN 2 */
    if (hpcd->Init.low_power_enable)
    {
        /* Set SLEEPDEEP bit and SleepOnExit of Cortex System Control Register. */
        SCB->SCR |= (uint32_t)((uint32_t)(SCB_SCR_SLEEPDEEP_Msk |
SCB_SCR_SLEEPONEXIT_Msk));
    }
    /* USER CODE END 2 */
}

/**
 * @brief Resume callback.
 * When Low power mode is enabled the debug cannot be used (IAR, Keil doesn't support
 it)
 * @param hpcd: PCD handle
 * @retval None
 */
#if (USE_HAL_PCD_REGISTER_CALLBACKS == 1U)
static void PCD_ResumeCallback(PCD_HandleTypeDef *hpcd)
#else
void HAL_PCD_ResumeCallback(PCD_HandleTypeDef *hpcd)
#endif /* USE_HAL_PCD_REGISTER_CALLBACKS */
{
    /* USER CODE BEGIN 3 */

    /* USER CODE END 3 */
    USBD_LL_Resume((USB_HandleTypeDef*)hpcd->pData);
}

/**
 * @brief ISOOUTIncomplete callback.
 * @param hpcd: PCD handle
 * @param epnum: Endpoint number

```

```

    * @retval None
    */
#if (USE_HAL_PCD_REGISTER_CALLBACKS == 1U)
static void PCD_ISOOUTIncompleteCallback(PCD_HandleTypeDef *hpcd, uint8_t epnum)
#else
void HAL_PCD_ISOOUTIncompleteCallback(PCD_HandleTypeDef *hpcd, uint8_t epnum)
#endif /* USE_HAL_PCD_REGISTER_CALLBACKS */
{
    USBD_LL_IsoOUTIncomplete((USB_D_HandleTypeDef*)hpcd->pData, epnum);
}

/**
 * @brief ISOINIncomplete callback.
 * @param hpcd: PCD handle
 * @param epnum: Endpoint number
 * @retval None
 */
#if (USE_HAL_PCD_REGISTER_CALLBACKS == 1U)
static void PCD_ISOINIncompleteCallback(PCD_HandleTypeDef *hpcd, uint8_t epnum)
#else
void HAL_PCD_ISOINIncompleteCallback(PCD_HandleTypeDef *hpcd, uint8_t epnum)
#endif /* USE_HAL_PCD_REGISTER_CALLBACKS */
{
    USBD_LL_IsoINIncomplete((USB_D_HandleTypeDef*)hpcd->pData, epnum);
}

/**
 * @brief Connect callback.
 * @param hpcd: PCD handle
 * @retval None
 */
#if (USE_HAL_PCD_REGISTER_CALLBACKS == 1U)
static void PCD_ConnectCallback(PCD_HandleTypeDef *hpcd)
#else
void HAL_PCD_ConnectCallback(PCD_HandleTypeDef *hpcd)
#endif /* USE_HAL_PCD_REGISTER_CALLBACKS */
{
    USBD_LL_DevConnected((USB_D_HandleTypeDef*)hpcd->pData);
}

/**
 * @brief Disconnect callback.
 * @param hpcd: PCD handle
 * @retval None
 */
#if (USE_HAL_PCD_REGISTER_CALLBACKS == 1U)
static void PCD_DisconnectCallback(PCD_HandleTypeDef *hpcd)
#else
void HAL_PCD_DisconnectCallback(PCD_HandleTypeDef *hpcd)
#endif /* USE_HAL_PCD_REGISTER_CALLBACKS */
{
    USBD_LL_DevDisconnected((USB_D_HandleTypeDef*)hpcd->pData);
}

/*****
LL Driver Interface (USB Device Library --> PCD)
*****/

/**
 * @brief Initializes the low level portion of the device driver.
 * @param pdev: Device handle
 * @retval USB_D status
 */
USB_D_StatusTypeDef USBD_LL_Init(USB_D_HandleTypeDef *pdev)
{
    /* Init USB Ip. */
    /* Link the driver to the stack. */

```

```

hpcd_USB_FS.pData = pdev;
pdev->pData = &hpcd_USB_FS;

hpcd_USB_FS.Instance = USB;
hpcd_USB_FS.Init.dev_endpoints = 8;
hpcd_USB_FS.Init.speed = PCD_SPEED_FULL;
hpcd_USB_FS.Init.low_power_enable = DISABLE;
hpcd_USB_FS.Init.lpm_enable = DISABLE;
hpcd_USB_FS.Init.battery_charging_enable = DISABLE;
if (HAL_PCD_Init(&hpcd_USB_FS) != HAL_OK)
{
    Error_Handler( );
}

#if (USE_HAL_PCD_REGISTER_CALLBACKS == 1U)
/* Register USB PCD Callbacks */
HAL_PCD_RegisterCallback(&hpcd_USB_FS, HAL_PCD_SOF_CB_ID, PCD_SOFcallback);
HAL_PCD_RegisterCallback(&hpcd_USB_FS, HAL_PCD_SETUPSTAGE_CB_ID,
PCD_SetupStageCallback);
HAL_PCD_RegisterCallback(&hpcd_USB_FS, HAL_PCD_RESET_CB_ID, PCD_ResetCallback);
HAL_PCD_RegisterCallback(&hpcd_USB_FS, HAL_PCD_SUSPEND_CB_ID, PCD_SuspendCallback);
HAL_PCD_RegisterCallback(&hpcd_USB_FS, HAL_PCD_RESUME_CB_ID, PCD_ResumeCallback);
HAL_PCD_RegisterCallback(&hpcd_USB_FS, HAL_PCD_CONNECT_CB_ID, PCD_ConnectCallback);
HAL_PCD_RegisterCallback(&hpcd_USB_FS, HAL_PCD_DISCONNECT_CB_ID,
PCD_DisconnectCallback);

HAL_PCD_RegisterDataOutStageCallback(&hpcd_USB_FS, PCD_DataOutStageCallback);
HAL_PCD_RegisterDataInStageCallback(&hpcd_USB_FS, PCD_DataInStageCallback);
HAL_PCD_RegisterIsoOutIncptCallback(&hpcd_USB_FS, PCD_ISOOUTIncompleteCallback);
HAL_PCD_RegisterIsoInIncptCallback(&hpcd_USB_FS, PCD_ISOINIncompleteCallback);
#endif /* USE_HAL_PCD_REGISTER_CALLBACKS */
/* USER CODE BEGIN EndPoint_Configuration */
HAL_PCDEX_PMAConfig((PCD_HandleTypeDef*)pdev->pData , 0x00 , PCD_SNG_BUF, 0x18);
HAL_PCDEX_PMAConfig((PCD_HandleTypeDef*)pdev->pData , 0x80 , PCD_SNG_BUF, 0x58);
/* USER CODE END EndPoint_Configuration */
/* USER CODE BEGIN EndPoint_Configuration_CDC */
HAL_PCDEX_PMAConfig((PCD_HandleTypeDef*)pdev->pData , 0x81 , PCD_SNG_BUF, 0xC0);
HAL_PCDEX_PMAConfig((PCD_HandleTypeDef*)pdev->pData , 0x01 , PCD_SNG_BUF, 0x110);
HAL_PCDEX_PMAConfig((PCD_HandleTypeDef*)pdev->pData , 0x82 , PCD_SNG_BUF, 0x100);
/* USER CODE END EndPoint_Configuration_CDC */
return USB_D_OK;
}

/**
 * @brief De-Initializes the low level portion of the device driver.
 * @param pdev: Device handle
 * @retval USB_D status
 */
USB_D_StatusTypeDef USB_D_LL_DeInit(USB_D_HandleTypeDef *pdev)
{
    HAL_StatusTypeDef hal_status = HAL_OK;
    USB_D_StatusTypeDef usb_status = USB_D_OK;

    hal_status = HAL_PCD_DeInit(pdev->pData);

    usb_status = USB_D_Get_USB_Status(hal_status);

    return usb_status;
}

/**
 * @brief Starts the low level portion of the device driver.
 * @param pdev: Device handle
 * @retval USB_D status
 */
USB_D_StatusTypeDef USB_D_LL_Start(USB_D_HandleTypeDef *pdev)
{

```

```

HAL_StatusTypeDef hal_status = HAL_OK;
USBD_StatusTypeDef usb_status = USBD_OK;

hal_status = HAL_PCD_Start(pdev->pData);

usb_status = USBD_Get_USB_Status(hal_status);

return usb_status;
}

/**
 * @brief Stops the low level portion of the device driver.
 * @param pdev: Device handle
 * @retval USBD status
 */
USBD_StatusTypeDef USBD_LL_Stop(USBD_HandleTypeDef *pdev)
{
    HAL_StatusTypeDef hal_status = HAL_OK;
    USBD_StatusTypeDef usb_status = USBD_OK;

    hal_status = HAL_PCD_Stop(pdev->pData);

    usb_status = USBD_Get_USB_Status(hal_status);

    return usb_status;
}

/**
 * @brief Opens an endpoint of the low level driver.
 * @param pdev: Device handle
 * @param ep_addr: Endpoint number
 * @param ep_type: Endpoint type
 * @param ep_mps: Endpoint max packet size
 * @retval USBD status
 */
USBD_StatusTypeDef USBD_LL_OpenEP(USBD_HandleTypeDef *pdev, uint8_t ep_addr, uint8_t
ep_type, uint16_t ep_mps)
{
    HAL_StatusTypeDef hal_status = HAL_OK;
    USBD_StatusTypeDef usb_status = USBD_OK;

    hal_status = HAL_PCD_EP_Open(pdev->pData, ep_addr, ep_mps, ep_type);

    usb_status = USBD_Get_USB_Status(hal_status);

    return usb_status;
}

/**
 * @brief Closes an endpoint of the low level driver.
 * @param pdev: Device handle
 * @param ep_addr: Endpoint number
 * @retval USBD status
 */
USBD_StatusTypeDef USBD_LL_CloseEP(USBD_HandleTypeDef *pdev, uint8_t ep_addr)
{
    HAL_StatusTypeDef hal_status = HAL_OK;
    USBD_StatusTypeDef usb_status = USBD_OK;

    hal_status = HAL_PCD_EP_Close(pdev->pData, ep_addr);

    usb_status = USBD_Get_USB_Status(hal_status);

    return usb_status;
}

/**

```

```

* @brief Flushes an endpoint of the Low Level Driver.
* @param pdev: Device handle
* @param ep_addr: Endpoint number
* @retval USB_D status
*/
USB_D_StatusTypeDef USB_D_LL_FlushEP(USB_D_HandleTypeDef *pdev, uint8_t ep_addr)
{
    HAL_StatusTypeDef hal_status = HAL_OK;
    USB_D_StatusTypeDef usb_status = USB_D_OK;

    hal_status = HAL_PCD_EP_Flush(pdev->pData, ep_addr);

    usb_status = USB_D_Get_USB_Status(hal_status);

    return usb_status;
}

/**
* @brief Sets a Stall condition on an endpoint of the Low Level Driver.
* @param pdev: Device handle
* @param ep_addr: Endpoint number
* @retval USB_D status
*/
USB_D_StatusTypeDef USB_D_LL_StallEP(USB_D_HandleTypeDef *pdev, uint8_t ep_addr)
{
    HAL_StatusTypeDef hal_status = HAL_OK;
    USB_D_StatusTypeDef usb_status = USB_D_OK;

    hal_status = HAL_PCD_EP_SetStall(pdev->pData, ep_addr);

    usb_status = USB_D_Get_USB_Status(hal_status);

    return usb_status;
}

/**
* @brief Clears a Stall condition on an endpoint of the Low Level Driver.
* @param pdev: Device handle
* @param ep_addr: Endpoint number
* @retval USB_D status
*/
USB_D_StatusTypeDef USB_D_LL_ClearStallEP(USB_D_HandleTypeDef *pdev, uint8_t ep_addr)
{
    HAL_StatusTypeDef hal_status = HAL_OK;
    USB_D_StatusTypeDef usb_status = USB_D_OK;

    hal_status = HAL_PCD_EP_ClrStall(pdev->pData, ep_addr);

    usb_status = USB_D_Get_USB_Status(hal_status);

    return usb_status;
}

/**
* @brief Returns Stall condition.
* @param pdev: Device handle
* @param ep_addr: Endpoint number
* @retval Stall (1: Yes, 0: No)
*/
uint8_t USB_D_LL_IsStallEP(USB_D_HandleTypeDef *pdev, uint8_t ep_addr)
{
    PCD_HandleTypeDef *hpcd = (PCD_HandleTypeDef*) pdev->pData;

    if((ep_addr & 0x80) == 0x80)
    {
        return hpcd->IN_ep[ep_addr & 0x7F].is_stall;
    }
}

```

```

else
{
    return hpcd->OUT_ep[ep_addr & 0x7F].is_stall;
}
}

/**
 * @brief Assigns a USB address to the device.
 * @param pdev: Device handle
 * @param dev_addr: Device address
 * @retval USB_D status
 */
USB_D_StatusTypeDef USB_D_LL_SetUSBAddress(USB_D_HandleTypeDef *pdev, uint8_t dev_addr)
{
    HAL_StatusTypeDef hal_status = HAL_OK;
    USB_D_StatusTypeDef usb_status = USB_D_OK;

    hal_status = HAL_PCD_SetAddress(pdev->pData, dev_addr);

    usb_status = USB_D_Get_USB_Status(hal_status);

    return usb_status;
}

/**
 * @brief Transmits data over an endpoint.
 * @param pdev: Device handle
 * @param ep_addr: Endpoint number
 * @param pbuf: Pointer to data to be sent
 * @param size: Data size
 * @retval USB_D status
 */
USB_D_StatusTypeDef USB_D_LL_Transmit(USB_D_HandleTypeDef *pdev, uint8_t ep_addr, uint8_t
*pbuf, uint16_t size)
{
    HAL_StatusTypeDef hal_status = HAL_OK;
    USB_D_StatusTypeDef usb_status = USB_D_OK;

    hal_status = HAL_PCD_EP_Transmit(pdev->pData, ep_addr, pbuf, size);

    usb_status = USB_D_Get_USB_Status(hal_status);

    return usb_status;
}

/**
 * @brief Prepares an endpoint for reception.
 * @param pdev: Device handle
 * @param ep_addr: Endpoint number
 * @param pbuf: Pointer to data to be received
 * @param size: Data size
 * @retval USB_D status
 */
USB_D_StatusTypeDef USB_D_LL_PrepareReceive(USB_D_HandleTypeDef *pdev, uint8_t ep_addr,
uint8_t *pbuf, uint16_t size)
{
    HAL_StatusTypeDef hal_status = HAL_OK;
    USB_D_StatusTypeDef usb_status = USB_D_OK;

    hal_status = HAL_PCD_EP_Receive(pdev->pData, ep_addr, pbuf, size);

    usb_status = USB_D_Get_USB_Status(hal_status);

    return usb_status;
}

/**

```

```

* @brief Returns the last transferred packet size.
* @param pdev: Device handle
* @param ep_addr: Endpoint number
* @retval Received Data Size
*/
uint32_t USBD_LL_GetRxDataSize(USBHandleTypeDef *pdev, uint8_t ep_addr)
{
    return HAL_PCD_EP_GetRxCount((PCD_HandleTypeDef*) pdev->pData, ep_addr);
}

/**
* @brief Delays routine for the USB device library.
* @param Delay: Delay in ms
* @retval None
*/
void USBD_LL_Delay(uint32_t Delay)
{
    HAL_Delay(Delay);
}

/**
* @brief Static single allocation.
* @param size: Size of allocated memory
* @retval None
*/
void *USBStatic_malloc(uint32_t size)
{
    static uint32_t mem[(sizeof(USBHandleTypeDef)/4)+1]; /* On 32-bit boundary */
    return mem;
}

/**
* @brief Dummy memory free
* @param p: Pointer to allocated memory address
* @retval None
*/
void USBStatic_free(void *p)
{
}

/**
* @brief Software Device Connection
* @param hpcd: PCD handle
* @param state: Connection state (0: disconnected / 1: connected)
* @retval None
*/
#if (USE_HAL_PCD_REGISTER_CALLBACKS == 1U)
static void PCDEx_SetConnectionState(PCD_HandleTypeDef *hpcd, uint8_t state)
#else
void HAL_PCDEx_SetConnectionState(PCD_HandleTypeDef *hpcd, uint8_t state)
#endif /* USE_HAL_PCD_REGISTER_CALLBACKS */
{
    /* USER CODE BEGIN 6 */
    if (state == 1)
    {
        /* Configure Low connection state. */
    }
    else
    {
        /* Configure High connection state. */
    }
    /* USER CODE END 6 */
}

```

```
/**
 * @brief Returns the USB status depending on the HAL status:
 * @param hal_status: HAL status
 * @retval USB status
 */
USBD_StatusTypeDef USBD_Get_USB_Status(HAL_StatusTypeDef hal_status)
{
    USBD_StatusTypeDef usb_status = USBD_OK;

    switch (hal_status)
    {
        case HAL_OK :
            usb_status = USBD_OK;
            break;
        case HAL_ERROR :
            usb_status = USBD_FAIL;
            break;
        case HAL_BUSY :
            usb_status = USBD_BUSY;
            break;
        case HAL_TIMEOUT :
            usb_status = USBD_FAIL;
            break;
        default :
            usb_status = USBD_FAIL;
            break;
    }
    return usb_status;
}
```

Кафедра КБПЗ – 2021 рік